

وزارة التعليم العالي والبحث العلمي والبحث العلمي جامعة العقيد الحاج لخضر باتنة



ك ايــة العــاوم

قسم علوم المادة

فرع: كيمياء

مذكرة التخرج لنيل شهادة الماجستير في الكيمياء

تخصص: كيمياء عضوية

إعداد الطالبة: زوشــون صورية تحت عنوان:

ETUDE DES REACTIONS A TROIS COMPOSES DE TYPE BIGINELLI ET HANTZSCH
APPLICATION A LA SYNTHESE DES DERIVES DE LA 3,4-DIHYDROPYRIMIDINONE ET LA
1,4-DIHYDROPYRIDINE

لجنة المناقشة:

محمد بن خالد	أستاذ التعليم العالي	رئيسا	جامعة باتنة
حسينة حركات	أستاذة محاضرة	مشرفة	جامعة باتنة
بلقاسم لقصير	أستاذ التعليم العالي	ممتحن	جامعة عنابة
سلوی درید <i>ي</i>	أستاذة محاضرة	ممتحنة	جامعة باتنة
عبد الحميد بن قويدر	أستاذ محاضر	ممتحن	جامعة باتنة

تاريخ المناقشة: 19 / 12 / 2013

تشكـــرات

الحمد لله رب العالمين، والصلاة والسلام على سيدنا محمد الصادق الوعد الأمين، اللهم لا علم لنا إلا ما علمتنا إنك أنت العليم الحكيم، اللهم علمنا ما ينفعنا وانفعنا بما علمتنا وزدنا علما، وأرنا الحق حقاً وارزقنا اتباعه، وأرنا الباطل باطلاً وارزقنا اجتنابه، واجعلنا ممن يستمعون القول فيتبعون أحسنه، وأدخلنا برحمتك في عبادك الصالحين.

أولا وقبل كل شيء أشكر الله العلى القدير فعليه توكلت وبفضله وفقت.

تم انجاز هذا العمل بمخبر الكيمياء العضوية بجامعة باتنة تحت إشراف الأستاذة الفاضلة حركات حسينة أستاذة محاضرة بجامعة باتنة التي أتقدم لها بالشكر الوافر والامتنان غير المنقطع التي كانت النبراس الذي أضاء لي طريقي بفضل توجيهاتها والنصائح القيمة لإنجاز هذا العمل.

كما أتقدم بالشكر الموصول لكل من بن خالد محمد أستاذ التعليم العالي بجامعة باتنة على تقبله رئاسة لجنة المناقشة، لقصير بلقاسم أستاذ التعليم العالي جامعة عنابة، دريدي سلوى أستاذة محاضرة بجامعة باتنة و بن قويدر عبد المجيد أستاذ محاضر جامعة باتنة على قبولهم مناقشة وإثراء هذا العمل.

وكل التقدير والإمتنان إلى الأستاذ Patrick Pale بكلية الكيمياء جامعة ستراسبورغ فرنسا لمساعداته القيمة خاصة التحليل RMN وتزويدنا بالمتفاعلات لإنجاز هذا العمل.

كما أتقدم بتشكراتي الخالصة لجميع الأستاذة في مشواري الدراسي وأخص بالذكر ديبي عمار، أبركان محمد الشريف، حابة حمادة، يحي مولود، دقيش مبروك ، بوتامجه مبروكة، الطيب فوزية، بن حمادة الصالح، السيدة حمون عبلة، الآنسة ربيعة مرواني وحسينة بوتايدة.

شكرا لكل من ساعدني ولو بالكلمة الطيبة

إهــــداء

المختصرات

AcOH	acide acétique	حمض أستيك
Ar	aryl	أريل
BF4	tétrafluorure de bore	رباعي فليورور البور
BMIm	1-n-butyl-3-méthylimidazolium	1 - بوتيل-3-مثيل إميداز وليوم
BPH	hyperplasie prostatique bénigne	تضخم البروستاتا الحميد
cmmim	1-carboxyméthyl-3-méthylimidazolium	1 -كربوكسى مثيل -3-مثيل إميداز وليوم
Cat.	catalyseur	محفز
CAN	nitrate d'ammonium cérique	
CCM	chromatographie sur couche mince	نترات الأمنيوم سيريك
DBSA	p-dodécylbenzènesulfonique	كروماتوغرافي الطبقة الرقيقة
DFT	théorie fonctionnelle de densité	بارا حلقة عشارية بنزان سولفونيك
DHP	dihydropyridine	حسابات الكيمياء النظرية
DHPEE	dihydropyridine éthyl ester	ثنائي هيدروبيريدين إيثيل أستر ثنائى هيدروبيريدين
DHPM	dihydropyrimidinone	ریمیں اسار عدای میدروبیریتیں ثنائی هیدروبیریمیدینون
DMF	N, N- diméthylformamide	N،N-تنائي مثيل فور ماميد
Et	éthyl	ایثیل
EtOH	éthanol	إيثانول
h	heure	ساعة
HBV	virus de l'hépatite b	الكبد الفيروسي بي
Hmim	1-méthylimidazolium	1-مثيل إميداز وليوم
IR	infrarouge	أشعة تحت الحمراء
Me	méthyl	مثيل
MW	microonde	إشعاع الميكروويف
min	minute	دقيقة
PF6	hexafluorure de phosphore	سداسي فليورور الفوسفور
Ph	phényl	فينيل
PPA	acide phényl phosphonique	حمض فينيل فوسفونيك
ppm	parties par million	جزء من المليون
RMC	réaction multicomposant	تفاعل متعدد المتفاعلات

Rdt	rendement	المردود
RMN	résonnance magnétique nucléaire	الرنين النووي المغناطيسي
T.a.	température ambiante	درجة حرارة الغرفة
TBAB	tétrabutylammoniumbromide	بروميد رباعي بيوتيل أمونيوم
TFA	acide trifluoroacétique	حمض ثلاثي فليور أسيتيك
T.fus.	point de fusion	درجة الإنصهار
THF	tetrahydrofurane	رباعي هيدروفوران
Tfa	triflouroacetate	ثلاثي فليوروأسيتات
TMSCl	chlorure de triméthylsilane	كلوريد ثلاثي ميثيل سيلان
Ts	tosyl	توزيل

أجهزة التحليل:

أثناء العمل المنجز استعملت الأجهزة التالية:

الرنين النووي المغناطيسي للبروتون RMN:

BRUCKER و النووي المغناطيسي 13 C و 1 H RMN النووي المغناطيسي المغناطيسي 13 MHz 300

الإنزياح الكيميائي معطى بالجزء من المليون (ppm) . الرباعي مثيل السيلان (TMS) كمرجع داخلى، كما استعمل (CDCl₃) كمذيب لكل مركباتنا المحضرة.

قيست ثوابت التزاوج بالهارتز (Hz).

*استعملت المختصرات التالية في الــRMN¹H:

s: إشارة احادية عريضة

dd: إشارة ثنائية _ ثنائية q: إشارة رباعية

t: إشارة ثلاثية m: إشارة مضاعفة

td : إشارة ثلاثية- ثنائية

الاطياف الاشعة تحت الحمراء IR:

الجهاز المستعمل من نوع Shimadzu IR-470 بمخبر الكيمياء بجامعة باتنة، مستعملا أقراص الـKBr في حالة المركبات المحضرة صلبة.

إهتزاز الامتصاص بالـ cm-1.

درجة الانصهار:

قيست درجة الانصهار في الانابيب الشعرية بواسطة جهاز 545 BUCHI B-545

الطريقة التقنية:

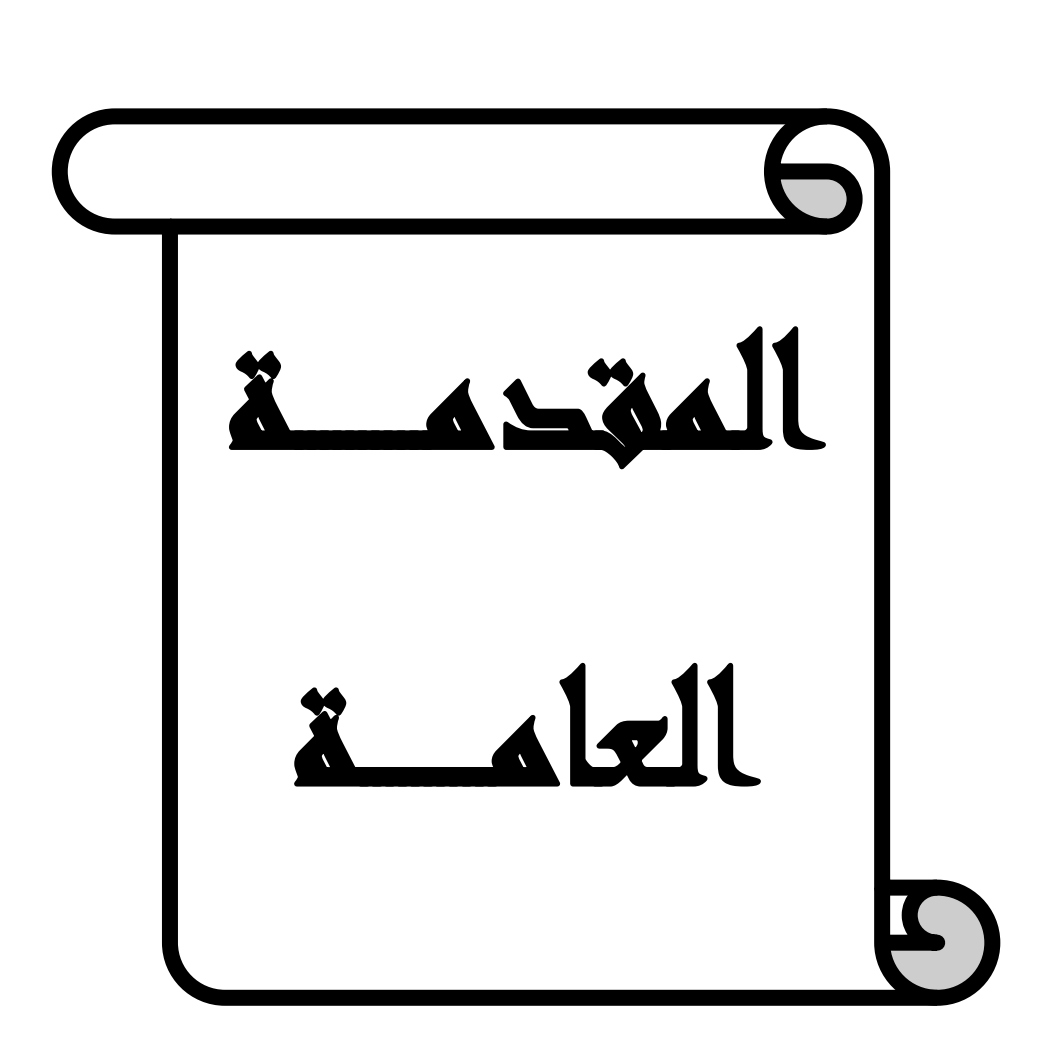
تتم فصل المركبات أو تنقيتها إما عن طريق إعادة البلورة أو استعمال عمود 400 -230) Merck 60 (gel de silice) الكروماتوغرافيا مستعملا هلام السيليس (Mesh).

الفهرس

1	المقدمة العامة
	الفصل الأول: تفاعـــــل Biginelli
3	I - 1 - مقدمة
3	Biginelli - 2 - تفاعل -2 - تفاعل
4	I- 3- آلـــية تفاعل Biginelli
4	I- 3- 1- فرضية Folkers و 1933)
5	Sweet و خيبة 2 - 3 - 1 و Sweet)
6	-3 -3 -1 فرضية O. Kappe)
7	I- 4- النـشاط البيولـوجـي لمركبات 4،3- ثنائي هيدروبيريميدينون ومشتقاتها
14	I- 5- تحسين شروط تفاعل Biginelli
15	I- 5-1- المحفزات المستعملة لتحضير المركبات 4،3- ثنائي هيدروبيريميدينون
15	I- 5- 1- أحماض برونشتد
18	I- 5- 1- 2- أحماض لـويس
18	I- 5- 1- 2- 1- هالــوجينــــــات المــعادن
22	I- 5- 1- 2- 2- تريف لات المعادن
23	I- 5- 1- 2- 3- أمــــــــــــــــــــــــــــــــــــ
26	I- 5- 2- إشعاع الميكرو ويف (الموجات المتناهية القصر)
28	I- 5- 3- التحضير على سطح صلب

31	I- 5- 4- السوائل الأيونية
	الفصل الثاني: تفاعـــــل Hantzsch
33	II- 1- مقدمة
33	Hantzsch تفاعل 2 - II
34	II- 3- آلــــــــــــــــــــــــــــــــــــ
35	II- 4- النشاط البيولوجي لمركبات 4،1- ثنائي هيدروبيريدين ومشتقاتها
41	II- 5- تحسين شروط تفاعل Hantzsch
	الفصل الثالث: النتائج و المناقشة
43	III- 1- المركبات 4،3- ثنائي هيدروبيريميدينون
43	III- 1- 1- در اسة شــروط التفــاعل
44	III- 1- 2- تعميم شروط التفاعل
46	III- 1- 3- آليــــــــــــــــــــــــــــــــــــ
47	III- 1- 4- التحليل الطيفي
48	III- 1- 4- 1- طيف الامتصاص لأشعة تحت الحمراء IR
48	III- 1- 4- 2- طيف الرنين النووي المغناطيسي للبروتون RMN ¹ H
49	III- 1- 4- 3- طيف الرنين النووي المغناطيسي للكربون RMN ¹³ C
54	III- 1- 5- خــلاصــة.
55	III- 2- المركبات 4،1- ثنائي هيدروبيريدين
56	1 - 2 - III قال عل التاليات ا

58	III- 2- 2- التحليل الطيفي
58	IR - 2- 2- 1- طيف الامتصاص للأشعة تحت الحمراء IR
58	III- 2- 2- طيف الرنين النووي المغناطيسي للبروتين RMN ¹ H
59	III- 2- 2- 3- طيف الرنين النووي المغناطيسي للكربون RMN ¹³ C
62	III- 2- 3- خلاصة
	القصل الرابع: الجانب العملي
63	IV- 1- تحضير المحفز توزيلات النحاس
63	IV - 2- تحضير مشتقات 4،3- ثنائي هيدروبيريميدينون
78	IV - 3- تحضير مشتقات 4،1- ثنائي هيدروبيريدين
87	المراجع
95	الخلاصة العامة
	الملخص
	الماحق



المقدمة العامة

المقدمة العامة

مند أن تحددت معالم الكيمياء العضوية ورسخت قواعدها جرت محاولات كثيرة لتحضير مركبات عضوية، حيث أصبح فهم التفاعلات والتخطيط لتطبيقها من اهتمامات الكيميائيين للحصول على مركبات مطابقة لمواصفات معينة، تستعمل في مجالات متعددة. ولتحضيرها يجب أن يؤخذ بعين الاعتبار السهولة والبساطة وكذا المردود الجيد بأقل تكلفة وضررا بالبيئة و الصحة.

ومن أهم هذه التفاعلات التي تطبق هذه الأولويات التفاعلات متعددة المركبات (RMC) التي تتم في خطوة واحدة (one-pot) وتسمح بالحصول على مركبات ذات انتقائية وفعالية بيولوجية عالية، ومن بين هذه التفاعلات نجد تكاثف Biginelli الذي يتم من خلاله تحضير المركبات الحلقية الأزوتية 3،4- ثنائي هيدروبيريميدينون والتي تستعمل كمضادات مسارات الكالسيوم، مضادات البكتيريا والفطريات، مضادات السرطان وكذا كمضادات للالتهاب الكبد الفيروسي B.

كما نجد أيضا تكاثف Hantzsch لتصنيع المركبات 4،1- ثنائي هيدروبيريدين التي تستخدم لعلاج الداء السكري، القلق، الأرق، ولعلاج ارتفاع ضغط الدم.

فنظرا للأهمية البيولوجية لهذه الحلقات الآزوتية ومن خلال هذا العمل قمنا بدراسة وضبط الشروط التجريبية لتحضير هذه المركبات عن طريق تكاثف Cu(OTs)2 و Hantzsch باستعمال محفز جديد توزيلات النحاس وقد اخترنا هذا المحفز لعدم استعماله من قبل في هذين التفاعلين كما أنه غير ملوث للبيئة وغير مكلف.

قسمت هذه الأطروحة إلى مقدمة عامة وأربعة فصول وخلاصة عامة. يتضمن الفصل الأول، الدراسة البيبليوغرافية لتفاعل Biginelli حيث نعرض أهم النشاطات البيولوجية للمركبات 4،3- ثنائي هيدروبيريميدينون وأبرز المحفزات المستعملة لهذا التكاثف.

______ المقدمة العامة

أما الفصل الثاني: فيشمل الجانب النظري لتفاعل Hantzsch وبعض النشاطات البيولوجية للمركبات 4،1- ثنائي هيدروبيريدين وأهم المحفزات المستعملة في هذا التفاعل.

بينما في الفصل الثالث تطرقنا إلى دراسة الشروط التفاعلية لتكاثف Biginelli بينما في الفصل الثالث تطرقنا إلى دراسة الشروط التحضير مسركبات 4،3- ثنائي هيدروبيريميدينون، كما عرضنا النتائج المتحصل عليها بتطبيق الشروط التجريبية السابقة لتكاثف Hantzsch لتصنيع المركبات 4،1- ثنائي هيدروبيريدين، مع شرح كيفية التعرف على البنية الكيميائية بالاعتماد على معطيات الأطياف IR، RMN¹H¹³C

أخيرا الفصل الرابع يتضمن الجانب العملي حيث نشرح مختلف الطرق التجريبية المستعملة لتحضير هذه المركبات من الحلقات غير المتجانسة الأزوتية.

الغطل الأول Biginelli الغلامة

I- 1- مقدمة

منذ القدم استغل الإنسان ما يوجد في الطبيعة واستفاد كثيرا من المواد المستخلصة خاصة من النباتات. حيث كان يعتقد لفترة طويلة ان المركبات العضوية لا يمكن الحصول عليها إلا من الطبيعة ولا تصنع إلا داخل الكائن الحي. لكن عندما قام العالم السويدي عليها إلا من الطبيعة ولا تصنع بلا داخل الكائن الحي. لكن عندما علم Scheele سنة 1776 بمعالجة السكر بحامض النتريك وحصل على حامض عضوي برهن على إمكانية إنتاج المواد العضوية مخبريا دون الاعتماد على الكائن الحي .

ان هذا التطور المهم أتاح للعلماء فرص البحث عن تفاعلات جديدة من بينها تفاعل Biginelli متعدد المركبات.

2 - I تــفاعـل Biginelli

في عام 1893 اقترح العالم الإيطالي Pietro Biginelli تكاثف لتحضير مركبات حلقية آزوتية غير المتجانسة المحفزة بحمض هيدروكلوريك، حيث يتم هذا التكاثف بين ثلاث مركبات ألدهيد (1) و أسيتو أسيتات الإيثيل (2) و اليوريا (3)، في محلول الإيثانول. يسخن الخليط حتى الغليان للحصول على مركبات 4،3- ثنائي هيدروبيريميدينون (4) أمخطط 1).

المخطط 1

ـ تفاعل Biginelli

Biginelli -3 -I

للتعرف على آلية تفاعل Biginelli أنجزت عدة دراسات وبحوث كثيرة توصلت إلى عدة افتراضات من أهمها:

I- 3- I- فرضية Folkers و 1933)

في سينة 1933، قيام Folkers و Johnson بياول محاولة لفهم الطريقة الصحيحة للوصول إلى 4،3- ثنائي هيدروبيريميدينون.

حيث تمت در اسة مفصلة لتحديد الوسيط الذي يؤدي إلى تشكل مركبات DHPM. فقاموا بإجراء عدة تفاعلات في وسط حمضى بين:

- الألدهيد (1) و α ، β سيتو أستر (2).
 - الألدهيد (1) مع اليوريا (3).
- .(2) مع β ، α سيتو أستر (3).

ولقد لاحظوا أن الوسيط (5) الناتج عن تفاعل (1+3) هو الوسيط الوحيد المنشكل DHPM ، أما الوسيطين الآخرين (6) و (7) المتشكلين من تفاعل (2+1) و (2+1) على التوالي لا يمكنان من الوصول المتشكلين من تفاعل (3+2) و (2+1) على التوالي لا يمكنان من الوصول إلى تشكل مركبات DHPM و هذا لأن الوسيط (6) يتميه بسهولة إلى مركبات الانطلاق، أما الوسيط (7) لا يتفاعل مع اليوريا لأنه مستقر جدا في ظل ظروف هذا التفاعل. (المخطط 2)

. تفاعل Biginelli

$$(5) \begin{array}{c} \text{NH}_2 \\ \text{HN} \\ \text{NH}_2 \\ \text{NH}_3 \\ \text{OCH}_2 \\ \text{CO} \\ \text{NH}_2 \\ \text{OCH}_2 \\ \text{CH}_3 \\ \text{NH}_3 \\ \text{CH}_2 \\ \text{CO} \\ \text{CH}_3 \\ \text{NH}_3 \\ \text{CH}_2 \\ \text{CO} \\ \text{CH}_3 \\ \text{NH}_3 \\ \text{CH}_2 \\ \text{CO} \\ \text{NH}_2 \\ \text{N$$

المخطط 2

Sweet و 2-3 -I فرضية 1973) Fissekis

في سنة 1973، اقترح Sweet و Sweet و آلية مختلفة عن السابقة حيث افترضا أن تصنيع مركبات DHPM تمر بتشكل الوسيط الكربوكاتيوني (8)، الناتج عن تفاعل الألدهيد (1) و β ، α - سيتو أستر (2) انطلاقا من ألدول في وسط حمضي. (المخطط 3)

. تفاعل Biginelli

المخطط 3

3 -3 -1 فرضية O. Kappe فرضية

RMN ${
m H}^1/{
m C}^{13}$ إعتمد ${
m Kappe}$ على تقنية مطيافية الرنين النووي المغناطيسي ${
m A}$ Kappe من أجل در اسة آلية تفاعل Biginelli .

حيث أظهرت النتائج التي تم الحصول عليها في هذه الدراسة أن الخطوة الرئيسية لهذا التفاعل هو تشكل الوسيط الأيوني N-أسيليمنيوم (9) بين الألدهيد واليوريا. (المخطط 4)

المخطط 4

وخلال السنوات الأخيرة تم تأكيد النتائج المتحصل عليها من طرف Kappe و ذلك باستعمال حسابات الكيمياء النظرية 5 (DFT).

I- 4- النشاط البيولوجي لمركبات 3،4-ثنائي هيدروبيريميدينون ومشتقاتها

تشكل المركبات 4،3 - شنائي هيدروبيريميدينون ومشتقاتها قسما هاما من المركبات العضوية. التي أثبت العديد منها أهمية علاجية وفعالية بيولوجية ولاقت استعمالا واسعا في المجال الطبي والصيدلاني 6، 7، 8 سواء كانت هذه المركبات اصطناعية أو طبيعية. منها على سبيل المثال:

المركبات المستخلصة من الحيوانات البحرية البتزيلادين A (10) و B (11) و B والمستعملة في المجال العلاجي الذي يثبط رابطة فيروس نقص المناعة B بالخلايا D_4 وهذا بفضل الوزن الجزيئي المنخفض لهذه المركبات.

أما المركب 5-(إيتوكسي كاربونيل)-6- ميثيل-4-(3- هيدروكسي فينيل)-4-1 ثنائي هيدروبيريميدين-2(H1)- تيون، المعروف بالموناسترول (12) فهو دواء متداول عالميا، ويعتبر من بين المركبات التي حققت فعالية كبيرة في علاج السرطان 12، حيث تكمن فعاليته في تثبيط إنزيم الكينيزين المسؤول عن حدوث عملية الإنقسام الخيطي للخلية.

(S)-Monastrol

(12)

ـ تفاعل Biginelli

كما أن المركبات SW02 (13) و 190 (14) المصطنعة التي أثبتت هي الأخرى فعاليتها المركبات الديهيدروبيريميدينونية (DHPM) المصطنعة التي أثبتت هي الأخرى فعاليتها ضد السرطان. 13-16

أما بالنسبة للمركبات 4،1- ثنائي هيدروبيريدين مثل نيفيديبين (16) المعروفة بمضادات مسارات الكالسيوم تعتبر تقريبا أساسية في علاج ارتفاع ضغط الدم، اضطراب نظم نبض القلب والذبحة الصدرية وهذا منذ بدأ استعمالها سنة 1975.

$$H_3COOC$$
 NO_2
 OCH_3
 CH_3

(16)

nifedipine

وقد تمكن الباحث Khanina ومساعدوه ¹⁸ سنة 1978 من تحضير المركب (17) ذو الفعالية الجيدة ضد أمراض القلب والأوعية الدموية.

ومن بين مماثلات الأزا لثنائي هيدروبيريدين نجد SQ-32547 (18) SQ-32926 (19) التي تستعمل لعلاج أمراض القلب وارتفاع ضغط الدم أفضل من مماثلاتها الهيدروبيريدينية (DHP).

أما N. Mokale ومساعدوه 11، 20، 20 قام وا بتحضير سلسلة من المركبات من نوع حمض 3-(4،6- ثنائي الإستبدال-2- ثيو أوكسو-4،3،2،1- رباعي هيدروبيريميدين -5- إيل) بروبانوويك التي تم اختبار فعاليتها ضد الالتهاب، فأظهرت المركبات (20- 22) أنها أكثر فعالية.

HOOC

$$H_3$$
 H_3
 H

كما يمكن استعمال المركبات DHPM كمضادات مستقبلات ألفا-1 الأدرينالية لعلاج تضخم البروستاتا الحميد 23 (BPH) وهو مرض شائع عند الرجال. 24 ومن أكثر أعراضه انسداد المثانة 25

وهناك دراسة تمت خارج الكائن الحي (in vitro) ؛ أثبتت أن المركب SNAP6201 (in vitro) ذو انتقائية عالية كمضاد مستقبلات ألفا-1 وبدون آثار جانبية حاليا على عضلات القلب، عكس التيرازوزين (24) دواء غيرانتقائي يستعمل لعلاج هذا التضخم. 26، 27

H₃CO
$$\downarrow$$
H₃CO \downarrow
H₃CO \downarrow
NH₂
 \downarrow
NH

وكذا المركبين 28 ، 28 ، 29 لهما نفس التشابه والإنتقائية للمركب 28 .

كما توجد فعاليات بيولوجية أخرى لـ 3،4- ثنائي هيدروبيريميدينون لا تقل أهمية عن الفعاليات البيولوجية سالفة الذكر ملخصة في الجدول التالي:

الجدول 1

المرجع	المركب	النشاط البيولوجي
30	Ph NH NH (27)	مضادات الأكسدة
31	$\begin{array}{c} F \\ \downarrow \\$	مضادات الفيلاريا

32	CH ₃ O CH ₃ (29) H ₃ C NH O	مضادات البكتيريا
33	DMT 3024 (30)	مضادات الملاريا
34	H_3C	مضادات الالتهاب الكبد الفيروسي B

Biginelli حسين شروط تفاعل -3-I

نظرا للفعاليات البيولوجية لمركبات DHPM وكذا سهولة تحضيرها في خطوة واحدة (one-pot) از داد اهتمام الباحثين بتصنيعها.

فقد أجريت عدة بحوث ³⁵ لدراسة تكاثف Biginelli من أجل تحسين شروط التفاعل والمردود من بينها تغيير المحفز حيث أن استعمال حمض هيدروكلوريك المركز في

الشروط الكلاسيكية أدت إلى مردود ضعيف، من بين المحفزات المستعملة نجد أحماض برونشتد، لويس، السوائل الأيونية والمحفزات غير المتجانسة.

ومن خلال هذه الفقرة التالية سوف نتطرق إلى أهم المحفزات.

I- 5- 1- المحفزات المستعملة لتحضير المركبات 4،3- ثنائى هيدروبيريميدينون

I- 5- 1 -1- أحماض برونشتد

استعملت أحماض برونشتد في القرن الأول من اكتشاف تفاعل Biginelli لتحضير DHPM، حيث استبدل Folkers ومساعدوه 2 حمض هيدروكلوريك المركز بحمض سلفوريك المخفف حيث تمكنوا من الحصول على DHPM بمردود أفضل، وتلتها منشورات كثيرة أستعملت فيها أحماض برونشتد مختلفة. (المخطط 5) ونلخص أهمها في الجدول التالي.

المخطط 5

الجدول 2

المرجع	المردود /%	الشروط	التركيز/ مول%	الحمض
36	98 -70	Δ غياب المذيب،	10	- حمض أميدو سلفونيك (NH ₂ SO ₃ H)

37	96 -84	الإيثانول، 🛆	6	- حمض سليكا سلفوريك
				(H ₂ SO ₄ -SiO ₂)
38	98 -51	غياب المذيب و 45°C	10	- حمض فليوروبوريك (HBF ₄)
39	98 -47	غياب المذيب و 90°C	10	- حمض الكلور وأسيتيك (ClCH ₂ CO ₂ H)
40	91 -80	Δ غياب المذيب،	5	- حمض ثلاثي فليورو أسيتيك (CF ₃ -CO ₂ H)
				- حمض إتيدرونيك
41	97 -69	Δ·THF	5	$(C_2H_8O_7P_2)$
42	97 –65	الأسيتونتريل	10	- حمض الفنيل الفوسفونيك
				(PPA)

وتم كذلك استخدام بعض الأحماض غير المتجانسة لتكاثف Biginelli على سبيل المثال المثال الحمــــض 12- مــوليـبدوفوســفوريك $(H_3PMo_{12}O_{40})$ الذي لاق اهتماما من طرف فريق 43 Heravi لتحضير مشتقات 43 المخطط 6)

المخطط 6

- تفاعل Biginelli

وقد طورت هذه الطريقة من طرف فريق بحث إيراني 44 باستعمال اشعاع الميكرو ويف في غياب المذيب بمردود يتراوح بين [76-96]%. (المخطط 7)

المخطط 7

واستعمل أيضا حمض p-dodécylbenzènesulfonique من طرف Bigdeli ومساعدوه ⁴⁵ لتحضير مشتقات 4،3- ثنائي هيدروبيريميدينون في الماء أوغياب المذيب ويلعب هذا المحفز في الوقت نفسه حمض برونشتد ومخفض للتوتر السطحي (Surfactant). (المخطط 8)

$$R^{1} = CH_{3}, CF_{3}$$

$$R^{2} = OCH_{3}, OC_{2}H_{5}, OCH_{2}Ph$$

$$R^{3} = C_{6}H_{5}, 4+OCH_{3}-C_{6}H_{5},$$

$$2-Naphthyl. etc$$

المخطط 8

في كلتي الحالتين كان المردود جيدا خاصة في غياب المذيب. الجدول التالي يبين المقارنة لبعض المركبات المحضرة.

الجدول 3

				الماء	ذيب	غياب اله
\mathbb{R}^1	\mathbb{R}^2	\mathbb{R}^3	الزمن h	المردود %	الزمن min	المردود %
CH ₃	OCH ₃	C_6H_5	7	90	30	96
CH ₃	OC_2H_5	C_6H_5	7	89	30	92
CH ₃	OC_2H_5	4-MeO-C ₆ H ₅	8	78	20	80
CH ₃	OC_2H_5	2-Naphthyl	7	69	20	72

I- 5- 1- 2- أحماض لـويـس

منذ بداية القرن الواحد والعشرون، ظهر عدد كبير من المنشورات التي استخدمت بشكل واسع أحماض لويس كمحفزات على شكل هالوجينات، تريفلات أو أملاح أخرى لتحضير DHPM بمردود جيد في زمن قصير. ومن أهم الأعمال المنشورة نجد:

I- 5- 1- 2- 1- هالوجينات المعادن

من أبرز هالوجينات المعادن استعمالا لتحفيز تكاثف Biginelli نجد كلـوريدات: Si ،⁵⁶ Ti ،⁵⁵ La ،⁵⁴ Sb ،⁵³ Mg ،⁵² Ru ،⁵¹ Zn ،⁵⁰ Cd ،⁴⁹ Ca ،⁴⁸ V ،⁴⁷ In ،⁴⁶ Ni ...إلخ.

فقد استعمل Reddy ومساعدوه 62 رباعي الكلورير الزيركونيوم ($ZrCl_4$) بتركيز 10 مول% و تحصل على مركبات DHPM بمردود يتراوح بين [83 - 97]%. (المخطط 9)

المخطط 9

- تفاعل Biginelli

كما استخدم Pan ومساعدوه 63 كلوريد ثلاثي ميثيل السيليل (TMSCl) لإصطناع مشتقات DHPM بمردود جيد يتراوح بين [76 - 97]%. (المخطط 10)

$$R^{1}CHO + H_{3}C \longrightarrow R^{2} + H_{2}N \longrightarrow NH_{2} \longrightarrow DMF/CH_{3}CN \longrightarrow R^{2} \longrightarrow NH$$

$$R^{1}= \text{aryl, alkyl} \qquad R^{2}= OC_{2}H_{5}, CH_{3} \qquad X=O, S$$

$$R^{2} \longrightarrow NH$$

$$R^{2}= OC_{2}H_{5}, CH_{3} \qquad X=O, S$$

المخطط 10

وتمكن Sandhu و معاونوه 64 من تحضير مركبات 64 - ثنائي هيدروبيريميدينون غير المستبدلة في الوضع 5 وبمردود مرتفع باستعمال خليط يتكون من كلوريد الأليمينيوم (AlCl₃) و إيوديد البوتاسيوم (KI) كمحفز والأسيتونتريل (CH₃CN) كمذيب لتفاعل Biginelli بين الألدهيدات العطرية واليوريا والكيتونات. (المخطط 11)

RCHO +
$$H_2N$$
 NH_2 + CH_3 $AlCl_3 + KI$ $CH_3CN/ reflux$ NH_2 $R= aryl$ $R= aryl$

المخطط 11

وقد استعمل نفس الفريق السابق 65 كمحفز كل من (CoCl₂. $6H_2O$) أو (SnCl₂. $2H_2O$) أو (SnCl₂. $2H_2O$)، وهذا بالتسخين الكلاسيكي أو تحت تأثير إشعاع الميكرو ويف. وقد تحصلوا على مردود مرتفع في حين أن زمن التفاعل لم يتعد 4 دقائق عند التسخين بالميكروويف. (المخطط 12)

المخطط 12

والجدول التالي يلخص النتائج المتحصل عليها من قبل هذا الفريق.

الجدول 4

المحقز	M	WI	CH ₃ CN	الغليان/
·	المردود %	الزمن (min)	المردود %	الزمن (h)
CoCl ₂ . 6H ₂ O	75 – 99	2 – 3.5	72 – 92	3 – 4
MnCl ₂ . 4H ₂ O	73 – 88	2 – 3.5	67 – 82	3 – 4
SnCl ₂ . 2H ₂ O	80 - 96	3 - 4	72 - 90	5.5 - 7

بالإضافة إلى كلوريدات المعادن أستعملت أيضا محفزات أخرى للهالوجينات حيث استعمل Shen ومساعدوه 66 إيوديد السماريوم (SmI_2) بتركيز 20 مول % ،وتمكنوا من الحصول على مشتقات DHPM بمردود يتراوح بين [32 - 95] % . (المخطط 13)

$$R^{1}CHO + H_{3}C + H_{2}N + H_{2}NH_{2} = 20 \text{ mol}\% \text{ SmI}_{2} + H_{3}C + H_{3$$

المخطط 13

كذلك تم الحصول على هذه المركبات من قبل Van Lier ومعاونوه 67 بمردود يتراوح بين كذلك تم الحصول على هذه المركبات من قبل 67 المخطط 67 باستخدام المحفز بروميد التنتاليوم 67 (V) في غياب المذيب. (المخطط 14)

المخطط 14

وقد أثبتت فلوريدات المعادن فعاليتها في تحفيز تفاعل Biginelli حيث تمكن وقد أثبتت فلوريدات المعادن فعاليتها في تحفيز تفاعل 69 Chitra من الحصول على Pandiarajan من الحصول على 69 Chitra بين 69 Pandiarajan من الحصول 69 باستخدام 69 من الكل من فلوريد الكالسيوم 69 و فلوريد النيكل 69 باستخدام 69 المخطط 69 (NiF₂). (المخطط 69

CHO
$$R^{1} = H, 4-Cl, 4-F, 4-CH_{3}, etc; \quad R^{2} = OC_{2}H_{5}, CH_{3}, OiPr; \quad X = O, S$$

$$R^{1} = H, 4-Cl, 4-F, 4-CH_{3}, etc; \quad R^{2} = OC_{2}H_{5}, CH_{3}, OiPr; \quad X = O, S$$

$$R^{1} = H, 4-Cl, 4-F, 4-CH_{3}, etc; \quad R^{2} = OC_{2}H_{5}, CH_{3}, OiPr; \quad X = O, S$$

المخطط 15

- تفاعل Biginelli

I- 5- 1- 2- 2- تريف المعادن

تعتبر التريفلات المعادن $M(CF_3SO_3)_n$ أحماض لويس قوية لأن القاعدة المرفقة $M(CF_3SO_3)_n$ من بينها: (CF_3SO_3) جد مستقرة وقد استعمات عدة تريفلات لتحفيز تكاثف Biginelli من بينها:

تريفلات إتاربيوم Yb(OTf)₃ التي تم استخدامها من طرف Dondoni وفريقه ⁷⁰ في وجود THF كمذيب، حيث تمكنوا من تحضير الموناسترول ذو الفعالية البيولوجية كمضاد للسرطان. (المخطط 16)

EtOOC
$$H_3$$
C H_2 N H_2 $Yb(OTf)_3$ EtO_2 C NH H_3 C H_3 C H_3 C H_4 C H_4 C H_5 C H_5 C H_7

المخطط 16

1 بتركيز DHPM تريفلات النحاس $\operatorname{Cu}(\operatorname{OTf})_2$ فعاليتها لتحضير مركبات OHPM بتركيز مول% وكان مردود جد مرتفع. $\operatorname{Cu}(\operatorname{OTf})_2$

المخطط 17

ومن جهة أخرى حضر Shirini ومساعدوه 72 المركبات 43 - ثنائي هيدروبيريميدينون shirini ومن جهة أخرى حضر بين [72 - 70] 81 باستعمال تريفلات السيليس (72 - 70). (المخطط 18)

$$O_{2}Si \longrightarrow OH + CI \longrightarrow S \longrightarrow CF_{3} \longrightarrow T. a.$$

$$O_{2}Si \longrightarrow O \longrightarrow S \longrightarrow CF_{3} + HCI$$

$$Triflate de silice$$

$$R_{1} \longrightarrow CHO + H_{3}C \longrightarrow OR_{2} + H_{2}N \longrightarrow NH_{2} \longrightarrow Sans solvant, 90^{\circ}C$$

$$R^{1} = Ph, 2-MeOC_{6}H_{4}, R_{2} = CH_{3}, C_{2}H_{5} \qquad X = O, S$$

$$4-CIC_{6}H_{4}, 2-furyl, etc.$$

المخطط 18

I- 5- 1- 2- 3- أمسلاح أخسري

إضافة إلى أملاح الهالوجينات و التريفلات استعملت عدة أملاح لويس على شكل:

- هيدروجينو سلفات (-HSO₄).
 - نترات (-NO₃).
 - $(NH_2SO_3^{2})$ سلفمات (-
 - بركلورات (ClO₄-).
 - أسيتات (CH₃COO) -

نذكر أهمها من حيث المردود وزمن التفاعل.

Niknam هيدروجينو سلفات $(K \cdot Zn \cdot Ca)$ لكل من $(HSO_4)_n$ المستخدمة من طرف Niknam هيدروجينو سلفات $(T^{73} \cdot Ca)$ مول% في غياب المذيب و حرارة 90 درجة مئوية ، حيث تمكنوا من الحصول على مشتقات DHPM بمردود يتراوح بين $(T^{73} \cdot Ca)$ في زمن لا يتعدى 8 ساعات. (المخطط 19)

Ar= Ph, 4-Cl-C₆H₄, 4-CH₃-C₆H₄,...etc
$$R = CH_3, OC_2H_5$$

$$M(HSO_4)_n$$

$$Sans solvant, 90°C$$

$$R = M(HSO_4)_n$$

$$Sans solvant, 90°C$$

$$R = M(HSO_4)_n$$

$$Sans solvant, 90°C$$

المخطط 19

كما استخدم Debache ومعاونوه 74 نترات النيكل $Ni(NO_3)_3$ بتركيز 10 مول % وكذا نترات الرصاص $Pb(NO_3)_3$ بتركيز 5 مول % وقد كان المردود جيد يتراوح بيل نترات الرصاص $Pb(NO_3)_3$ (المخطط 20)

المخطط 20

كذلك تم تحضير مشتقات DHPM بمردود جيد يتراوح بين [91-59] % باستخدام 75 المول 75 من سلفمات النحاس $(Cu(NH_2SO_3)_2)$ في وجود حمض الأسيتيك كمذيب. (110)

المخطط 21

- تفاعل Biginelli

سنة 2001 تم تحفيز تفاعل Biginelli باستعمال بركلورات الليثيوم (LiClO₄) من قبل Yadav ومساعدوه 76 بوجود أسيتونتريل كمذيب ضروري وعند درجة حرارة الغليان وكان المردود يترواح بين [75 - 90]%، في حين تمكن Jing وفريقه 77 من تفادي استعمال المذيب والتسخين باستخدام المحفز بريودات الصوديوم (NaIO₄) دون التسخين لتحضير المركبات DHPM وتمكنوا من الحصول على مردود أفضل يتراوح بين [86-96]%. الجدول التالي يبين مقارنة بين هذه الشروط.

الجدول 6

DHPM	المحفز	شروط التفاعل		زمن التفاعل	المردود
		الحرارة	المذيب	(h)	(%)
C ₂ H ₅ OOC NH	LiClO ₄ NaIO ₄	الغليان T.a.	CH₃CN غياب المذيب	6 6	89 96
C ₂ H ₅ OOC NH	LiClO ₄ NaIO ₄	الغليان T.a.	CH₃CN غياب المذيب	6	90 94

أعطى تحفيز تفاعل Biginelli باستعمال أملاح الأسيتات نتائج جيدة من حيث المردود والزمن. فقد تمكن Karamat ومعاونوه 78 من الحصول على المردود يتجاوز 88 في زمن 3 ساعات. (المخطط 22).

Biginelli تفاعل ______

المخطط 22

النتائج المتحصل عليها ملخصة في الجدول التالي:

الجدول 5

زمن التفاعل (h)	المردود (%)	أسيتات المعدن
3.5	85	Pb(OAc) ₄
3.5	84	$Cr(OAc)_3$
3.5	85	Ca(OAc) ₂
3.5	85	$Sr(OAc)_2$
3.5	83	Ni(OAc) ₂
3.5	85	$Zn(OAc)_2$
3.5	85	Cu(OAc) ₂

I- 5- 2- إشعاع الميكرو ويف (الموجات المتناهية القصر)

تمثل الميكرو ويف طريقة بديلة للنظام المسخن التقليدي (الحرارة)، فمن خلال تسخين العازل، تسخن مخاليط التفاعلات بشكل متجانس دون ملامستها الجدران. حيث ينخفض زمن التفاعل بشكل ملحوظ مع بقاء الإنتقائية مقبولة.

يرجع تأسيس تكنولوجيا الميكرو ويف إلى ما قبل الحرب العالمية الثانية بقليل، فمنذ 1970، استعمل الميكرو ويف في الصناعات الغذائية. وفي الثمانينات من القرن الماضي

Biginelli تفاعل _____

بدأت الأبحاث في المجالات المخبرية والصناعية تظهر. حيث نشر أول تفاعل كيميائي في مجال التصنيع العضوي في عام 1986 من قبل Gedye.

و قد استخدمت هذه التقنية بشكل ملحوظ في تفاعل Biginelli بعدة طرق في وجود أو غياب المذيب.

فقد تم تصنيع مشتقات 4.3- ثنائي هيدروبيريميدينون بفعالية بيولوجية كمضادات البكتيريا مـن طرف Kidwai باستعمال هذه التقنية فـي غياب المذيب بمردود يتراوح بيـن 81 Kidwai مـن طرف 85). (المخطط 83)

R-CHO +
$$H_3C$$
 $+ H_2N$ C NH_2 MW $Sans solvant$ H_3C $R = CI$ NH_3C NH_4 NH_5 NH_5

المخطط 23

كما تمكن Liu ومساعدوه 82 من اصطناع مركبات $^{4\cdot3}$ ثنائي هيدروبيريميدينون للمتفاعلات الثلاثة لتفاعل Biginelli تحت إشعاع الميكروويف باستعمال المحفز $\mathrm{Cu}(\mathrm{OTf})_2$

$$R^{1} - CHO + H_{3}C + OC_{2}H_{5}^{+} + H_{2}N + NH_{2} + Cu(OTf)_{2} + C_{2}H_{5}O + NH_{3}C + NH_{3}C$$

 R^1 = Ph, 2-BrC₆H₄, 4-ClC₆H₄, 2-Naphtyl, etc.

Jain من طرف DHPM بمردود مرتفع يتراوح [90- 95] % من طرف DHPM ومساعدوه 83 باستعمال المحفز بروميد رباعي بوتيل أمونيوم (TBAB) لتكاثف ثنائي β - كيتون، الألدهيدات الأروماتية المستبدلة، اليوريا /الثيوريا؛ تحت أشعة الميكرو ويف كمصدر للحرارة في وقت زمني قصير لا يتعدى β - دقائق وهذا في غياب المذيبات العضوية. (المخطط 25)

$$\begin{array}{c} & & & \\ & & \\ & & \\ R^1 \\ & & \\ R^1 \\ & & \\ R^1 \\ & &$$

$$TBAB = H_3C$$

$$H_3C$$

$$N$$

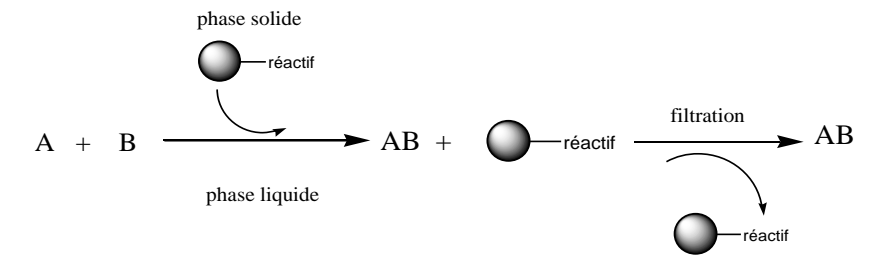
$$CH_3$$

$$CH_3$$

المخطط 25

I- 5- 3- التحضير على سطح صلب

عموما التفاعل على سطح صلب يتم في خطوة واحدة، حيث يرتبط أحد المتفاعلات ببوليمر ثم يضاف هذا الأخير إلى خليط التفاعل. (المخطط 26)



المخطط 26

Biginelli تفاعل _____

من ميزات هذه الطريقة الحد من استعمال المذيبات وسهولة فصل المركب بالترشيح (صلب/ سائل) وكما تمكن من استرجاع البوليمر وإعادة استعماله مرة أخرى.

وفي الأونة الأخيرة أصبحت هذه التقنية تستعمل بشكل متزايد خاصة في الكيمياء الخضراء (chimie verte) 84

فأول من قام بإجراء تفاعل Biginelli على سطح صلب هو Wipt و Biginelli فأول من قام بإجراء تفاعل Biginelli على سطح صلب هو DHPM مستبدلة عند 1N باستعمال بوليمر مرتبط باليوريا. وتوصلا إلى تحضير مركبات DHPM مستبدلة عند بمردود مرتفع. (المخطط 27)

$$C_2H_5O_2C$$
 $C_2H_5O_2C$
 C_2

المخطط 27

وقد تمكن Kappe وفريقه 86 أيضا من تطبيق تفاعل Biginelli على سطح صلب بنجاح. وذلك باستخدام بوليمر مرتبط بأسيتوأسيتات الإيثيل. (المخطط 28)

$$H_3$$
C H_2 N H_2 $X=0, S$

- تفاعل Biginelli

بدوره قام Sabitha و مساعدوه 87 باستخدام او كسيد السيريوم (80 2) على سطح بوليمر الفينيل بيريدين والذي أثبت فعاليته لثكاثف Biginelli في وجود الماء كمذيب عند حرارة 87 80 درجة مئوية. (المخطط 29)

$$cat. / H_2O$$

$$R_1O$$

$$R_1O$$

$$R_2$$

$$R_1O$$

$$R_2$$

$$R_1O$$

$$R_2$$

$$R_2$$

$$R_1O$$

$$R_2$$

$$R_2$$

$$R_3O$$

$$R_4$$

$$R_2$$

$$R_3O$$

$$R_4$$

$$R_4$$

$$R_4$$

$$R_4$$

$$R_5$$

$$R_5$$

$$R_6$$

$$R_6$$

$$R_6$$

$$R_7$$

$$R_7$$

$$R_8$$

$$R_8$$

$$R_9$$

$$R$$

المخطط 29

في حين استخدم Jetti و معاونوه ⁸⁸ حسمض سلفونيك على سطح بوليسمر Amberlyst 15 DRY كمحفز لتفاعل Biginelli وكان مردود المركبات المتحصل عليها ممتاز يتراوح بين [84 – 92]%. (المخطط 30)

$$R-CHO + H_{2}N + CH_{3} \xrightarrow{Amberlyst \ 15 \ DRY} EtOH, reflux$$

$$R = C_{6}H_{5}, 4-(Cl)-C_{6}H_{4}, 4-(CH_{3}O)-C_{6}H_{4}, 4-(CH_{3})-C_{6}H_{4}, 2-(Cl)-C_{6}H_{4}, 3-(CH_{3}O)-C_{6}H_{4}$$

$$2-(Cl)-C_{6}H_{4} - CH_{3}O - C_{6}H_{4} - CH_{3}O - C_{6}H_{4}$$

$$84 - 92 \%$$
Amberlyst 15DRY =

. تفاعل Biginelli

I- 5- 4- السسوائسل الأيسونيسة

السوائل الأيونية هي قسم جديد من المذيبات الواعدة في مجال التصنيع الكيميائي غير الضارة بالبيئة، وهذا بسبب ضغط بخارها المنخفض جدا. 89، 90

فقد حضر Deng و Peng و مركبات DHPM باستخدام السائل الأيوبوني Deng و Deng مركبات DHPM باستخدام السائل الأيوبوني (BMImPF4) و كان المردود في كلتا الحالتين مرتفع يتراوح بيان [90 - 98]%. (المخطط 31)

RCHO +
$$H_2N$$
 NH_2 + H_3C R_1 Ionique liquide H_3C NH R_1 R_2 NH R_3 R_4 R_4 R_4 R_5 R_4 R_5 R_6 R_7 R_8 R

 $R = Ph, 4-CH_3O-C_6H_4-, 4-Cl-C_6H_4-, etc$ $R_1 = OC_2H_5, CH_3$

المخطط 31

سنة 2012، قــــام Dadhania وفريقه 92 بدراسة مقارنة التسخين التقليدي والتسخين بإشعاع الميكروويف وتأثيره على تحضير مركبات 3،4- ثنائي هيدروبيريميدينون الحلقية غير المتجانسة باستعمال السائل الأيوني وشهيدروبيريميدينون الخلقية غير المتحصل عليها باستخدام التسخين بإشعاع الميكروويف أفضل من التسخين التقليدي من حيث الزمن والمردود. والنتائج المتحصل عليها مبينة في الجدول التالى. (المخطط 32)

الجدول 7

المحفز	M	WI	80°C				
	المردود %	الزمن (min)	المردود %	الزمن (min)			
[cmmim][BF4]	89 - 97	1.5 - 3	79 - 94	90 - 270			

الغدل الثاني تعامل Hantzsch - تفاعل Hantzsch

II- 1- مقدمة

زاد في السنوات الأخيرة الاهتمام باصطناع مركبات فعالة بيولوجيا في مجال الكيمياء الحلقية غير المتجانسة، ومن بين هذه المركبات نجد الحلقية الآزوتينه 4.1- ثنائي هيدروبيريدين، التي تتميز بنشاطها الكيميائي و خواصها البيولوجية المهمة ولقد اكتسبت المركبات الهيدروبيريدينية هذه الأهمية الكبيرة في الكيمياء الطبية بسبب تعدد استخداماتها في الصناعات الدوائية وإلى يومنا هذا يبقى تفاعل Hantzsch من أهم التفاعلات متعددة المركبات لتحضير هذه الحلقات.

Hantzsch تفاعل -2 -II

في عام 1882، حضر العالم 1882، حضر العالم 1882، حضر العالم 93 Arthur Rudolf Hantzsch لأول مرة 4،1 في عام 1882، ثنائي هيدرو-6،2- ثنائي مثيل بريدين- 5،3- ثنائي كربوكسيلات الإيثيل (33) وفق تكاثف بنزلدهيد (1) وجزيئتين من أسيتو أسيتات الإيثيل (2) و الأمونياك (32)، يسخن الخليط حتى الغليان في وجود الإيثانول أو حمض الأستيك، إلا أن هذا التفاعل عموما مردوده ضعيف. (المخطط 33)

ArCHO
$$(2)$$
 (2)
 (32)
 (2)
 (32)
 (32)
 (33)
 (34)
 (35)
 (37)
 (37)
 (37)
 (37)
 (37)
 (37)
 (37)
 (37)
 (37)
 (37)
 (37)
 (37)

Hantzsch تفاعل _____

Hantzsch آلـــية تفاعل -3 -II

يمر تكاثف Hantzsch بـ:

- تشكل الإينولات انطلاقا من أسيتو أسيتات الإيثيل (2) وجزيئة الأمونياك (32) يليه تكاثف ألدولي وذلك من خلال هجوم الرابطة الثنائية لإينولات أسيتو أسيتات الإيثيل المتشكلة على كربونيل الألدهيد (1) للحصول على الوسيط (34). (المخطط 34)

المخطط 34

- تشكل الإينامين (الوسيط 35) عن طريق تفاعل الجزيئة الثانية لأسيتو أسيتات الإيثيل (2) مع الأمونياك (32). (المخطط 35)

Hantzsch تفاعل ——————————

- تشكل حلقة 4،1- ثنائي هيدروبيريدين بتكاثف الوسيطين (34) و(35) عن طريق اضافة Micheal. (المخطط 36)

المخطط 36

II- 4- النشاط البيولوجي لمركبات 4،1- ثنائي هيدروبيريدين ومشتقاتها

أظهرت مركبات 4،1- ثنائي هيدروبيريدين ومشتقاتها فعاليتها البيولوجية المؤكدة، حيث استعمل العديد من هذه المركبات لمعالجة عدة أمراض مثل: الداء السكري، القلق، الأرق، الإلتهاب، الإكتئاب، الآلام، الأورام، ارتفاع ضغط الدم، السل، الإختلاج (التشنج)، القرحة...إلخ. خلال مايلي نذكر بعض هذه المركبات وبعض استعمالاتها الطبية.

يعتبر الفيلوديبين (36 a) و أملوديبين (36 b)، النيكارديبين (37)، النيفيديبين (37)، النيفيديبين (16)، 94، 95 من مشتقات 4،1- ثنائي هيدروبيريدين المستعملة كمثبطات لقنوات الكالسيوم حيث تمنع دخول الكالسيوم لخلايا عضلة القلب والأوعية الدموية مما يؤدي إلى استرخاء و

Hantzsch تفاعل ————

توسيع الأوعية الدموية و إبطاء نبضات القلب وبالتالي انخفاض الضغط. 96 تستعمل هذه الأدوية بصورة رئيسية في علاج ضغط الدم، الذبحة الصدرية وأمراض الشرايين المحيطية. 97

$$R_{2}$$
 $CO_{2}CH_{3}$
 $CO_{2}CH_{5}$
 $CO_{2}CH_{5}$
 CH_{3}
 $CH_{2}Ph$
 CH_{3}
 CH_{4}
 CH_{3}
 CH_{5}
 CH_{5}
 CH_{6}
 CH_{1}
 CH_{2}
 CH_{2}
 CH_{2}
 CH_{3}
 CH_{4}
 CH_{5}
 CH_{5}

 $(36 a) R_1 = Me, R_2 = Cl$

(36 b) $R_1 = CH_2O(CH_2)_2NH_2$, $R_2 = H$

$$H_3CO_2C$$
 CO_2CH_3
 CH_3
 CH_3
 CH_3

أما النوع الثاني مسن مثبطات قنصوات الكالسيوم التي تعرف برلا ثنائي هيدروبيريدين مثل: الديلتيازام (38) والفيراباميل (39) 98 يعملان أيضا على خفض ضغط الدم المرتفع بكيفية ملحوظة وذلك من خلال تأثير هما الموسع للشرايين الطرفية و لها تأثير مشابه لتأثير مضادات مستقبلات β الأدرينالية على القلب وتتميز هذه المجموعة من الأدوية بنسبة نجاح عالية في السيطرة وضبط ضغط الدم المرتفع. وإذ لزم استخدام أحد هذين الدوائين - ديلتيازام أو فيراباميل - بمصاحبة أحد مضادات مستقبلات β فإنه من

Hantzsch تفاعل — تفاعل

الواجب استخدام جرعات مناسبة مع المراقبة الدقيقة لمعدل نبض القلب وللقدرة الانقباضية لعضلة القلب.

$$H_3CO$$
 H_3CO
 CH_3
 CH_3
 OCH_3
 OCH_3

وقد استعمل النيفيديبين في علاج ظاهرة رينود (phénomène de Raynaud) وهي عبارة عن انقباض متناوب و متذبذب للأطراف وخاصة الأصابع والأذن والأنف ومؤخرا تم استعمال النفيديبين لعلاج النزيف الدماغي الحديث الناتج من انفجار شرايين دماغية دقيقة. وهناك أبحاث حول هذا النوع من الأدوية في محاولة لعلاج مرض الزهايمر. 99، 100

تمكن Hadizadeh و مساعدوه 101 من تحضير 7 مشتقات للنيفيديبين (40) حيث تم استبدال مجموعة أورثو نيتروفينيل في الوضع 4 بمستبدلات 2-ألكيل -1-ثيو-5- هالوبنزيلإيميدازوليل. وتم تقييمها كمضادات لقنوات الكالسيوم ذات فعالية جيدة.

R'OOC
$$X=4-F, 2-C1$$
 $R=R'=CH_3, C_2H_5$ (40)

وفي الآونة الأخيرة، تم تحضير مركب جديد 102 (41) من نوع DHPEE (ثنائي هيدروبيريدين إيثيل أستر) والذي أظهر فعالية عالية كمضاد لقنوات الكالسيوم ومثبط مستقبل

Hantzsch تفاعل _____

الأنجيوتينسين 2، الذي تم التوصل إليه عن طريق دمج المتفاعلات الرئيسية لكل من التالميز ارتان (42) و النيفيديبين.

كما يمتاز المركبان 6،2- ثنائي مثيل-5،3- ثنائي إيثيل أوكسي كاربونيل -4،1- ثنائي هيدروبيريدين (43) و 6،2- ثنائي مثيل-5،3- ثنائي بوتيل أوكسي كاربونيل -4،1- ثنائي هيدروبيريدين (44) بفعالية عالية كمضادات للأكسدة مقارنة مع فعالية ترولوكس و بروبوكول المضادين للأكسدة الأكثر إستعمالا.

$$C_{4}H_{9}O_{2}C$$
 $C_{2}H_{5}O_{2}C$
 $C_{2}H_{5}O_{2}C$
 $C_{2}H_{5}O_{2}C$
 $C_{2}H_{5}O_{2}C$
 $C_{3}H_{5}O_{2}C$
 $C_{4}H_{9}O_{2}C$
 $C_{2}H_{5}O_{2}C$
 $C_{2}H_{5}O_{2}C$
 $C_{2}H_{5}O_{2}C$
 $C_{3}H_{5}O_{2}C$
 $C_{4}H_{5}O_{2}C$
 $C_{4}H_{5}O_{2}C$
 $C_{5}H_{5}O_{2}C$
 $C_{7}H_{5}O_{2}C$
 $C_{7}H_{5}O_{2}C$

وقد تم اصطناع مشتقات جديدة لمركبات 1,4-DHP (47 -45) والتي تم دراسة فعاليتها البيولوجية خارج الكائن الحي (in vitro) باستعمال خلايا فيرو (vero)، فأثبتت أنها تتميز بسمّية الخلايا. 104

Hantzsch تفاعل — تفاعل

(45) R= 4-pyridyl

(46) R= 2-hydroxyphenyl

(47) R= 3-nitrophenyl

كما تمكن Subudhi و مساعدوه 105 من تحضير ثلاث مجموعات (48، 49 من مشتقات 4،1- ثنائي هيدروبيريدين عن طريق تفاعل Hantzsch والتي تميزت بفعالية جيدة ضد التشنج. (المخطط 37) وقد أظهرت هذه الدراسة أن المشتقات (50) التي تحتوي على المستبدل سلفانيلاميد وكذا النواة الأروماتية المستبدلة بمجموعة النيترو أو المبتوكسي أنها أكثر فعالية.

RO₂C

$$RO_2$$
C

 RO_2 C

 RO_2 C

 RO_2 C

 RO_2 C

 RO_2 C

 RO_3 C

 RO

- تفاعل Hantzsch

وهناك دراسة أخرى 106 توصلت إلى اصطناع سلسلة جديدة من مشتقات 1,4-DHP وفق تفاعل Hantzsch. وتم تقييمها كمضادات للبكتيريا وللفطريات وأُثبتت هذه الدراسة أن المركب (51 a) ذو فعالية أكبر من ciprofloxacine ضد (51 a). .c. albicans ضد clotrimazole المركب (51 b) أكثر فعالية من

(51) $\begin{pmatrix} a & R = OH \\ b & R = Cl \end{pmatrix}$

ومن بين مشتقات 4،1- ثنائي هيدروبيريدين، التي أثبتت فعاليتها البيولوجية كمسكنات و مضادات للإلتهاب، المركبان (52) و (53)، اللذان أظهرا فعالية مرتفعة مقارنة مع 107 بيروكسيكام proxicam (بجرعة 70 بيروكسيكام

$$H_3C$$
 CH_2
 H_3C
 CH_3
 H_3C
 CH_3
 H_3C
 CH_3
 CH_3

وقد اهتم Fassihi و مساعدوه 108 بدراسة الفعالية البيولوجية ضد السل للمركبات 4.1-ثنائي هيدروبيريدين باستخدام الفطر ميكوبكتيريوم المسؤول عن مرض السل (H37Rv). حيث أتبث المركبان (54) و (55) فعالية جيدة.

Hantzsch تفاعل — _____

$$\begin{array}{c} & & & & \\ & & & \\ & & & \\ & & & \\ & & & \\ & & & \\ & & & \\ & & & \\$$

Hantzsch تحسين شروط تفاعل -5 - II

يعتبر تكاثف Hantzsch من أكثر التفاعلات استعمالا لتحضير مشتقات 4.1- ثنائي هيدروبيريدين الحلقية غير المتجانسة التي لها أهمية علاجية كبيرة، إلّا أن قلة المردود وطول زمن التفاعل في الشروط الكلاسيكية (المخطط 38)، حثّ الكيميائيين على إيجاد شروط أفضل.

ArCHO +
$$O$$
 CH₃ + O CH₃ CH₃ CH₃ O CH₃ O

المخطط 38

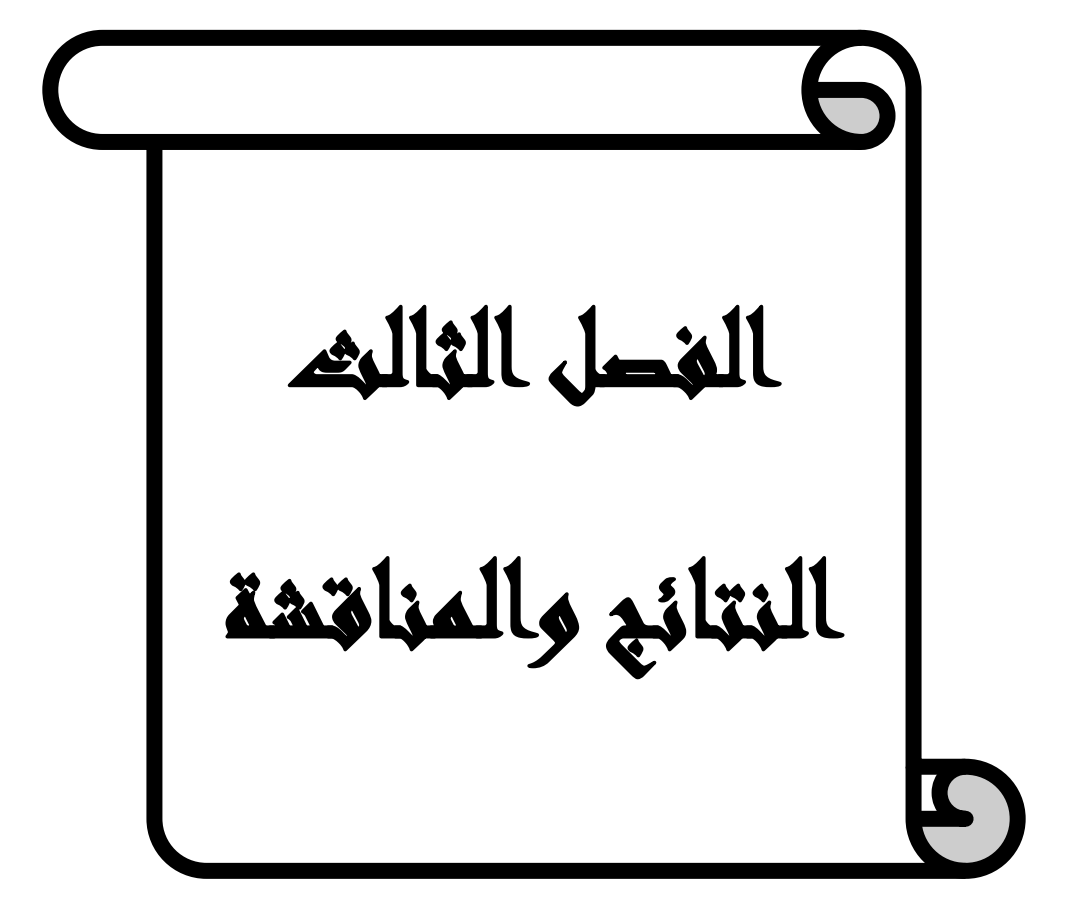
من بين هذه الشروط البحث عن محفزات أخرى، كأحماض برونشند (حمض 3- نتروفنيل $Sc(OTf)_3$ ، $^{111} CdCl_2$ ، $^{110} (LiBr)$ بورونيك (3- NBBA) أحماض لويس $^{115}Mg(ClO_4)_2$ ، $^{114} (CAN)$ (CAN) نيترات الأمونيوم سيريك $^{115}Mg(ClO_4)_2$ ، $^{114} (N-(Bu)_4HSO_4)_4$. $^{116}(N-(Bu)_4HSO_4)_5$.

بالإضافة إلى 117 PhB(OH) $_2$ جزيئة اليود 118 (12) تقنية الميكروويف بديلة التسخين الكلاسيكي 121 ، التحضير على سطح صلب 120 ، السوائل الأيونية.

Hantzsch تفاعل _____

كما يمكن الجمع بين بعض هذه المحفزات مثل ما قام به Raval ومعاونوه 122 سنة 2012 باستخدام حمض برونشتد والسائل الأيـــوني [Hmim]Tfa والتسخين تحت تأثير إشعاع الميكروويف. (المخطط 39)

 $R = C_6H_5, 4\text{-CI-}C_6H_4, 4\text{-F-}C_6H_4, \text{ etc} \\ R_1 = CH_3, CH_3CH_2, (CH_3)_2CHCH_2.$



III - 1- المركبات 4،3- ثنائى هيدروبيريميدينون

III- 1- 1- دراسة شروط التفاعل

الهدف من هذه الدراسة هو اختبار فعالية المحفز توزيلات النحاس $Cu(OTs)_2$ على تكاثف Biginelli وهذا نظرا لعدم استعماله من قبل في هذا النوع من التفاعلات وكذا لعدم سميته وامكانية استرجاعه واستخدامه مرة أخرى.

بداية قمنا بتحضير هذا المحفز وفق طريقة Girolami بداية قمنا بتحضير هذا المحفز وفق طريقة pHOTs و 2 مكافئ من حمض pHOTs

$$CuCl_2 + 2 pHOTs \xrightarrow{\triangle} 2 HCl + Cu(OTs)_2$$

المخطط 40

حيث تحصلنا على راسب أخضر رمادي بعد تنقيته باستخدام Et_2O ، ثم إعادة بلورته باستعمال مزيج من الماء والميثانول وأسيتونتريل بالنسب التالية (1: 2: 7) على التوالي.

بعد تحضير توزيلات النحاس تم استعمالها في تفاعل Biginelli بمزج 1 مكافئ من بنزالدهيد (1)، 1.5 مكافئ من أسيتو أسيتات الإيثيل (2)، 1 مكافئ من اليوريا (3) و 0.1 مكافئ من هذا المحفز؛ يسخن المزيج حتى الغليان في وجود الإيثانول كمذيب. فكان مردود 41 مدور بيريميدين (4) المحضر 72% في زمن تفاعل 4 ساعات. (المخطط 41)

لتحديد شروط التفاعل الأفضل من مذيب وتركيز للمحفز قمنا بإجراء دراسة معمقة لهذا التكاثف. حيث قمنا بانجاز عدة تجارب في وجود مذيبات متنوعة وتراكيز مختلفة لتوزيلات النحاس.

النتائج المتحصل عليها ملخصة في الجدول (8).

الجدول (8): تحضير DHPM: تأثير تركيز المحفز والمذيب

Entrée	Catalyseur (eq)	Solvant	Temps (h)	R _{dt} (%)
1	0.1	Toluène	24	traces
2	0.1	CH_2Cl_2	24	41
3	0.1	THF	5	70
4	0.1	CH ₃ CN	4	75
5	0.1	Sans	3	86
6	0.05	//	5	65

من خلال هذه النتائج نلاحظ أن المذيبات القطبية تعطي مردودات جيدة ولكن في غياب المذيب كان المردود أفضل وعليه فالشروط المناسبة هي: 0.1 مكافئ من محفز التوزيلات في غياب أي مذيب.

III- 1- 2- تعميم شروط التفاعل

للتأكد من فعالية الشروط المتحصل عليها سابقا قمنا بتحضير عدة مركبات 4،3- ثنائي هيدروبيريميدينون وذلك باستعمال ألدهيدات مختلفة عطرية وأليفاتية (1) وكذا اسيتو استات الايثيل أو 4،2- ثنائي بنتاديون كثنائي كربونيل (2) و اليوريا (3) في وجود (المخطط 42).

$$H_3C$$
 R_1
 R_2
 R_1
 R_2
 R_3
 R_4
 R_4
 R_5
 R_4
 R_5
 R_6
 R_7
 R_7
 R_8
 R_9
 R_9

المخطط 42

النتائج المتحصل عليها مبينة في الجدول (9). الجدول (2): تحضير مشتقات DHPM محفزة ب Cu(OTs)₂

D 1 '	Ъ	D.	Temps	*Rdt	7	$\Gamma_{\mathrm{fus}}(\mathrm{C}^{\circ})$
Produit	\mathbf{R}_2	$\mathbf{R_1}$	(h)	(%)	mesurée	rapportée
ZS 1	C_6H_5	OC_2H_5	3	86	201-203	205-206 124
ZS 2	$4-Cl-C_6H_4$	OC_2H_5	2	95	213-215	213-215 4
ZS 3	4 -F- C_6H_4	OC_2H_5	2	90	176-178	175-177 ⁷⁵
ZS 4	3,4-Dibenzyl-OC ₆ H ₃	OC_2H_5	3	88	162-164	-
ZS 5	2 -F- C_6H_4	OC_2H_5	3	83	237-239	235-236 125
ZS 6	2 -Br- C_6H_4	OC_2H_5	3	90	207-209	207-208 126
ZS 7	2-Cl-C ₆ H ₄	OC_2H_5	4	85	221-223	227-228 127
ZS 8	C_6H_{11}	OC_2H_5	4	65	232-234	237-238 128,129
ZS 9	$CH(CH_3)_2$	OC_2H_5	4	58	187-189	195-197 ¹³⁰
ZS 10	CH=CH-C ₆ H ₅	OC_2H_5	3	51	240-242	240-242 131
ZS 11	C_6H_5	CH_3	4	72	231-233	233-236 132
ZS 12	2 -OCH $_3$ -C $_6$ H $_4$	CH_3	4	74	254-256	252-254 74
ZS 13	3 -OCH $_3$ -C $_6$ H $_4$	CH_3	4	83	244-246	245-246 ¹³³
ZS 14	3-Br-4-OCH ₃ -C ₆ H ₃	CH ₃	3	79	228-230	-

* المردود معطى بعد الفصل الكروماتو غرافي

من خلال هذا الجدول نلاحظ مايلي:

- المركبات DHPM تم الحصول عليها عموما بمردودات جيدة في زمن تفاعل قصير.

- استعمال اسيتو استات الايثيل لتحضير مركبات DHPM تعطي مردود أفضل نظرا لفعاليتها مقارنة مع 4،2- ثنائي بنتاديون.
 - الألدهيدات الأروماتية أكثر فعالية وتعطى مردودا أعلى من الألدهيدات الأليفاتية.
- نظر الوجود الإعاقة الفراغية عند الألدهيدات الأروماتية المستبدلة في الوضع 2 فهي أقل فعالية مقارنة مع نظيراتها المستبدلة في الوضع 4.

III - 1 - 3 - 1 - III

من خلال الدراسات السابقة 4،11، 65 والنتائج المتحصل عليها يمكننا اقتراح آلية التفاعل التالية.

- تشكل الوسيط N-أسيليمنيوم (I) نتيجة تكاثف الألدهيد (1) مع اليوريا (3) مع نزع جزيئة ماء. (المخطط 43)

O
$$H_2N$$
 H_2N
 H_2N
 H_2N
 H_2O
 $H_$

المخطط 43

- تشكل الوسيط (II) عن طريق تفاعل جزيئة β - ثنائي كربونيل مع النحاس. (المخطط 44)

$$H_3C$$
 H_3C
 H_3C

المخطط 44

- تكاثف الوسيط (I) و الوسيط (II) للحصول على DHPM. (المخطط 45)

$$R_2$$
 H
 R_2
 H_3C
 H_3C

المخطط 45

III- 1- 4- التحليل الطيفي

تم التعرف على البنية الكيميائية للمركبات التي قمنا بتحضيرها بطرق التحليل الطيفي ${
m RMN}^{13}{
m C}$ وبالمقارنة مع المعطيات الواردة في المنشورات.

ZS 1
$$R_1 = OC_2H_5$$
, $R_2 = C_6H_5$
ZS 2 $R_1 = OC_2H_5$, $R_2 = 4$ -Cl-C₆H₄
ZS 3 $R_1 = OC_2H_5$, $R_2 = 4$ -F-C₆H₄
ZS 4 $R_1 = OC_2H_5$, $R_2 = 3$, 4- Benzyl-OC₆H₃
ZS 5 $R_1 = OC_2H_5$, $R_2 = 2$ -F-C₆H₄
ZS 6 $R_1 = OC_2H_5$, $R_2 = 2$ -Br-C₆H₄
ZS 7 $R_1 = OC_2H_5$, $R_2 = 2$ -Cl-C₆H₄
ZS 8 $R_1 = OC_2H_5$, $R_2 = C_6H_{11}$
ZS 9 $R_1 = OC_2H_5$, $R_2 = C_6H_{11}$
ZS 9 $R_1 = OC_2H_5$, $R_2 = C_6H_{11}$
ZS 10 $R_1 = OC_2H_5$, $R_2 = C_6H_5$
ZS 11 $R_1 = CH_3$, $R_2 = C_6H_5$
ZS 12 $R_1 = CH_3$, $R_2 = C_6H_5$
ZS 13 $R_1 = CH_3$, $R_2 = 3$ -OCH₃-C₆H₄
ZS 14 $R_1 = CH_3$, $R_2 = 3$ -DCH₃-C₆H₄

IR - 1- 4- 1- طيف الامتصاص لأشعة تحت الحمراء

NH تتميز كل الأطياف لأشعة تحت الحمراء بحزمتين متتاليتين خاصة بالرابطتين NH وتميز كل الأطياف لأشعة تحت الحمراء بحزمتين متتاليتين خاصة بالرابطتين [3357-3105] و $\rm cm^{-1}$ [3352 - 3228] لنواة ثنائي هيدروبيريميدينون اللتان تظهران بين [COOCH2CH3) أو الكتون $\rm cm^{-1}$ التي تظهر عند المجال [1707-1681] $\rm cm^{-1}$ تليها حزمة امتصاص $\rm cm^{-1}$ [1647-1598] $\rm cm^{-1}$ [1647-1598] الحاصة بالرابطة الثنائية كاربون - كاربون (C=C) للحلقة الأروماتية و النواة $\rm cm^{-1}$ [1510-1447] مسجلة عند [1510-1447] $\rm cm^{-1}$

RMN 1 H ميف الرنين النووي المغناطيسي للبروتون الرنين النووي

أهم ما يميز أطياف الرنيين النووي المغناطيسي للبروتون للمركبات 4.3 ثنائي هيدرو بيريميدينون مايلي:

- إشارتين أحاديتين عريضتين خاصة ببروتونات مجموعة الأمين في الوضع 1 و 3 تتراوح بين [8.8-8.25] ppm على التوالي.
- البروتون H4 يظهر على شكل أحادية تتراوح بين [5.62-4.95] ppm عند وجود مستبدل عطري في الوضع 4 للنواة ثنائي هيدروبيريميدينون أما بالنسبة للمركبات ppm 3.94 · ppm 3.94 ، ppm 3.94 ، ppm 3.94 متعددة بالنسبة للمركب ZS 9 ، ZS 8 على التوالى، وعند 4.71 ppm على شكل متعددة بالنسبة للمركب ZS 10.
- مجموعة المثيل المرتبطة بالنواة ثنائي هيدروبيريميدينون في الوضع 6 تظهر على شكل أحادية عند المجال [2.32 2.32] ppm.
- و إضافة للإشارات السابقة فإن المركبات المحضرة انطلاقا من اسيتو استات ايثيل تُظهر إشارتين منسوبة لبروتونات مجموعة الايثيل لوظيفة الاستر تُظهر إشارتين منسوبة لبروتونات محموعة الايثيل لوظيفة الاستر $COOC_{H_2}CH_3$) احداهما رباعية خاصة بـ CH_2 تظهر عــــند المجال

ppm [4.06 - 3.75] والأخرى فهي عبارة عن ثلاثية خاصة ببروتونات المثيل ppm [1.18 - 0.85] عند الإزاحة [1.18 - 0.85] من ppm أما بالنسبة المركبات المحضرة الطلاقا من ppm [2.13 - 2.03] في المجال [2.13 - 2.03] ppm [2.13 - 2.03]

• إشارات البروتونات الخاصة بالنواة الأروماتية تظهر في المجال [6.72 - 6.75] ppm على شكل إشارات مختلفة حسب إستبدال الألدهيد الأروماتي.

تمتاز أطياف الرنين النووي المغناطيسي للكربون للمركبات التي تم تصنيعها بمايلي:

- إشارة عند 1944 جاصة بكاربونيل الوظيفة الكيتونية (COCH₃) أو إشارة تتراوح بين [165.8 165.8] ppm توافق مجموعة الكاربونيل للوظيفة الأسترية (COCH₂CH₃).
- إشارة خاصة بالكاربونيل C=O للوظيفة ثنائي أميد يظهر في المجال ppm [153.2 151.2]
- أما كربون C6 وكربونات النواة الأروماتية فتظهر في المجال [110.4 160.8] ppm تليها إشارة تخص كربون C5 تظهر بين [97.8 - 110.12.
 - إشارة الكربون C4 تظهر عند المجال [52.6 52.6] ppm.
- إشارة كربون الميثيلان والمثيل المرتبطان بالوظيفة الأسترية (COOCH₂CH₃) إشارة كربون الميثيلان والمثيل المرتبط، ppm [14.3 -13.9] وقطهران عند [55.5-51.9] ppm على التوالي، بينما كربون المثيل المرتبط بالوظيفة الكيتونية (COCH₃) يظهر فــي المـــجال ppm [30.7 30.2].
- إشارة تتراوح بين [18.9-18.9] ppm خاصة بكربون مجموعة المثيل المرتبط بـ C6.

(δ ppm و J Hz) للمركبات J Hz) المركبات J Hz J Hz) المركبات J Hz J

Produit	$ m R_2$	R ₂ N1-H	N3-H	\mathbf{H}_4	СН3		
Trouut	K 2	OCH ₂	CH ₃	141-11	143-11	114	CII3
70.1	7.16 7.20 (511)	3.93 (q, 2H)	1.03 (t, 3H)	9.15	7.69	5.1	2.2
ZS 1	7.16 - 7.29 (m, 5H)	<i>J</i> = 7.2	<i>J</i> = 7.2	(s, 1H)	(s, 1H)	(s, 1H)	(s, 3H)
75.2	7.02 7.16 (m. 4H)	3.75 (q, 2H)	0.85 (t, 3H)	9.01	7.55	4.95	2.04
ZS 2	7.02 - 7.16 (m, 4H)	J= 7.2	<i>J</i> = 7.2	(s, 1H)	(s, 1H)	(s, 1H)	(s, 3H)
ZS 3	7.1. 7.2 (m. 4H)	3.97 (q, 2H)	1.07 (t, 3H)	9.2	7.72	5.14	2.24
28.3	7.1 - 7.3 (m, 4H)	<i>J</i> = 6.0	J = 6.0	(s, 1H)	(s, 1H)	(s, 1H)	(s, 3H)
ZS 4	7.34 -7.42 (m, 10H), 6.95 - 7.01 (m, 2H)	3.96 (q, 2H)	1.08 (t, 3H)	9.13	7.65	5.08	2.23
234	6.72 - 6.75 (m, 1H)	<i>J</i> = 6.9	<i>J</i> = 6.9	(s, 1H)	(s, 1H)	(s, 1H)	(s, 3H)
ZS 5		3.91 (q, 2H)	1.02 (t, 3H)	9.22	7.68	5.41	2.22
23 3	7.13 – 7.29 (m, 4H)	<i>J</i> = 7.0	<i>J</i> = 7.0	(s, 1H)	(s, 1H)	(s, 1H)	(s, 3H)
ZS 6	7.55 (d, <i>J</i> =7.8, 1H), 7.15 - 7.37 (m, 3H)	3.88 (q, 2H)	0.98 (t, 3H)	9.25	7.67	5.6	2.3
230		<i>J</i> = 6.0	J = 6.0	(s, 1H)	(s, 1H)	(s, 1H)	(s, 3H)
ZS 7	7.21- 7.44 (m, 4H)	3.85 (q, 2H)	0.97 (t, 3H)	9.24	7.66	5.62	2.32
23 /	7.21- 7. 44 (III, 411)	<i>J</i> = 7.1	<i>J</i> = 7.1	(s, 1H)	(s, 1H)	(s, 1H)	(s, 3H)
ZS 8	1.6 - 1.7 (m, 7H), 1.13- 1.38 (m, 4H)	4.03 (q, 2H)	1.18 (t, 3H)	8.86	7.3	3.9	2.16
230	1.0 - 1.7 (III, 711), 1.13- 1.36 (III, 4f1)	<i>J</i> = 7.0	<i>J</i> = 7.0	(s, 1H)	(s, 1H)	(s.l, 1H)	(s, 3H)

النتائج والمناقشة

ZS 9	1.66 (m, 1H), 0.81 (d, <i>J</i> =7.0, 3H), 0.73 (d, <i>J</i> =7.0, 3H)	4.05 (q, 2H) J= 7.0	1.17 (t, 3H) J= 7.0	8.9 (s, 1H)	7.3 (s, 1H)	3.94 (s.l, 1H)	2.16 (s, 3H)
ZS 10	7.17 - 7.38 (m, 5H _{arom.}), 6.34 (d, <i>J</i> =16.2, 1H), 6.17 (dd, <i>J</i> =5.7, <i>J</i> =15.9, 1H)	4.06 (q, 2H) J= 7.2	1.17 (t, 3H) J= 7.2	9.13 (s, 1H)	7.54 (s, 1H)	4.71 (m, 1H)	2.2 (s, 3H)
ZS 11	7.23 - 7.33 (m, 5H)	-	2.09 (s, 3H)	9.18 (s, 1H)	7.81 (s, 1H)	5.26 (s, 1H)	2.27 (s, 3H)
ZS 12	7.24(t d, <i>J</i> =1.5, 7.8, 1H), 7.01 - 7.07 (m, 2H), 6.9(t, <i>J</i> =7.5, 1H), 3.83(s, 3H,OCH ₃)	-	2.03 (s, 3H)	9.12 (s, 1H)	7.34 (s, 1H)	5.6 (s, 1H)	2.3 (s, 3H)
ZS 13	7.25 (t, <i>J</i> =9.0, 1H), 6.8 - 6.85 (m, 3H) 3.73 (s, 3H, OCH ₃)	-	2.11 (s, 3H)	9.16 (s, 1H)	7.8 (s, 1H)	5. 24 (s, 1H)	2.3 (s, 3H)
ZS 14	7.43 (s, 1H), 7.2 (d, <i>J</i> =8.4, 1H), 7.07 (d, <i>J</i> =8.4, 1H), 3.82 (s, 3H, OCH ₃)	-	2.13 (s, 3H)	9.21 (s, 1H)	7.81 (s, 1H)	5.23 (s, 1H)	2.3 (s, 3H)

الجدول (11): طيف الرنين النووي المغناطيسي للكربون (RMN 13C) للمركبات 4،3- ثنائي هيدرو بيريميدين (δ ppm)

		F	\mathbf{k}_1						Substituants	
Produit	\mathbf{R}_2 et \mathbf{C}_6			C ₅	C ₄	CO	COR ₂	CH ₃	sur Ar	
		OCH ₂	CH ₃						Sui Ai	
ZS 1	148.4, 144.9, 128.4, 127.3, 126.3	53.9	14.1	99.3	59.2	152.2	165.3	17.8	-	
ZS 2	148.8, 143.7, 132.0, 128.4, 128.0	53.6	14.2	99.1	59.5	152.0	165.4	18.0	-	
ZS 3	159.7, 148.5, 141.1, 128.2, 115.1	53.3	14.0	99.1	59.2	151.9	165.2	17.7	-	
ZS 4	148.2, 147.9, 147.5, 137.8, 137.2, 128.3, 127.7, 127.5, 118.7, 114.2, 113.1	53.4	14.1	99.2	59.1	152.1	165.3	17.7	-	
ZS 5	160.8, 157.9, 149.1, 132.0, 129.9, 125.3, 116.1	52.0	14.3	97.9	59.4	152.0	165.6	18.1	-	
ZS 6	149.2, 143.3, 132.5, 129.3, 128.7, 128.4, 122.2	53.9	13.9	98.2	59.0	151.2	164.9	17.6	-	
ZS 7	149.3, 142.7, 132.6, 129.6, 129.5, 129.2, 128.1	51.9	14.1	98.3	59.1	151.3	165.2	17.8		
ZS 8	148.3, 44.9, 28.5, 26.3, 26.0, 25.9, 25.7	55.0	14.2	98.5	59.1	153.2	165.8	17.8	-	
ZS 9	148.5, 34.6, 18.5, 17.8	55.5	14.2	98.1	59.1	153.2	165.8	15.9	-	
ZS 10	148.5, 136.2, 129.9, 128.7, 128.1, 127.6, 126.3	51.9	14.3	97.8	59.2	152.6	165.2	17.8	-	
ZS 11	148.6, 144.4, 128.9, 127.7, 126.6	-	30.7	110.1	54.1	152.5	194.9	18.9	-	

ZS 12	156.2, 148.1, 130.9, 128.8, 126.7, 120.3, 111.2	-	30.6	107.7	55.4	152.1	194.4	18.6	48.6 (O <u>C</u> H ₃)
ZS 13	159.3, 148.1, 145.6, 129.6, 118.3, 112.6, 112.1,	-	30.2	109.3	53.6	152.1	194.2	18.8	54.9 (O <u>C</u> H3)
ZS 14	154.5, 148.2, 137.9, 130.9, 126.8, 112.6, 110.4	-	30.3	109.4	52.6	151.9	194.1	18.9	56.2 (O <u>C</u> H3)

III- 1- 5- خــلاصــة

يتضمن هذا الجزء، تحضير عدد من المركبات الحلقية غير المتجانسة الآزوتية من نوع 4،3- ثنائي هيدروبيريميدينون بمردودات تتراوح بين [51 - 95] وفق تكاثف Biginelli بطريقة بسيطة وسهلة غير مكلفة، محفزة بتوزيلات النحاس الغير سام الذي يمكن استرجاعه واستعماله مرة أخرى دون أن يفقد من فعاليته.

ونظرا لهذه النتائج الجيدة ارتأينا تطبيقها على تفاعل Hantzsch في نفس الشروط من أجل تصنيع مشتقات 4،1- ثنائي هيدروبيريدين.

وياتي هذا الاهتمام بهذا النوع من المركبات (DHP و DHPM و DHPM نظرا لما عرف عنها من نشاطات حيوية هامة على جسم الإنسان وغيره من الكائنات الحية وكذا التشابه الكبير لشروط التفاعل بين التفاعلين Biginelli و Biginelli . (المخطط 46)

المخطط 46

III - 2 - المركبات 4،1 - ثنائي هيدروبيريدين

نظررا للفعالية الجيدة للمحفز در المحفر المحفر المحفر المحفر المحفر المحفر المحفر والسرة والمحفر القصرين في تحضير المركبات الهيدروبيريميدينونية إرتأينا دراسة فعالية هذا المحفر لتحضير مشتقات 4،1- ثنائي هيدروبيريدين (6) حسب تفاعل Hantzsch.

ولهذا استعملنا نفس الشروط المتحصل عليها سابقا لتفاعل Biginelli حيث يسخن المزيج حتى الغليان في غياب المذيب للمتفاعلات التالية: ألدهيد (1)، أسيتوأسيتات الإيثيل (33) و أسيتات الأمونيوم (32) و Cu(OTs)₂ وكمحفز. حيث تحصلنا على المركب (33) بمردود جيد 90%. (المخطط 47).

OC₂H₅ NH₄OAc
$$Cu(OTs)_2$$
 sans solvant C_2 H₅O CH₃ NH CH₃

(1) (2) (32) (33)

المخطط 47

ومن خلال هذه النتيجة المتحصل عليها الجد مشجعة، قمنا بتحضير عدة مركبات من نوع DHP باستخدام ألدهيدات مختلفة والنتائج المتحصل عليها مبينة في الجدول (12).

 $Cu(OTs)_2$ بالجدول (12): تحضير مشتقات DHP الجدول

D 1 4	D	Temps *Rdt		$\mathbf{T}_{\mathrm{fus}}(\mathbf{C}^{\circ})$			
Produit	R	(h)	(%)	mesurée	rapportée		
ZS 15	C_6H_5	6	90	159-161	158-160 ¹³⁴		
ZS 16	$4-F-C_6H_4$	5	83	147-149	149-150.5 ¹³⁵		
ZS 17	3 -OCH $_{3}$ - C $_{6}$ H $_{4}$	6	82	118-120	124-125 ¹³⁶		
ZS 18	2 -Cl- C_6H_4	6	80	125-127	126-128 ¹³⁷		
ZS 19	4-OH- C_6H_4	5	76	228-230	230-232 117		
ZS 20	4 -Cl- C_6H_4	6	85	151-153	149.5-151 ¹³⁸		
ZS 21	4-OCH ₃ - C ₆ H ₄	5	88	155-157	157-159 ¹¹⁷		
ZS 22	C_6H_{11}	6	56	122-124	_		
ZS 23	CH=CH-C ₆ H ₅	7	64	147-149	148-150 111		

^{*} المردود معطى بعد الفصل الكروماتوغرافي أو إعادة البلورة.

ما يمكن استنتاجه من هذه النتائج أن:

- الألدهيدات الأروماتية تعطي مردودا اعلى من الألدهيد الأليفاتي (ZS 22).
- الألدهيدات الأروماتية المستبدلة في الوضع 4 عموما أكثر فعالية من حيث المردود مقارنة مع باقى الألدهيدات الآروماتية المستبدلة في الوضع 2 أو 3.

III- 2- II- آليـــة التــفاعل

من خلال الدراسات السابقة والنتائج المتحصل عليها يمكن أن نقترح آلية التفاعل التالية:

- تشكل الوسيط (III) عن طريق تفاعل Knovenagel المحفر بتوزيلات النحاس. (المخطط 48)

$$C_2H_5O$$
 C_2H_5O
 C_2H

المخطط 48

- تشكل الوسيط (IV) عن طريق تكاثف الجزيئة الثانية لأسيتو أسيتات الإيثيل مع الأمونياك. (المخطط 49)

المخطط 49

- تكاثف الوسيطين (III) و(IV) عن طريق إضافة Micheal التي تعطي سلسلة مفتوحة التي تغلق لتشكل DHP مع نزع جزيئة ماء. (المخطط 50)

III- 2-2 - التحليل الطيفي

تم التأكد من البنية الكيميائية للمركبات 4.1- ثنائي هيدروبيريدين المحضرة بواسطة طرق التحليل الطيفي 13 RMN 13C و RMN المعطيات الواردة في المنشورات.

IR -2 -2 - 1 طيف الامتصاص للأشعة تحت الحمراء

تظهر أطياف الامتصاص للأشعة تحت الحمراء تواجد حزمة امتصاص في تظهر أطياف الامتصاص للأشعة تحت الحمراء تواجد حزمة cm^{-1} [1221-1207] المجال [1221-1207] متطهر تواجد الرابطة الرابطة الثنائية، cm^{-1} [1704-1682] متصاص بين [1704-1682] cm^{-1} [3360-3322] محرمة امتصاص أخرى خاصة بوظيفة NH في المجال [3360-3322] .

RMN 1 H طيف الرنين النووي المغناطيسي للبروتين النووي المغناطيسي البروتين

أهم ما يميز أطياف الرنين النووي المغناطيسي للبروتون للمركبات المصطنعة هو:

ظهور إشارة أحــادية بيــن [6.87-5.59] ppm خاصــة بالبروتون NH للنـواة -4.1 ppm [5.47-4.9] بروتون -4.1 المرتبطة بالوظيفة الأسترية تظهر على شكل -4.1 المرتبطة بالوظيفة الأسترية تظهر على شكل -4.1

شيلان ما الميثيلان بالميثيلان ما الميثيلان بالميثيلان بالميثيلان

أما مجموعتي المثيل المرتبطة بالنواة 4،1- ثنائي هيدروبيريدين تظهر على شكل أحادية بتكامل ستة بروتونات في المجال [2.51-2.25] ppm. بينما بروتونات النواة الأروماتية تظهر عند المجال [7.46-6.79] ppm على شكل متعددة تختلف من مركب لآخر حسب المستبدل على النواة الأروماتية.

RMN ¹³C - 2 - 2 - 4يف الرنين النووي المغناطيسي للكربون 13C

ما تمتاز به أطياف الرنين النووي المغناطيسي للكربون للمركبات التي تم تحضيرها هو:

إشارة تتراوح بين [167.2-167.2] ppm توافق مجموعة الكاربونيل للوظيفة الأسترية والسارة تتراوح بين [169.2-167.2] ppm [169.2-167.2] و C_0 الأوليفنية والأوليفنية والأوليفنين المتكافئين C_0 و C_0 المجال [108.8-101.1] ppm [108.8-101.1] بينما الإشارة الخاصة الكربونيين الأوليفنين المتحال [108.8-101.1] ppm [108.8-101.1] ppm خصاصة بالكربون C_0 أمسا كسربون المسيثيلان المسرتبط بالسوظيفة الأسسسترية (C_0 (C_0) فيظهر عند [C_0 (C_0) فيظهر عند [C_0 (C_0) فيظهر عند المجال [C_0 (C_0) لنفس الوظيفة فيظهر عند المجال [C_0) لنفس الوظيفة فيظهر عند [C_0) يظهر عند [C_0 (C_0) و C_0 و C_0 يظهر عند [C_0) المشيل (C_0) المشيل المسرتبط بالمرتبط بالمسرتبط بالمشيل (C_0) و C_0 و

______ النتائج والمناقشة

(δ ppm و J Hz) للمركبات J Hz) للمركبات J Hz) للمركبات J Hz في الرنين النووي المغناطيسي للبروتون (J HX) للمركبات J المركبات J Hz في المنافق الرنين النووي المغناطيسي للبروتون (J Hz) المركبات J المركبات

Produit	R	NH	О-СН	I ₂ -CH ₃	CH ₃	H_4	
Trouun	K	1411	CH_2	CH ₃	CII3		
ZS 15	7.11 - 7.32 (m, 5H)	6.03	4.11 (q, 4H)	1.25 (t, 6H)	2.32	5.01	
	7.11 - 7.32 (III, 311)	(s, 1H)	J = 7.2	J = 7.2	(s, 6H)	(s, 1H)	
ZS 16	7.24 . 7.2 (m. 4H)	5.92	4.12 (q, 4H)	1.24 (t, 6H)	2.34	5.0	
	7.24 - 7.3 (m, 4H)	(s, 1H)	J = 7.2	J = 7.2	(s, 6H)	(s, 1H)	
ZS 17	7.12 (t, $J = 8.0$, 1H), 6.84 - 6.9 (m, 3H),	5.81	4.09 (q, 4H)	1.22 (t, 6H)	2.3	4.98	
	3.75 (s, 3H, OCH ₃)	(s, 1H)	J = 7.2	J = 7.2	(s, 6H)	(s, 1H)	
ZS 18	7.1 - 7.46 (m, 4H)	6.87	4.12 (q, 4H)	1.24 (t, 6H)	2.27	5.47	
		(s, 1H)	J = 7.2	J = 7.2	(s, 6H)	(s, 1H)	
ZS 19	7.12 (d, $J = 8.5, 2H$), 6.79 (d, $J = 8.5, 2H$)	5.59	4.06 (q, 4H)	1.02 (t, 6H)	2.51	4.9	
	7.12 (u, $J = 8.3, 211$), 0.79 (u, $J = 8.3, 211$)	(s, 1H)	J = 7.2	J = 7.2	(s, 6H)	(s, 1H)	
ZS 20	7.2 – 7.29 (m, 4H)	6.27	4.15 (q, 4H)	1.27 (t, 6H)	2.35	5.02	
ZS 20	7.2 – 7.29 (III, 411)	(s, 1H)	J = 7.2	J = 7.2	(s, 6H)	(s, 1H)	
ZS 21	7.27 (d, $J = 8.7, 2H$), 6.82 (d, $J = 8.7, 2H$),	6.06	4.17 (q, 4H)	1.3 (t, 6H)	2.38	5.01	
25 21	3.82 (S, 3H, OCH ₃)	(s, 1H)	J = 7.2	J = 7.2	(s, 6H)	(s, 1H)	
ZS 22	1.58 - 1.60 (m, 2H), 1.48- 1.51 (m, 3H), 1.35- 1.37	6.06	4.12 (q, 4H)	1.24 (t, 6H)	2.25	3.87	
L3 44	(m, 1H), 1.02 - 1.23 (m, 3H), 0.84- 0.99 (m, 2H)	(s, 1H)	J = 7.0	J = 7.0	(s, 6H)	(d, J = 6.0, 1H)	
ZS 23	7.11 - 7.29 (m, 5H),	5.77	4.15 (q, 4H)	1.25 (t, 6H)	2.28	4.58	
	6.11 - 6.22 (m, 2H, 2CH éthyléniques)	(s, 1H)	J = 7.2	J=7.2	(s, 6H)	(d, J = 6.0, 1H)	

______النتائج والمناقشة

 $(\delta \text{ ppm})$ للمركبات -4.1 ثنائي هيدروبيريدين للكربون (RMN 13 C) المجدول (14) طيف الرنين النووي المغناطيسي للكربون

Produit	Substituants sur Ar	R, C ₂ et C ₆	C ₃ et C ₅	C ₄	со	O-CH ₂ -CH ₃		CH ₃
						CH_2	CH ₃	
ZS 15	-	147.8, 144.1, 129.2, 128.6, 127.9, 126.2	103.9	39.6	167.8	59.7	14.2	19.5
ZS 16	-	144.4 129.9, 129.8, 129.4, 128.4	104.4	39.5	167.9	60.1	14.7	19.9
ZS 17	55.8	160.3, 149.9, 144.6, 129.2, 121.4, 114.9, 112.1	104.9	40.8	169.2	60.8	15.5	20.8
ZS 18	-	145.6, 144.5, 132.1, 131.3, 129.0, 127.1, 126.5	103.1	37.4	167.7	59.5	13.95	18.8
ZS 19	-	156.7, 155.6, 129.8, 127.8, 115.9, 114.2	108.8	30.2	168.5	61.1	14.2	23.1
ZS 20	-	146.3, 144.3, 131.6, 129.2, 127.9, 126.7	103.5	39.2	167.5	59.8	14.2	19.3
ZS 21	55.1	157.8, 143.8, 140.4, 133.7, 128.8, 113.0	104.2	38.7	167.8	59.7	14.2	19.4
ZS 22	-	144.8, 45.8, 28.8, 26.7, 24.9	101.6	38.3	168.8	59.6	14.3	19.3
ZS 23	-	144.5, 137.4, 131.4, 127.9, 127.6, 126.4, 125.8	101.1	36.1	167.2	59.3	14.0	19.1

______ النتائج والمناقشة

III- 2- 3- خلاصة

من خلال هذا الجزء من العمل تمكنا من تحضير 9 مركبات من مشتقات على المحفر الجزء من العمل المحفر الأول مرح بتوزيلات المحفر وبيريدين باستعمال تكاثف Hantzsch المحفر الأول مرة بتوزيلات النحاس Cu(OTs)2 المحضرة مخبريا، وقد أظهر هذا الأخير فعالية جيدة من حيث المردود والزمن.

المخطط 51

الغدل الرابع الجملي

الجانب العملي

IV- 1- تحضير المحفز توزيلات النحاس

في ثنائي عنق مزود بمكثف يسخن عند درجة حرارة $^{\circ}$ C $^{\circ}$ C

 $T_{\text{fus}} = 297-300 \, ^{\circ}\text{C}$

IR (KBr, v cm⁻¹): 1540 (C=C), 1290 (SO₂), 685 (SO), 570 (CS).

IV - 2- تحضير مشتقات 4،3- ثنائى هيدروبير يميدينون

الطربقة العامة

في دورق كروي الشكل يسخن حتى الغليان مريج من 10 مول % الألدهيد، 15 مول % من أسيتو أسيتات الإيثيل أو 2،1- ثنائي بنتانديون و 10 مول % اليوريا محفزة بـ 0.1 مول % من توزيلات النحاس Cu(OTs)₂ في غياب المذيب، يرج الخليط مغناطسيا مدة زمنية محددة تتراوح بين [2-4] ساعات. تتم متابعة التفاعل عن طريق .DHPM عند نهاية التفاعل يضاف الماء البارد للخليط التفاعلي من أجل ترسيب DHPM. بعد فصله بالترشيح يتم تنقيته ببلورته في الإيثانول.

ZS 1: 5-(Ethoxycarbonyl)-6-méthyl-4-phényl-3,4-dihydropyrimidin-2(1H)-one.

5-(اِيتوكسي كاربونيل)-6- مثيل-4- فينيل-4،3- ثنائي هيدروبير يميدين-2(H1)-أون.

تم تحضير المركب ${\bf ZS}$ باستعمال الطريقة العامة انطلاقا من ${\bf g}$ 2.23 البنز الدهيد بمردود ${\bf 86}$ %.

 $T_{\text{fus}} = 201 - 203 \, ^{\circ}\text{C}$

IR (KBr, v cm⁻¹): 3246, 3107, 2980, 1701, 1647, 1455, 1221, 1092, 784.

RMN ¹**H** (**CDCl**₃, δ **ppm**, **J Hz**): 9.15 (s, 1H, NH); 7.69 (s, 1H, NH); 7.16 -7.29 (m,5H); 5.1 (s, 1H); 3.93 (q, **J**= 7.2, 2H); 2.2 (s, 3H); 1.03 (t, **J**= 7.2, 3H).

RMN ¹³**C** (**CDCl**₃, *J* **Hz**): 165.3, 152.2, 148.4, 144.9, 128.4, 127.3, 126.3, 99.3, 59.2, 53.9, 17.8, 14.1.

ZS 2: 4-(4-Chlorophényl)-5-(éthoxycarbonyl)-6-méthyl-3,4-dihydropyrimidin-2(1H)-one.

4-(4- كلوروفينيل)-5-(اپتوكسي كاربونيل)-6- مثيل -4،3- ثنائي هيدروبير يميدين- (H1)2-أون.

تم تحضير المركب \mathbf{ZS} باستعمال الطريقة العامة انطلاقا من \mathbf{g} 2.79 بارا كلوروبنزالدهيد بمردود \mathbf{g} 95 %.

 $T_{\text{fus}} = 213 - 215 \, ^{\circ}\text{C}$

IR (KBr, v cm⁻¹): 3244, 3117, 2980, 1707, 1647, 1457, 1290, 1221, 1090, 781.

RMN ¹**H** (**CDCl**₃, δ **ppm**, **J Hz**): 9.01 (s, 1H, NH); 7.55 (s, 1H, NH); 7.02 -7.16 (m, 4H); 4.95 (s, 1H); 3.75 (q, **J**= 7.2, 2H); 2.04 (s, 3H); 0.85 (t, **J**= 7.2, 3H).

RMN ¹³**C** (**CDCl**₃, *J* **Hz**): 165.4, 152.0, 148.8, 143.7, 132.0, 128.4, 128.0, 99.1, 59.5, 53.6, 18.0, 14.2.

ZS 3: 4-(4-florophényl)-5-(éthoxycarbonyl)-6-méthyl-3,4-dihydropyrimidin-2(1H)-one.

4-(4- فلوروفینیل)-5-(ایتوکسی کاربونیل)-6- مثیل -4،3- ثنائی هیدروبیر یمیدین- (H1)2

تم تحضير المركب \mathbf{ZS} عباستعمال الطريقة العامة انطلاقا من \mathbf{ZS} عبارا فلوروبنز الدهيد بمردود \mathbf{S} .

 $T_{\text{fus}} = 176 - 178 \, ^{\circ}\text{C}$

IR (KBr, v cm⁻¹): 3238, 3117, 2980, 1703, 1647, 1495, 1455, 1221, 1084, 795.

RMN ¹**H** (**CDCl**₃, δ **ppm**, **J Hz**): 9.2 (s, 1H, NH); 7.72 (s, 1H, NH); 7.1 -7.3 (m, 4H); 5.14 (s, 1H); 3.97 (q, **J**= 6.0, 2H); 2.24 (s, 3H); 1.07 (t, **J**= 6.0, 3H).

RMN ¹³**C** (**CDCl**₃, *J* **Hz**): 165.2, 159.7, 151.9, 148.5, 141.1, 128.2, 115.1, 99.1, 59.2, 53.3, 17.7, 14.0.

ZS 4: 4-(4,3- Dibenzyloxy-phényl)-5-(éthoxycarbonyl)-6-méthyl-3,4-dihydropyrimidin-2(1H)-one.

4-(4،3- ثنائي بنزيل أوكسي فينيل)-5-(ايتوكسي كاربونيل)-6- مثيل -4،3- ثنائي 4،3- ثنائي هيدر وبير يميدين-4(H1)-أون.

تم تحضير المركب \mathbf{ZS} 4 باستعمال الطريقة العامة انطلاقا من \mathbf{g} 4.15 ثنائي بنزيل أوكسي بنزالدهيد بمردود \mathbf{g} 88 %.

 $T_{\text{fus}} = 162 - 164 \, ^{\circ}\text{C}$

IR (KBr, v cm⁻¹): 3238, 3109, 2926, 1701, 1647, 1510, 1457, 1221, 1131, 1024, 734, 697.

RMN ¹**H** (**CDCl**₃, δ **ppm**, **J Hz**): 9.13 (s, 1H, NH); 7.65 (s, 1H, NH); 7.34 -7.42 (m, 10H); 6.95 -7.01 (m, 2H); 6.72 -6.75 (m, 1H); 5.08 (s, 1H); 3.96 (q, **J**= 6.9, 2H); 2.23 (s, 3H); 1.08 (t, **J**= 6.9, 3H).

RMN ¹³**C** (**CDCl**₃, *J* **Hz**): 165.3, 152.1, 148.2, 147.9, 147.5, 137.8, 137.2, 128.3, 127.7, 127.5, 118.7, 114.2, 113.1, 99.2, 59.1, 53.4, 17.7, 14.1.

ZS 5: 4-(2-florophényl)-5-(éthoxycarbonyl)-6-méthyl-3,4-dihydropyrimidin-2(1H)-one.

-6- فلوروفینیل)--5- (لیتوکسی کاربونیل)--6- مثیل -4،3- ثنائی هیدروبیر یمیدین- -6- (-6)- اون.

تم تحضير المركب **ZS 5** باستعمال الطريقة العامة انطلاقا من 2.31 g أرتو فلوروبنز الدهيد بمردود 83%.

 $T_{\text{fus}} = 237 - 239 \, ^{\circ}\text{C}$

IR (KBr, v cm⁻¹): 3352, 3105, 2972, 1696, 1637, 1457, 1229, 1103, 757.

RMN ¹**H** (**CDCl**₃, δ **ppm**, J **Hz**): 9.22 (s, 1H, NH); 7.68 (s, 1H, NH); 7.13 -7.29 (m, 4H); 5.41 (s, 1H); 3.91 (q, J= 7.0, 2H); 2.22 (s, 3H); 1.02 (t, J= 7.0, 3H).

RMN ¹³**C** (**CDCl**₃, *J* **Hz**): 165.6, 160.8, 157.9, 152.0, 149.1, 132.0, 129.9, 125.3, 116.1, 97.9, 59.4, 52.0, 18.1, 14.3.

ZS 6: 4-(2-Bromophényl)-5-(éthoxycarbonyl)-6-méthyl-3,4-dihydropyrimidin-2(1H)-one.

4-(2- بروموفینیل)-5-(ایتوکسی کاربونیل)-6- مثیل -4،3- ثنائی هیدروبیر یمیدین- 2)-4 (H1)2

تم تحضير المركب **ZS** 6 باستعمال الطريقة العامـــة انطلاقــا مـن 3.05 g أرتوبروموبنزالدهيد بمردود 90 %.

 $T_{\text{fus}} = 207 - 209 \, ^{\circ}\text{C}$

IR (KBr, v cm⁻¹): 3345, 3109, 2980, 1698, 1640, 1455, 1229, 1100, 753.

RMN ¹**H** (**CDCl**₃, δ **ppm**, J **Hz**): 9.25 (s, 1H, NH); 7.67 (s, 1H, NH); 7.55 (d, J= 7.8, 1H); 7.15 -7.37 (m, 3H); 5.6 (s, 1H); 3.88 (q, J= 6.0, 2H); 2.3 (s, 3H); 0.98 (t, J= 6.0, 3H).

RMN ¹³**C** (**CDCl**₃, *J* **Hz**): 164.9, 151.2, 149.2, 143.3, 132.5, 129.3, 128.7, 128.4, 122.2, 98.2, 59.0, 53.9, 17.6, 13.9.

ZS 7: 4-(2-Chlorophényl)-5-(éthoxycarbonyl)-6-méthyl-3,4-dihydropyrimidin-2(1H)-one.

-6- مثیل -3- ثنائي هیدر وبیر یمیدین -3- مثیل -3- ثنائي هیدر وبیر یمیدین -3- -3- ثنائی هیدر وبیر یمیدین -3- -3

تم تحضير المركب ${\bf ZS}$ باستعمال الطريقة العامة انطلاقا من ${\bf g}$ 2.5 وأرتو كلوروبنز الدهيد بمردود 85 % .

 $T_{\text{fus}} = 221 - 223 \, ^{\circ}\text{C}$

IR (KBr, v cm⁻¹): 3349, 3111, 2980, 1697, 1640, 1450, 1221, 1092, 739.

RMN ¹**H** (**CDCl**₃, δ **ppm**, J **Hz**): 9.24 (s, 1H, NH); 7.66 (s, 1H, NH); 7.21-7.44 (m, 4H); 5.62 (s, 1H); 3.85 (q, J= 7.1, 2H); 2.32 (s, 3H); 0.97 (t, J= 7.1, 3H).

RMN ¹³**C** (**CDCl**₃, *J* **Hz**): 165.2, 151.3, 149.3, 142.7, 132.6, 129.6, 129.5, 129.2, 128.1, 98.3, 59.1, 51.9, 17.8, 14.1.

الجانب العملي

ZS &: 4-(Cyclohexyl)-5-(éthoxycarbonyl)-6-méthyl-3,4-dihydropyrimidin-2(1H)-one.

4-(حلقة الهكسيل)-5-(ابيتوكسي كاربونيل)-6- مثيل -4،3- ثنائي هيدروبير يميدين-(H1)2-أون

تم تحضير المركب ${\bf ZS}$ 8 باستعمال الطريقة العامة انطلاقا من ${\bf g}$ 1.73 علقة الهكسان كربالدهيد بمردود 65 %.

 $T_{\text{fus}} = 232 - 234^{\circ}\text{C}$

IR (**KBr**, **v cm**⁻¹): 3241, 3117, 2919, 1701, 1647, 1447, 1229, 1084, 781.

RMN ¹**H** (**CDCl**₃, δ **ppm**, **J Hz**): 8.86 (s, 1H, NH); 7.3 (s, 1H, NH); 4.03 (q, **J**= 7.0, 2H); 3.9 (s.l, 1H); 2.16 (s, 3H); 1.6- 1.7 (m, 7H); 1.13- 1.38 (m, 4H); 1.18 (t, **J**= 7.0, 3H).

RMN ¹³**C** (**CDCl**₃, **J Hz**): 165.8, 153.2, 148.3, 98.5, 59.1, 55.0, 44.9, 28.5, 26.3, 26.0, 25.9, 25.7, 17.8, 14.2.

ZS 9: 4-(Isopropyl)-5-(éthoxycarbonyl)-6-méthyl-3,4-dihydropyrimidin-2(1H)-one.

4-(H1)2-نيزوبروبيل)-5-(اپيتوکسي کاربونيل)-6- مثيل -4،3- ثنائي هيدروبير يميدين-2(H1)

تم تحضير المركب \mathbf{ZS} 9 باستعمال الطريقة العامة انطلاقا من \mathbf{S} 9 من 2- مثيل بروبنال بمردود \mathbf{S} 8 % .

 $T_{\text{fus}} = 187 - 189 \, ^{\circ}\text{C}$

IR (KBr, v cm⁻¹): 3246, 3117, 2957, 1701, 1647, 1455, 1229, 1067, 795.

RMN ¹**H** (**CDCl**₃, δ **ppm**, J **Hz**): 8.9 (s, 1H, NH); 7.3 (s, 1H, NH); 4.05 (q, J= 7.0, 2H); 3.94 (s.l, 1H); 2.16 (s, 3H);1.66 (m, 1H); 1.17 (t, J= 7.0, 3H); 0.81 (d, J= 7.0, 3H); 0.73 (d, J= 7.0, 3H).

RMN ¹³**C** (**CDCl**₃, *J* **Hz**): 165.8, 153.2, 148.5, 98.1, 59.1, 55.5, 34.6, 18.5, 17.8, 15.9, 14.2.

ZS 10: 5-(Ethoxycarbonyl)-6-methyl-4-styryl-3,4-dihydropyrimidin-2(1H)-one.

5-(اِيتوكسي كاربونيل)-6- مثيل-4- ستيريل-4،3- ثنائي هيدروبير يميدين-2(H1)-أون.

تم تحضير المركب \mathbf{ZS} 10 باستعمال الطريقة العامة انطلاقا من \mathbf{S} 1.46 سينامالدهيد بمردود 51 %.

 $T_{\text{fus}} = 240 - 242 \, ^{\circ}\text{C}$

IR (KBr, v cm⁻¹): 3242, 3117, 2972, 1704, 1647,1466, 1221, 1092, 757.

RMN ¹**H** (**CDCl**₃, δ **ppm**, J **Hz**): 9.13 (s, 1H, NH); 7.54 (s, 1H, NH); 7.17 - 7.38 (m, 5H), 6.34 (d, J=16.2, 1H), 6.17 (dd, J=5.7, J=15.9, 1H); 4.71 (m, 1H); 4.06 (q, J= 7.2, 2H); 2.2 (s, 3H); 1.17 (t, J= 7.2, 3H).

RMN ¹³**C** (**CDCl**₃, *J* **Hz**): 165.2, 152.6, 148.5, 136.2, 129.9, 128.7, 128.1, 127.6, 126.3, 97.8, 59.2, 51.9, 17.8, 14.3.

ZS 11: 5-Acétyl-6-méthyl-4-phényl-3,4-dihydropyrimidin-2(1H)-one

- مثیل-4- فینیل -4-3- ثنائی هیدر وبیر یمیدین-4(H1)-أون.

تم تحضير المركب 2S 11 باستعمال الطريقة العامة انطلاقا من g 1.66 البنزالدهيد بمردود g %.

 $T_{\text{fus}} = 231 - 233 \, ^{\circ}\text{C}$

IR (KBr, v cm⁻¹): 3296, 3119, 2933, 1703, 1614, 1449, 1221, 1092, 780.

RMN ¹**H** (**CDCl**₃, δ **ppm**, **J Hz**): 9.18 (s, 1H, NH); 7.81 (s, 1H, NH); 7.23-7.33 (m, 5H); 5.26 (s, 1H); 2.27 (s, 3H); 2.09 (s, 3H).

RMN ¹³**C** (**CDCl**₃, *J* **Hz**): 194.9, 152.5, 148.6, 144.4, 128.9, 127.7, 126.6, 110.1, 54.1, 30.7, 18.9.

ZS 12: 5-Acétyl-4-(2-méthoxyphényl)-6-méthyl-3,4-dihydropyrimidin-2(1H)-one.

5- أسيتيل -4-(2- ميتوكسي فينيل)-6- مثيل -4،3- ثنائي هيدر وبير يميدين-2(H1)-أون.

تم تحضير المركب **ZS 12** باستعمال الطريقة العامة انطلاقا من 1.92 g أرتومثيل بنزالدهيد بمردود 74%.

 $T_{\text{fus}} = 254 - 256 \, ^{\circ}\text{C}$

IR (KBr, v cm⁻¹): 3277, 3111, 2941, 1698, 1644, 1457, 1237, 1013, 757.

RMN ¹**H** (**CDCl**₃, δ **ppm**, **J Hz**): 9.12 (s, 1H, NH); 7.34 (s, 1H, NH); 7.24 (td, J= 1.5, 7.8, 1H); 7.01 -7.07 (m, 2H); 6.9 (t, J= 7.5, 1H); 5.6 (s, 1H); 3.83 (s, 3H); 2.3 (s, 3H); 2.03 (s, 3H).

RMN ¹³**C** (**CDCl**₃, *J* **Hz**): 194.4, 156.2, 152.1, 148.1, 130.9, 128.8, 126.7, 120.3, 111.2, 107.7, 55.4, 48.6, 30.6, 18.6.

ZS 13: 5-Acétyl-4-(3-méthoxyphényl)-6-méthyl-3,4-dihydropyrimidin-2(1H)-one.

5- أسيتيل -4-(3- ميتوكسي فينيل)-6- مثيل -4،3- ثنائي هيدر وبير يميدين-2(H1)-أون.

تم تحضير المركب ${\bf ZS}$ 13 باستعمال الطريقة العامة انطلاقا من ${\bf ZS}$ 2.29 بنزالدهيد بمردود ${\bf S}$ 83 .

 $T_{\text{fus}} = 244 - 246 \, ^{\circ}\text{C}$

IR (KBr, v cm⁻¹): 3338, 3277, 2838, 1681, 1598, 1460, 1237, 1047, 760.

RMN ¹**H** (**CDCl**₃, δ **ppm**, **J Hz**): 9.16 (s, 1H, NH); 7.8 (s, 1H, NH); 7.25 (t, **J**= 9.0, 1H); 6.8 -6.85 (m, 3H); 5.24 (s, 1H); 3.73 (s, 3H); 2.3 (s, 3H); 2.11 (s, 3H).

RMN ¹³**C** (**CDCl**₃, *J* **Hz**): 194.2, 159.3, 152.1, 148.1, 145.6, 129.6, 118.3, 112.6, 112.1, 109.3, 54.9, 53.6, 30.2, 18.8.

ZS 14: 5-Acétyl-4-(3-bromo-4-méthoxyphényl)-6-méthyl-3,4-dihydropyrimidin-2(1H)-one.

5- أسيتيل -4-(3- برومو -4- ميتوكسي فينيل)-6- مثيل -4،3- ثنائي هيدروبير يميدين-(H1)2-أون.

تم تحضير المركب ${\bf ZS}$ 14 باستعمال الطريقة العامة انطلاقا من ${\bf g}$ 2.68 و - برومو - 4 ميتوكسي بنز الدهيد بمردود ${\bf r}$.

 $T_{\text{fus}} = 228 - 230 \, ^{\circ}\text{C}$

IR (**KBr**, **v cm**⁻¹): 3311,3117, 2934, 1701, 1610, 1495, 1237, 1051, 815.

RMN ¹**H** (**CDCl**₃, δ **ppm**, **J Hz**): 9.21 (s, 1H, NH); 7.81 (s, 1H, NH); 7.43 (s, 1H);7.2 (d, **J**= 8.4, 1H); 7.07 (d, **J**= 8.4, 1H); 5.23 (s, 1H); 3.82 (s, 3H); 2.3 (s, 3H); 2.13 (s, 3H).

RMN ¹³**C** (**CDCl**₃, *J* **Hz**): 194.1, 154.5, 151.9, 148.2, 137.9, 130.9, 126.8, 112.6, 110.4, 109.4, 56.2, 52.6, 30.3, 18.9.

IV ـ 3 ـ تحضير مشتقات 4،1 ـ ثنائى هيدروبيريدين

الطريقة العامة

في دورق كروي الشكل يسخن حتى الغليان مريج من 10 مول % الألدهيد، 15 مول % أسيتو أسيتات الإيثيل و 20 مول % أسيتات الأمونيوم محفزة بـ 0.1 مول % توزيلات النحاس Cu(OTs)₂ في غياب المذيب، يرج الخليط مغناطسيا مدة زمنية محددة تتراوح بين [5-7]ساعة. تتم متابعة التفاعل عن طريق CCM ،عند نهاية التفاعل يضاف الماء البارد للخليط التفاعلي من أجل ترسيب DHP بعد فصله بالترشيح يتم تنقيته ببلورته في الايثانول أو بواسطة كروماتو غرافيا العمود.

ZS 15: 4-(phényl)-2,6-diméthyl-1,4-dihydropyridine-3,5-dicarboxylate de diéthyle.

4-(فينيل)-2،6-(ثنائي مثيل-4،1- ثنائي هيدروبيريدين-3،5- ثنائي كربوكسيلات ثنائي الميالي ثنائي الميالي ا

تم تحضير المركب 2S 15 باستعمال الطريقة العامة انطلاقا من 2.96 و بنزالدهيد بمردود 90 %.

 $T_{\text{fus}} = 159 - 161 \, ^{\circ}\text{C}$

IR (KBr, v cm⁻¹): 3338, 1686, 1647, 1484, 1207, 1123, 767.

RMN ¹**H** (**CDCl**₃, δ **ppm**, J **Hz**): 7.11-7.32 (m, 5H); 6.03 (s,1H, NH); 5.01 (s, 1H); 4.11 (q, J=7.2, 4H); 2.32 (s, 6H); 1.25 (t, J=7.2, 6H).

RMN ¹³**C** (**CDCl**₃, δ **ppm**): 167.8, 147.8, 144.1, 129.2, 128.6, 127.9, 126.2, 103.9, 59.7, 39.6, 19.5, 14.2.

ZS 16 : 4-(4-florophényl)-2,6-diméthyl-1,4-dihydropyridine-3,5-dicarboxylate de diéthyle.

4-(4- فلوروفينيل)-2،6-(ثنائي مثيل-4،1- ثنائي هيدروبيريدين-3،5- ثنائي كربوكسيلات ثنائي ايثيل.

$$H_3CH_2CO$$
 H_3C
 H_3C
 H_3C
 CH_3
 CH_3
 CH_3

تم تحضير المركب **ZS 16** باستعمال الطريقة العامة انطلاقا من g 2.88 و برا فلوروبنز الدهيد بمردود 83 %.

 $T_{\text{fus}} = 147 - 149 \, ^{\circ}\text{C}$

IR (**KBr**, **v** cm⁻¹): 3345, 1689, 1647, 1488, 1209, 1092, 757.

RMN ¹**H** (**CDCl**₃, δ **ppm**, *J* **Hz**): 7.24-7.3 (m, 4H); 5.92 (s, 1H, NH); 5.0 (s, 1H); 4.12 (q, *J*=7.2, 4H); 2.34 (s, 6H); 1.24 (t, *J*=7.2, 6H).

الجانب العملي

RMN ¹³**C (CDCl₃, δ ppm):** 167.9, 144.4 129.9, 129.8, 129.4, 128.4, 104.4, 60.1, 39.5, 19.9, 14.7.

ZS 17: 4-(3-méthoxyphényl)-2,6-diméthyl-1,4-dihydropyridine-3,5-dicarboxylate de diéthyle.

4-(3- ميتوكسي فينيل)-2،6-(ثنائي مثيل-4،1- ثنائي هيدر وبيريدين-3،5- ثنائي كالمروبيريدين-3،5- ثنائي كالمروبيريدين كالمروبيريدين كالمربوكسيلات ثنائي الميثيل .

تم تحضير المركب 2S 17 باستعمال الطريقة العامة انطلاقا من 2S 8 . بنزالدهيد بمردود 82 % .

 $T_{\text{fus}} = 118 - 120 \, ^{\circ}\text{C}$

IR (KBr, v cm⁻¹): 3348, 1704, 1644, 1488, 1211, 1047, 776.

RMN ¹**H** (**CDCl**₃, δ **ppm**, J **Hz**): 7.12 (t, J= 8.0,1H); 6.84 – 6.9 (m, 3H); 5.81 (s, 1H, NH); 4.98 (s, 1H); 4.09 (q, J=7.2, 4H); 3.75 (s, 3H); 2.3 (s, 6H); 1.22 (t, J=7.2, 6H).

RMN ¹³C (**CDCl**₃, δ **ppm**): 169.2, 160.3, 149.9, 144.6, 129.2, 121.4, 114.9, 112.1, 104.9, 60.8, 55.8, 40.8, 20.8, 15.5.

ZS 18: 4-(2-chlorophényl)-2,6-diméthyl-1,4-dihydropyridine-3,5-dicarboxylate de diéthyle.

4-(2- كلورو فينيل)-2،6-(ثنائي مثيل-4،1- ثنائي هيدروبيريدين-3،5- ثنائي كربوكسيلات ثنائي ايثيل.

$$H_3CH_2CO$$
 H_3C
 H_3C
 CH_2CH_3
 CH_3
 CH_3
 CH_3

تم تحضير المركب **ZS 18** باستعمال الطريقة العامة انطلاقا من 2.9 g اورتو كلورو بنزالدهيد بمردود 80%.

 T_{fus} = 125 - 127 °C

IR (KBr, v cm⁻¹): 3330, 1699, 1617, 1484, 1211, 1097, 757.

RMN ¹**H** (**CDCl**₃, δ **ppm**, **J Hz**): 7.1-7.46 (m, 4H); 6.87 (s, 1H, NH); 5.47 (s, 1H); 4.12 (q, **J**=7.2, 4H); 2.27 (s, 6H); 1.24 (t, **J**=7.2, 6H).

RMN ¹³**C (CDCl₃, δ ppm):** 167.7, 145.6, 144.5, 132.1, 131.3, 129.0, 127.1, 126.5, 103.1, 59.5, 37.4, 18.8, 13.9.

ZS 19: 4-(4-hydroxyphényl)-2,6-diméthyl-1,4-dihydropyridine-3,5-dicarboxylate de diéthyle.

4-(4- هيدروكسي فينيل)-2،6-(ثنائي مثيل-4،1- ثنائي هيدروبيريدين-3،5- ثنائي كاربوكسيلات ثنائي ايثيل.

تم تحضير المركب ${\bf ZS}$ 19 برا هيدروكسي بنزالدهيد بمردود ${\bf 76}$ %.

 $T_{\text{fus}} = 228 - 230 \, ^{\circ}\text{C}$

IR (KBr, v cm⁻¹): 3345, 1683, 1660, 1488, 1221, 1131, 760.

RMN ¹**H** (**CDCl**₃, δ **ppm**, J **Hz**): 7.12 (d, J=8.5, 2H), 6.79 (d, J= 8.5, 2H); 5.59 (s, 1H, NH); 4.9 (s, 1H); 4.06 (q, J=7.2, 4H); 2.51 (s, 6H); 1.02 (t, J=7.2, 6H).

RMN ¹³**C** (**CDCl**₃, δ **ppm**): 168.5, 156.7, 155.6, 129.8, 127.8, 115.9, 114.2, 108.8, 61.1, 30.2, 23.1, 14.2.

ZS 20: 4-(4-chlorophényl)-2,6-diméthyl-1,4-dihydropyridine-3,5-dicarboxylate de diéthyle.

4-(4- كلورو فينيل)-2،6-(ثنائي مثيل-4،1- ثنائي هيدروبيريدين-3،5- ثنائي كربوكسيلات ثنائي ايثيل.

$$H_3CH_2CO$$
 H_3C
 N
 H
 CH_3
 CH_3
 CH_3
 CH_3

تم تحضير المركب 2S 20 برا كلورو بنزالدهيد بمردود 85 % .

 $T_{fus} = 151 - 153~^{\circ}\mathrm{C}$

IR (KBr, v cm⁻¹): 3360, 1694, 1647, 1488, 1213, 1089, 830.

RMN ¹**H** (**CDCl**₃, δ **ppm**, *J* **Hz**): 7.2-7.29 (m, 4H); 6.27 (s, 1H, NH); 5.02 (s, 1H); 4.15 (q, *J*=7.2, 4H); 2.35 (s, 6H); 1.27 (t, *J*=7.2, 6H).

RMN ¹³**C** (**CDCl**₃, δ **ppm**): 167.5, 146.3, 144.3, 131.6, 129.2, 127.9, 126.7, 103.5, 59.8, 39.2, 19.3, 14.2.

ZS 21: 4-(4-méthoxyphényl)-2,6-diméthyl-1,4-dihydropyridine-3,5-dicarboxylate de diéthyle.

4- (4- ميتوكسي فينيل)-2،6- (ثنائي مثيل-4،1- ثنائي هيدروبيريدين-3،5- ثنائي كالمروبيريدين-3،5- ثنائي كالمروبيريدين-3،5- ثنائي كالمروبيريدين-3،5- ثنائي المروبيريدين-3،5- ثنائي المروبيلات ثنائي المروبيريدين-3،5- ثنائي المروبيدين-3،5- ثنائي المروبيلات ثنائيلات ثنائي

تم تحضير المركب 2S 21 باستعمال الطريقة العامة انطلاقا من 3.16 g 4- ميتوكسي بنزالدهيد بمردود 88 %.

 T_{fus} = 155 – 157 °C

IR (KBr, v cm⁻¹): 3345, 1682, 1645, 1481, 1217, 1123, 750.

RMN ¹**H** (**CDCl**₃, δ **ppm**, J **Hz**): 7.27 (d, J= 8.7, 2H); 6.82 (d, J= 8.7, 2H); 6.06 (s, 1H, NH); 5.01 (s, 1H); 4.17 (q, J=7.2, 4H); 3.82 (s, 3H); 2.38 (s, 6H); 1.3 (t, J=7.2, 6H).

RMN ¹³**C** (**CDCl**₃, δ **ppm**): 167.8, 157.8, 143.8, 140.4, 133.7, 128.8, 113.0, 104.2, 59.7, 55.1, 38.7, 19.4, 14.2.

ZS 22: 4-cyclohexyl-2,6-diméthyl-1,4-dihydropyridine-3,5-dicarboxylate de diéthyle.

4- حلقة الهكسيل-2،6-(ثنائي مثيل-4،1- ثنائي هيدر وبيريدين-3،5- ثنائي كربوكسيلات ثنائي إيثيل.

تم تحضير المركب **ZS 22** باستعمال الطريقة العامة انطلاقا من g 1.88 علقة الهكسان كربالدهيد بمردود 56%.

 $T_{\text{fus}} = 122 - 124 \, ^{\circ}\text{C}$

IR (KBr, v cm⁻¹): 3345, 1694, 1647, 1488, 1211, 1092, 742.

RMN ¹**H** (**CDCl**₃, δ **ppm**, J **Hz**): 6.06 (s, 1H, NH); 4.12 (q, J=7.0, 4H); 3.87 (d, J=6.0, 1H); 2.25 (s, 6H); 0.84 - 0.99 (m, 2H), 1.02 - 1.23 (m, 3H), 1.24 (t, J=7.0, 6H), 1.35 - 1.37 (m, 1H), 1.48 - 1.51 (m, 3H), 1.58 - 1.60 (m, 2H)

RMN ¹³**C** (**CDCl**₃, **J Hz**): 168.8, 144.8, 101.6, 59.6, 45.8, 38.3, 28.8, 26.7, 24.9, 19.3, 14.3.

ZS 23 : 4-styryl-2,6-diméthyl-1,4-dihydropyridine-3,5-dicarboxylate de diéthyle.

4- ستيريل- 2، 6- ثنائي مثيل- 1، 4- ثنائي هيدروبيريدين-3،5- ثنائي كربوكسيلات ثنائي ايثيل.

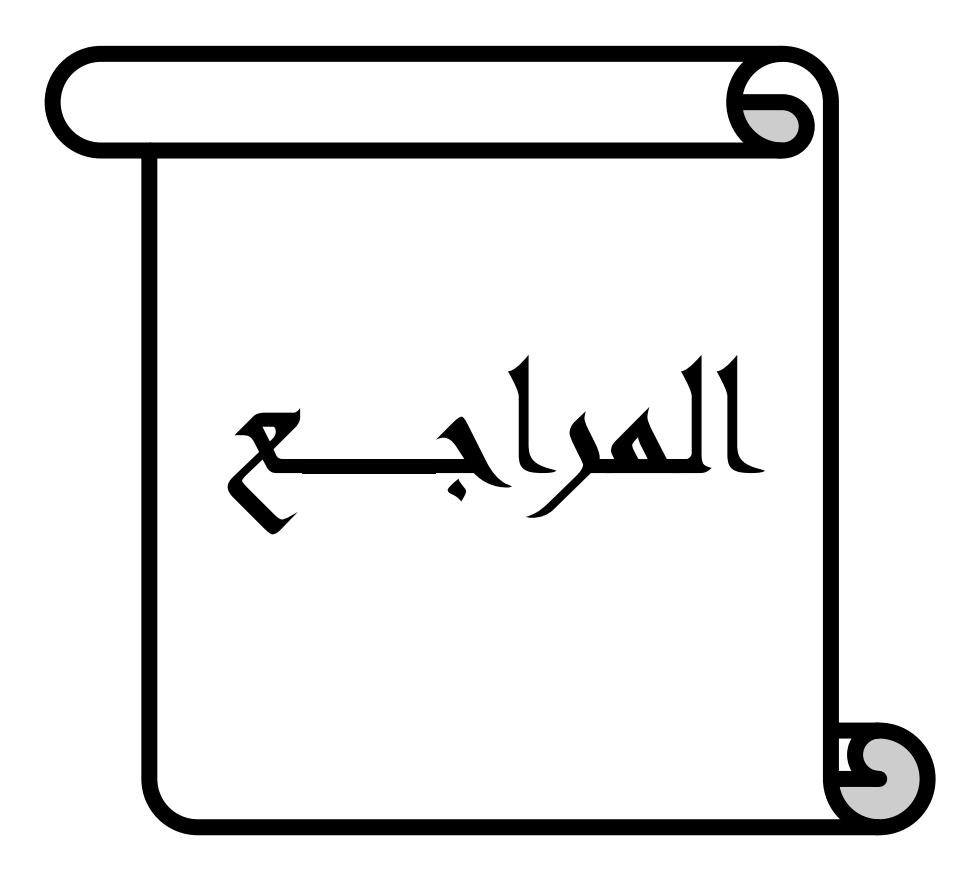
تم تحضير المركب \mathbf{ZS} 23 باستعمال الطريقة العامة انطلاقا من \mathbf{ZS} 23 سينامالدهيد بمردود \mathbf{S} 64 بمردود \mathbf{S} 64 باستعمال الطريقة العامة انطلاقا من \mathbf{S} 85 سينامالدهيد

 $T_{\text{fus}} = 147 - 149 \, ^{\circ}\text{C}$

IR (KBr, v cm⁻¹): 3338, 1686, 1647, 1491, 1221, 1123, 719.

RMN ¹**H** (**CDCl**₃, δ **ppm**, *J* **Hz**): 7.11 - 7.29 (m, 5H); 6.11 - 6.22 (m, 2H, 2CH éthyléniques); 5.77 (s, 1H, NH); 4.58 (d, *J*=6.0, 1H); 4.15 (q, *J*=7.2, 4H); 2.28 (s, 6H); 1.25 (t, *J*=7.2, 6H).

RMN ¹³**C** (**CDCl**₃, *J* **Hz**): 167.2, 144.5, 137.4, 131.4, 127.9, 127.6, 126.4, 125.8, 101.1, 59.3, 36.1, 19.1, 14.0.



المراجع

- 1. Biginelli, P. Gazz. Chim. Ital. 1893, 23, 360.
- 2. Sweet, F.; Fissekis, J.D. J. Amer. Chem. Soc. 1973, 95, 8741.
- 3. Folker, K.; Johnson, T. B. J. Am. Chem. Soc., 1933, 55, 3784.
- **4.** Kappe, C. O. J. Org. Chem. **1997**, 62, 7201.
- **5.** Ma, J. G.; Zhang, J. M.; Jiang, H. H.; Ma, W. Y.; Zhou, J. H. *Chin. Chem. Lett.* **2008**, *19*, 375.
- **6.** kappe, C.O. *Tetrahedron* **1993**, *49*, 6937.
- **7.** Fabian, W. M. F.; Semones, M. A.; Kappe, C. O. *J. Mol. Struct. (Theochem.)* **1998**, *432*, 219
- **8.** Kappe, G. O. Eur. J. Med. Ghem. **2000**, *35*, 1043
- **9.** Ohtani, K.; Kusumi, T.; T., Kakisawa. H.; Kashman, Y.; Hirsh, S. *J. Am. Chem. Soc.* **1992**, *114*, 8472
- 10. Patil, A. D.; Kumar, N. V.; Kokke, W. C.; Bean, M. F.; Freyer, A. J.; Debrosse, C.; Mai.; Truneh, A.; Faulkner, D. J.; Carte, B.; Breen, A. L. Hertzberg, R. P.; Johnson, R. K.; Westly, J. W.; Brts, B. C. M. J. Org. Chem. 1995, 60, 1182
- 11. Sandhu, J. S.; Suresh; Reviews and Accounts. 2012, 66-133
- 12. Mayer, T. M.; Haggarty, S. J.; King, R. W.; Schreiber, S. L.; Mitchison, T. EL-Subbagh, H.I,; Abu-Zaid, S. M.; Mahran, Badria, F.An,; Al-Obaid, A. M. J. Med. Chem. 2000, 43, 2915.
- 13. Huang, Y. Yang, F. Zhu, C. J. Am. Chem. Soc., 2005, 127, 16386.
- 14. Ma, Y. Qian, C. Wang, L. Yang, M. J. Org. Chem., 2000, 65, 3864.
- **15.** Wang, L. Qian, C. Tian, H. Yun, M.A. Synth. Commun., **2003**, *33*, 1459.
- 16. Dondoni, A. Massi, A. Sabatini, S. Tetrahedron Lett., 2002, 43, 5913.
- 17. Janis R. A., Silver P.J., Triggle D.J. Adv. Drug. Res. 1987, 16, 309
- 18. Khanina E.L., Siliniece G., Ozols J., Duburs G., Kimenis A. Khim-Farm.Zh, 1978,12,72
- **19.** a) Atwal, K.S. Swanson, B.N. Unger, S.E. Floyd, D.M. Moreland, S. Hedberg, A. O'Reilly, B.C. *J. Med. Chem.* **1991**, *34*, 806.
 - (b) Rovnyak, G.C. Atwal, K.S. Hedberg, A. Kimball, S.D. Moreland, S. Gougoutas, J.Z. O'Reilly, B.C. Schwartz, J. Malley, M.F. *J. Med. Chem.*, **1992**, *35*, 3254.
- **20.** Jadhav, V. B.; Holla, H. V.; Tekale, S. U.; Pawar, R. P., *Der Chemica Sinica*. **2012**, *3*, 1213.

- **21.** (a) Atwal, K. S.; Rovnyak, G. C.; Schwartz, J.; Moreland, S.; Hedberg, A.; Gougoutas, J. Z.; Malley, M. F.; Floyd, D. M. *J. Med. Chem.* **1990**, *33*, 1510.
 - (b) Zorkun, I. S.; Sarac, S.; Celebib, S.; Erolb, K. Bioorg. Med. Chem. 2006, 14, 8582.
 - (c) Chikhale, R. V.; Bhole, R. P.; Khedekar, P. B.; Bhusari, K. P. *Eur. J. Med. Chem.* **2009**, *44*, 3645. (d) Alam, O.; Khan, S. A.; Siddiqui, N.; Ahsan, W.; Verma, S. P.;
 - Gilani, S. J. Eur. J. Med. Chem. 2010, 45, 5113. (e) Sehon, C. A.; Wang, G. Z.; Viet,
 - A. Q.; Goodman, K. B.; Dowdell, S. E.; Elkins, P. A.; Semus, S. F.; Evans, C.; Jolivette, L. J.; Kirkpatrick, R. B.; Dul, E.; Khandekar, S. S.; Yi, T. Wright, L. L.; Smith, G. K.; Behm, D. J.; Bentley, R. J. Med. Chem. 2008, 51, 6631.
- **22.** Mokale, S. N, Shinde, S. S, Elgire, R. D, Sangshetti, J. N, Shinde, D. B, *Bioorganic & Medicinal Chemistry Letters*, **2010**, *20*, 4424–4426.
- 23. Kenny, B.; Ballard, S.; Blagg, J.; Fox, D. J. Med. Chem. 1997, 40, 1293.
- 24. Berry, S. J.; Coffey, D. S.; Walsh, P. C.; Ewing, L. L. J. Urol. 1984, 132, 474.
- **25.** Kirby, R. S.; Christmas, T. J. *Benign Prostatic Hyperplasia*. Gower Medical Publishing: London, **1993**. p 1.
- 26. Nagarathnam, D.; Miao, S.W.; Chiu, G.; Fang, J.; Lagu, B.; Murali, D.T.G.; Zhang, J.; Tyagarajan, S.; Marzabadi, M.R.; Zhang, F.; Wong, W.C.; Sun, W.; Tian, D.; Wetzel, J.M.; Forray, C.; Chang, R.S.L.; Broten, T.; Schorn, T.; Chen, T.B.; O'Malley, S.; Ransom, R.; Schneck, K.; Bendesky, R.; Harrel, C.M.; Gluchowski C., J. Med. Chem. 1999, 42, 4764.
- **27.** Roehrborn C.G., Oesterling J.E., Auerbach S., Kaplan S.A., Lloyd L.K., Milam D.F., Padley R.J. *Urology* **1996**, *47*, 159.
- 28. Lagu, B.; Tian, D.; Nagarathnam, D.; Marzabadi, M.R.; Wong, W.C.; Miao, S.W.; Zhang, F.; Sun, W.; Chiu, G.; Fang, J.; Forray, C.; Chang, R.S.L.; Ransom, R.; Chen, T.B.; O'Malley, S.; Zhang, K.; Vyas, K.P.; Gluchowski, C. *J. Med. Chem.* 1999, 42, 4794.
- 29. Lagu, B.; Tian, D.; Chiu, G.; Nagarathnam, D.; Fang, J.; Shen, Q.; Forray, C.; Ransom, R.; Chang, R.S.L.; Vyas, K.P.; Zhang, K.; Gluchowski, C. *Bioorg. Med. Chem. Lett.* 2000, 10, 175.
- 30. (a) Stefani, H. A.; Oliveira, C. B.; Almeida, R. B.; Pereira, C. M. P.; Braga, R. C.; Cella, R.; Borges, V. C.; Savegnago, L.; Nogueira, C. W. Eur. J. Med. Chem. 2006, 41, 513.
 (b) Ismaili, L.; Nadaradjane, A.; Nicod, L.; Guyon, C.; Xicluna, A.; Robert, J-F.; Refouvelet, B. Eur. J. Med. Chem. 2008, 43, 1270.

- **31.** Singh, B. K.; Mishra, M.; Saxena, N.; Yadav, G. P.; Maulik, P. R.; Sahoo, M. K.; Gaur, R. L.; Murthy, P. K.; Tripathi, R. P. *Eur. J. Med. Chem.* **2008**, *43*, 2717.
- Chitra, S.; Devanathan, D.; Pandiarajan, K. Eur. J. Med. Chem. 2010, 45, 367. (b)
 Deshmukh, M. B.; Salunkhe, S. M.; Patil, D. R.; Anbhule, P. V. Eur. J. Med. Chem.
 2009, 44, 2651 (c) Kidwai, M.; Saxena, S.; Khan, M. K. R.; Thukral, S. S. Eur. J. Med. Chem.
 Chem. 2005, 40, 816. (d) Ashok, M.; Holla, B. S.; Kumari, N. S. Eur. J. Med. Chem.
 2007, 42, 380.
- 33. Chiang, A. N.; Valderramos, J-C.; Balachandran, R.; Chovatiya, R. J.; Mead, B. P.; chneider, C.; Bell, S. L.; Klein, M. G.; Huryn, D. M.; Chen, X. S.; Day, B. W.; Fidock, D. A.; Wipf, P.; Brodsky, J. L. *Bioorg. Med. Chem.* 2009, 17, 1527.
 - **34.** Zhu X, Zhao G, Zhou X, Xu X, Xia G, Zheng Z, Wang L, Yang X, Li S, *Bioorganic & Medicinal Chemistry Letters*, **2010**, 20, 299.
- **35.** Syamala, M.; Org. Prep. Proced. Int., **2005**, *37*, 103.
- 36. Jin, T. S.; Zhang, S. L.; Guo, J. J.; Li, T. S. J. Chem. Res., (S), 2002, 37.
- **37.** Peyman, S.; Minoo, D.; Mohammad Ali Z. and Mohammad Ali B. F. *Tetrahedron Letters*, **2003**, *44*, 2889.
- **38.** Chen, W. Y.; Quin, S. D.; Jin, J. R. Catalysis commun. **2007**, *8*, 123.
- 39. Yu, Y.; Liu, D.; Liu, C. and Luo, G. Bioorg. Med. Chem. Lett., 2007, 17, 3508.
- 40. Shobha, D.; Adharvana Chari, M.; Ahn, K.H. Chinese Chemical Letters, 2009, 20,1059.
- **41.** Akshay, M. P.; Mahesh, M. S.; Chirag, V. B.; Jyoti, S. and Yogesh, T. N. *General Papers ARKIVOC*, **2009**, *vii*, 79.
- **42.** Sagar, A. D.; Reddy, S. M.; Pulle, J. S.; Yadav, M. V. J. Chem. Pharm. **2011**, 6, 649.
- **43.** Heravi, M. M.; Bakhtiari, K.; Bamoharram, F. F. Catalysis Communications, **2006**, 7,373.
- **44.** Salehi, H.; S. Kakaei1, S.; Ahmadi, S.J.; Firooz Zareh, M.A.; Sadat Kiai, S.M.; Pakoyan, H. R. and Tajik Ahmadi, H. *Journal of Applied Chemical Researches*, **2010**, *4*, 14.
- **45.** Bigdeli, M. A.; Gholami, G.; Sheikhhosseini, E. Chinese Chemical Letters, **2011**, 22,903.
- **46.** Lu, J.; Bai, Y. Synthesis, **2002**, 466.
- **47.** Fu, N. Y.; Yuan, Y. F.; Pang, M. L.; Wang, J. T.; Peppe, C. *J. Organomet. Chem.* **2003**, 672, 52.
- **48.** Sabitha, G.; Reddy, G. S. K. K.; Reddy, K. B.; Yadav, J. S. *Tetrahedron Lett.* **2003**, *44*, 6497.
- **49.** Misra, A. K.; Agnihotri, G.; Madhusudan, S. K. *Indian J. Chem.* **2004**, *43B*, 2018.

. المراجـــع

- 50. Venkat Narsaiah, A.; Basak, A. K.; Nagaiah, K. Synthesis, 2004, 1253.
- **51.** Sun, Q.; Wang, Y.; Ge, Z.; Cheng, T.; Li, R. Synthesis, **2004**, 1047.
- **52.** De, S. K.; Gibbs, R. A. Synthesis, **2005**, 1748.
- 53. Zhang, G. L.; Cai, X. H. Synth. Commun. 2005, 35, 829.
- **54.** Cepanec, I.; Litvic, M.; Filipan-Litvic, M.; Grüngold, I. *Tetrahedron*, **2007**, *63*, 11822.
- **55.** Glasnov T.N.; Tye, H.; Kappe, C. O. *Tetrahedron*, **2008**, *64*, 2035.
- **56.** Valizadeh, H.; Gholipur, H.; Zarrebin, R.; Amiri, M.; Sabzi, M. R. *Phosphorus Sulfur Silicon Relat. Elem.* **2008**, *183*, 1552.
- **57.** Ramalingan, C.; Kwak, Y. W. *Tetrahedron*, **2008**, *64*, 5023.
- **58.** Zhang, H.; Zhou, Z.; Yao, Z.; Xu, F.; Shen, Q. *Tetrahedron Lett.* **2009**, *50*, 1622.
- **59.** Zych, A. J.; Wang, H. J.; Sakwa, S. A. *Tetrahedron Lett.* **2010**, *51*, 5103.
- **60.** Aghayan, M. M.; Moradi, A.; Bolourtchian, M. J. Iran. Chem. Soc. **2010**, 7, 269.
- **61.** Majd, M. M.; Saidi, K.; Khabazzadeh, H. *Phosphorus Sulfur Silicon Relat. Elem.* **2010**, 185, 325.
- **62.** Venkateshwar Reddy, Ch. Mahesh, M. Raju, P. V. K. Ramesh Babu, T. Narayana Reddy, V. V. *Tetrahedron Lett.* **2002**, *43*, 2658.
- 63. Zhu, Y.; Pan, Y. and Huang, S. Synth. Commun., 2004, 34, 3167.
- **64.** Saini, A.; Kumar S. and Sandhu, J. S.; *Indian. J. Chem.*, **2006**, 45B, 684.
- 65. Kumar, S.; Saini, A.; Sandhu, J. S. Indian J. Chem. 2005, 44B, 762.
- **66.** Han, X.; Xu, F.; Luo, Y.; Shen Q., Eur. J. Org. Chem. **2005**, 1500.
- **67.** Ahmed, N.; Van Lier, J. E. *Tetrahedron Lett.* **2007**, *48*, 5407.
- **68.** Chitra, S.; Pandiarajan, K. *Tetrahedron Lett.* **2009**, *50*, 2222.
- 69. Chitra, S. and Durairaj Devanathan, D. Arch. Appl. Sci. Res., 2012, 4, 1716.
- **70.** Dondoni, A., et. al. Tet. Lett. **2001**, 43, 5913.
- 71. Paraskar, A.S.; Dewkar, G. K.; Sudalai, A. Tetrahedron Lett. 2003, 44, 3305.
- **72.** Shirini, F.; Marjani, K.; Nahzomi, H. T. *Arkivoc* **2007**, (*i*), 51.
- **73.** Niknam, K.; Zolfigol, M. A.; Hossieninejad, Z.; Daneshvar, N. *Chinese Journal of Catalysis*, **2007**, *7*, 591.
- **74.** Boumoud, T.; Boumoud, B.; Rhouati, S.; Belfaitah, A.; Debache, A.; Mosset, P.E. J. *Chem.*, **2008**, *5*, 688.
- **75.** Liu, Ch. J. and Wang, J. D. J. Molecules, **2009**, 14, 763.
- **76.** Yadav, J. S.; Reddy, B. V. S.; Srinivas, R.; C. Venugopal, *T. Ramalingam Synthesis*, **2001**, *9*, 1341.
- 77. Jing, X.; Li, Z.; Pan, X.; Shi, Y.; Yan, C. J. Iran. Chem. Soc. 2009, 6, 514.

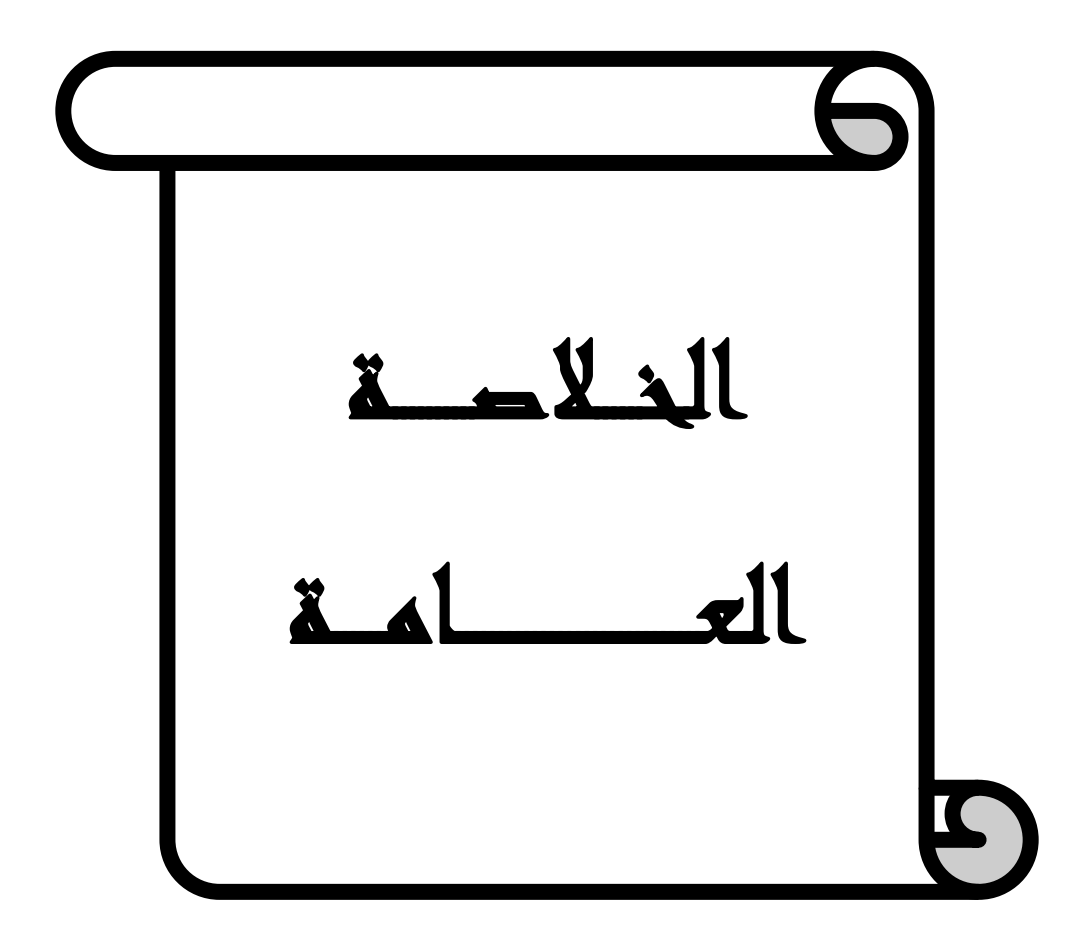
- 78. Karamat, A.; Khan, M. A. and Sharif, A. J. Chin. Chem. Soc., 2010, 57, 1099.
- **79.** Gedye, R.; Smith, F.; Westaway, K.; Ali, H.; Baldisera, L.; Laberge, L.; Rousell, J. Tetrahedron Lett. **1986**, 27, 279.
- **80.** Giguere, R. J.; Bray, T. L.; Duncan, S. M.; Majetich, G. *Tetrahedron Lett.* **1986**, 27, 4945.
- 81. Kidwai, M.; Saxena, S.; Khan, M. K. R.; Thukral, S.S. European Journal of Medicinal Chemistry, 2005, 40, 816.
- 82. Pasunooti, K. K.; Chai, H.; Jensen, C. N.; Gorityala, B. K.; Wang, S.; Liu, X.W. Tetrahedron Lett. 2011, 52, 80.
- 83. Jain, S.; Paliwal, P.; Bhatewara, A.; Jetti, R. S.; Kadre, T. Scholars Research Library, 2012, 2, 988.
- 84. (a) Ranu, B.C.; Hajra, A.; Dey, S.S. Organic Process Research & Development 2002, 6(6), 817; (b) Kidwai, M.; Saxena, S.; Mohan, R.; Venkataramanan, R. J. Chem Soc., Perkin Transactions 1, 2002, 16, 1845; (d) Ma, Y.; Qian, Ch.; Wang, L.; Yang, M. J. Org. Chem. 2000, 65(12), 3864; (e) Subhas Bose, D.; Madapa Sudharshan, Sanjay W. Chavhan. ARKIVOC, 2005 (iii) 228; (f) Deyanira Angeles-Beltrán 1, Leticia Lomas-Romero 2, Victor H. Lara-Corona 2, Eduardo González-Zamora 2 and Guillermo Negrón-Silva 1, Molecules 2006, 11, 731.
- 85. Wipf, P.; Cunningham, a. Tetrahedron Lett. 1995, 36, 7819.
- **86.** Valverde, M. G.; Dallinger, D.; Kappe, C. O. *Synlett.* **2001**, *6*, 741.
- **87.** Sabitha, G.; Reddy, K.B.; Yadav, J.S.; Shailaja, D.; Sivudu, K.S. *Tetrahedron Lett.*, **2005**, *46*, 8221.
- 88. Jetti, S. R.; Verma, D. and Jain, S. ISRN Organic Chemistry, 2012, 10, 480989.
- **89.** Polshettiwar, V.; Varma, R.S. *Tetrahedron Lett.*, **2007**, *48*, 7343.
- 90. Wassercheid, P.; Keim, W. Angew. Chem., Int. Ed. Engl., 2000, 39, 3772.
- **91.** Peng, J.; Deng, Y. *Tetrahedron Lett.* **2001**, *42*, 5917.
- 92. Dadhania, N. A.; Patel, K. V.; Raval, K. D. J. Chem. Sci. 2012, 4, 921.
- **93.** Hantzsch, A. *Justus Liebigs Ann. Chem.* **1882**, *215*, 1.
- **94.** Bossert, F.; Vater, W. *Naturwissinschaften* **1971**, *58*, *578*.
- **95.** Dorosz, P. "guide pratique des médicaments", 23e Edition, Ed Maloine, Paris, **2003**, 390.
- **96.** Triggle, D. J. *Cell. Mol. Neurobiol.* **2003**, *23*, 293-303. Pour revoir une étude de structure-activité, voir: Goldmann, S.; Stoltefuss, J. *Angew. Chem., Int. Ed.* **1991**, *30*, 1559.

- 97. Schleifer, K. J. J. Med. Chem. 1999, 42, 2204.
- **98.** (a) Campiani, G.; Garofalo, A.; Fiorini, I.; Botta, M.; Nacci, V.; Tafi, A.; Chiarini, A.; Budriesi, R.; Bruni, G.; Romeo, M. R. *J. Med. Chem.* **1995**, *38*, 4393. (b) R. Budriesi, *Bioorg. Med. Chem.* **2005**, *13*, 3423.
- 99. Marco-Contelles, J.; Leon, R.; de los Ríos, C.; Guglietta, A.; Terencio, J.; Ló pez, M. G.; García, A. G.; Villarroya, M. *J. Med. Chem.* 2006, 49, 7607.
- 100. Leó n, R.; Marco-Contelles, J.; García, A. G.; Villarroya, M. *Bioorg. Med. Chem.* 2005, 13, 1167.
- **101.** Hadizadeh, F.; Hassanabad, M. F.; Golabadi, B. B.; Mohammadi, M. *bol-chim-pharm*, **2005**, *144*, 1.
- **102.** Babaei, H.; Ebrahimi, F.; Mojarrad, J. S.; Azarmi, Y.; Gharehbagheri, A. *Advanced Pharmaceutical Bulletin*, **2011**, *1*, 10.
- **103.** Tirzitis, G.; Tirzitis, D. and Hyonen, Z. *Czech.J.Food Sci*, **2001**, *19*(*3*), 81.
- **104.** Elumalai K.; Ali, M. A.; Elumalai, M.; Eluri, K.; Sivanesvari; Rajeshwer, V.; Mohanthi, S. K. Kaleru, P.; Murthy V. and Durraivel. S. *Journal of Chemical and Pharmaceutical Research*, **2012**, *4*, 3139.
- **105.** Subudhi, B. B.; Panda, P. K.; Swain, S. P. and Sarangi, P. *Acta Poloniae Pharmaceutica Drug Research*, **2009**, *66*, 147.
- 106. Kumar, R.S.; Idhayadhulla, A.; Nasser A. J. A. And Selvin , J. J. Serb. Chem. Soc., 2011, 76, 1.
- **107.** Mishra, B. and Mishra, R. *The Pharmacist*, **2007**, 2, 13.
- **108.** Fassihi, A.; Azadpour, Z.; Delbari, N.; Saghaie, L.; Memarian, H. R.; Sabet, R; Alborzi, A.; Miri, R.; Pourabbas, B.; Mardaneh, J.; Mousavi, P.; Moeinifard, B.; Sadeghi-aliabadi, H.; *Eur. J. Med. Chem.* **2009**, *44*, 3253.
- **109.** Adude, R. N.; Tigote, R. M.; Goswami S. V. and Bhusare, S. R. *Advances in Difference Equations*, **2012**, *3*, 6.
- 110. Yadav, D. K.; Patel, R.; Srivastava, V. P.; Watal, G.; Yadav, L. D. S. Chin. J. Chem.2011, 29, 118.
- 111. Venkateswarlu, Y.; Ramesh Kumar, S.; Leelavathi, P. *International Journal of Industrial Chemistry*, 2012, 3, 18
- **112.** Donelson, J.L; Gibbs, R.A; De,S.K.J. Mol. Catalysis A: Chem., **2006**, 256, 309.
- **113.** Adibi, H.; Samimi, H.A; Beygzadeh, M. Cata. Commun., **2007**, 8, 2119.
- **114.** (a) Ko, S.; Yao, C.F. *Tetrahedron*, **2006**, *62*, 7293. (b) Kidwani, M.; Mohan, R. *Can. J. Chem.*, **2004**, *82*, 427. (c) Eynde, J.J.V.; Mayence, A. *Molecules*, **2003**, *8*, 381.

- **115.** Bartoli, G.; Babiuch, K.; Bosco, M.; Carlone, A.; Galzerano, P.; Melchiorre, P.; Sambri, L. *Synlett*, **2007**, 2897.
- 116. Tewari, N.; Dwivedi, N.; Tripathi, R. P. Tetrahedron Lett. 2004, 45, 9011.
- **117.** Debache, A.; Boulcina, R.; Belfaitah, A.; Rhouati, S.; Carboni, B. *Syn. Lett.* **2008**, *4*, 509.
- 118. Akbari, J. D.; Tala, S. D.; Daduk, M. F.; Joshi, H. S. Arkivoc, 2008, XII, 126.
- **119.** (a) Balalae, S.; Kowsari, E. *Monatsh. Chem.* **2001**, *12*, 1551. (b) Agarval, A.; Chauhan, P. M. S. *Tetrahedron Lett.* **2005**, *46*, 1345. (c) Kotharkar, S. A.; Shinde, D. B. *Ukr. Bioorg. Acta* **2006**, *1*, 3.
- 120. Adharvana Chari, M.; Syamasundar, K. Cata. Commun. 2005, 6, 624.
- **121.** Li, M.; Guo, W. S.; Wen, L. R.; Li, Y. F.; Yang, H. Z. *J. Mol. Catal. A: Chem.* **2006**, 258, 133.
- **122.** Avalani, J. R.; Patel, D. S. and Raval, D. K. J. Chem. Sci. **2012**, 124, 1091.
- 123. Holmes, S. M.; Mckinley, S. G. and G. S. Girolami. *Inorganic Syntheses*, 2002, 33, 91.
- 124. Hu, E.H; Silder, D.R.; Dolling, U.H. J. Org. Chem. 1998, 63, 3454.
- **125.** Chandran, R.; Uma, R.; Kalaipriya, M.;Radhakrishnan, S. and Seeram, R. *ISRN Organic Chemistry*, **2011**, 2011, 273136.
- 126. Gopalakrishnan, A. and Yeon, T. J. Bull. Korean Chem. Soc. 2010, 31, 863.
- **127.** Kalita, H.R.; Pukhan, P. Cat. *Comm.* **2007**, *8*, 179.
- 128. Slimi, H.; Moussaoui, Y.; ben Salem, R. Arabian Journal of Chemistry, 2011.
- **129.** Adharvana Chari, M.; Shobha, D.; Kiran Kumar, T. and Dubey, P. K. *ARKIVOC*, **2005**, *xv*, 74.
- 130. Wang, M.; Jiang, H.; Wang, Z. J. Chem. Res., Synop. 2005, 691.
- **131.** Salehi, H.H.; Guo, Q.-X.; Synth Commun. **2004**, *34*, 171.
- 132. Salehi, P.; Dabiri, M.; Zolfigol, M. A.; Bodaghi Fard, M. A. Tetrahedron Lett. 2003, 44, 2889.
- **133.** Yarim, M.; Sarac, S.; Ertan, M.; Babu, O. *Il Farmaco*, **1999**, *54*, 359.
- **134.** Eynde, J. J. V.; Delfosse, F.; Mayence, A.; Haverbeke, Y. V. *Tetrahedron* **1995**, *51*, 6511.
- **135.** Sabitha, G.; Arundhathi, K.; Sudhakar, K.; Sastry, B. S.; Yadav, J. S.; *Synth. Commun.* **2009**, *39*, 2843.
- **136.** Zonouz, A. M. and Sahranavard, N. E-Journal of Chemistry, **2010**, 7(S1), S372.

المراجع

- 137. Alizadeh, A.; Rostamnia, S. Paper Synthesis, 2010, 23, 4057.
- **138.** Rafiee, E.; Eavani, S.; Rashidzadeh, S.; Joshaghani, M.; *Inorg. Chim. Acta* **2009**, *362*, 3555.



الخلاصة العامــة

الخلاصة العامة

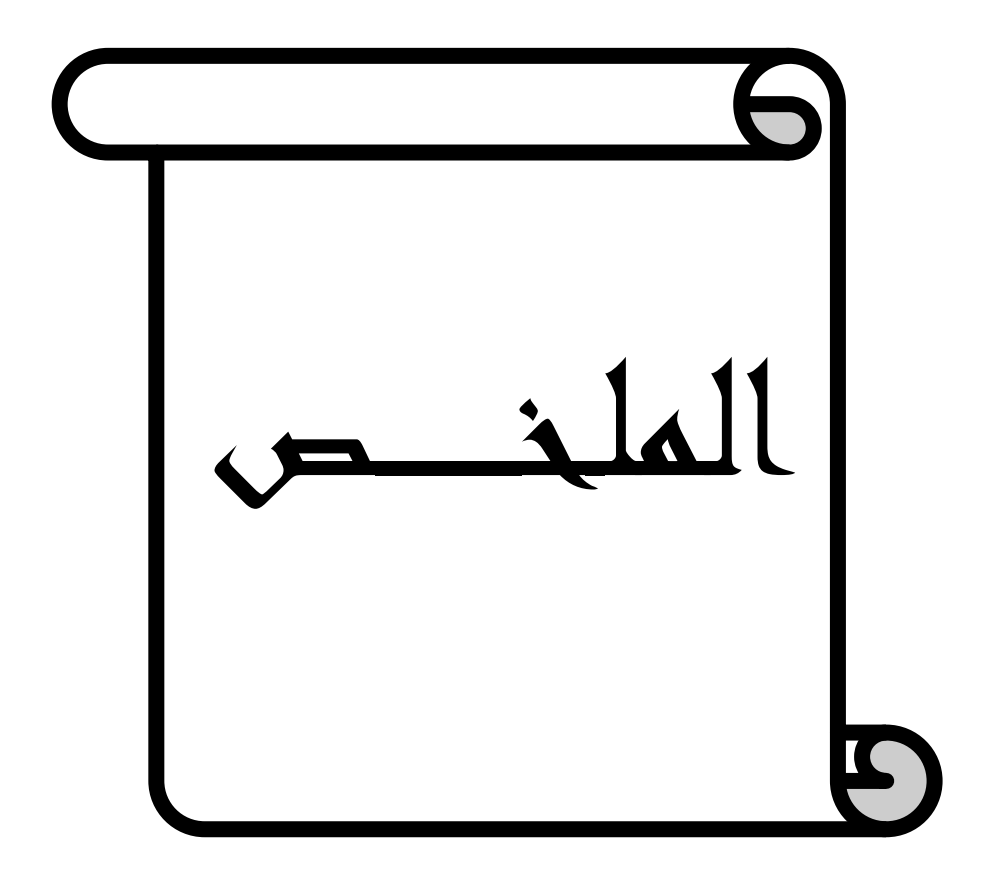
إن العمل المقدم في هذه الأطروحة يندرج ضمن المساهمة في دراسة تفاعلات متعددة المركبات التي عرفت تطورا سريعا في السنوات الأخيرة. حيث تسمح هذه التفاعلات بالحصول في خطوة واحدة على مركبات ذات تنوع جزيئي وفعالية بيولوجية عالية.

فقد تمكنا من خلال هذه الأطروحة من تطوير طريقة بسيطة، سهلة وغير مكلفة وغير مكلفة وغير ملوثة للبيئة لتفاعل Biginelli وهذا باستخدام توزيلات النحاس كمحفز جديد لتصنيع مركبات 4،3- ثنائي هيدروبيريميدينون وقد توصلنا لتحضير 14 مركب بمردود جيد في زمن تفاعل قصير.

ونظرا لهذه النتائج الجيدة والتشابه الكبير بين تفاعل Biginelli و ونظرا لهذه النتائج الجيدة والتشابه الكبير بين تفاعل Hantzsch قمنا باختبار فعالية Cu(OTs)₂ على هذا الأخير. حيث كانت هذه النتائج جد محفزة من حيث المردود وزمن التفاعل، وقد تمكنا من تحضير 9 مركبات من مشتقات 4،1- ثنائي هيدروبيريدين.

تم التأكد من البنية الكيميائية للمركبات المحضرة واثبات بنيتها بواسطة وسائل التحليل الطيفي المعروفة IR · RMN¹³C · RMN¹H.

واستكملا لعملنا هذا، سنحاول دراسة الفعالية البيولوجية لبعض المركبات المحضرة DHP و DHPM.



الماخص

الملخص

تعد التفاعلات متعددة المركبات إحدى أهم الطرق المستعملة في التصنيع العضوي كونها تسمح بالتحضير السريع لبنيات جزيئية معقدة انطلاقا من متفاعلات أولية بسيطة.

- ونجد من بين هذه التفاعلات كل من تكاثف Biginelli و Hantzsch اللذان يسمحان بالحصول على حلقات غير متجانسة آزوتية من نوع 4،3 ثنائي هيدروبيريميدين المعروفة بتعدد نشاطاتها البيولوجية.

خلال هذا العمل، قمنا بتطوير طريقة بسيطة وفعالة لتفاعلات Biginelli و Hantzsch حيث تعتمد هذه الطريقة على استعمال توزيلات النحاس كمحفز غير ملوث وغير مكلف في ظروف معتدلة نسبيا دون احتياطات خاصة.

تم التعرف على بنية المركبات المحضرة بواسطة وسائل التحليل الطيفي $RMN^{13}C$ $RMN^{1}H$).

الكلمات المفتاحية:

تفاعــــل Biginelli ،تفاعــــل Hantzsch ، ثنــــائي هيدروبيريميــــدينون، 4،1- ثنـــائي هيدروبيريدين، توزيلات النحاس.

Résumé

Les réactions multicomposant constituent l'un des outils les plus important de la synthèse organique car des structures complexes sont rapidement obtenues à partir de substrats très simples. Parmi ces réactions on trouve les condensations de Biginelli et Hantzsch qui permettent l'accès à des hétérocycles azoté de type 3,4-dihydropyrimidone et 1,4- dihydropyridine connus pour leurs diverses activités biologiques.

Au cours de ce travail nous avons développé, une méthode simple et efficace pour les réactions de Biginelli et Hantzch. Notre approche de synthèse est basée sur l'utilisation du tosylate de cuivre comme catalyseur non polluant et peu couteux dans des conditions relativement douces et sans précautions particulières. Les produits sont obtenus avec de bons rendements.

Tous les hétérocycles synthétisés ont été identifiés par analyse spectroscopiques (RMN1H, RMN13C et IR).

Mots clé : Réaction de Biginelli, Réaction de Hantzsch, 3,4- Dihydropyridine, Tosylate de cuivre.

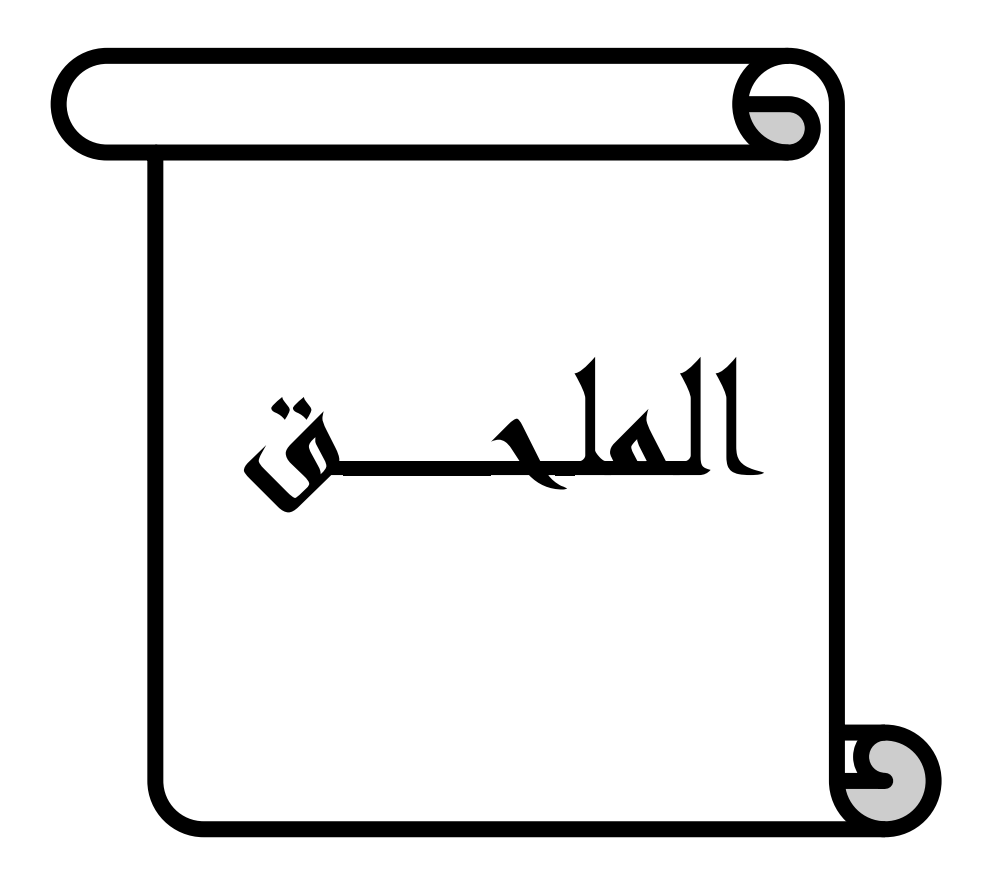
Abstract

The multicomponent reactions are one of the most important organic synthesis tools because complex structures are readily obtained from simple substrates. Among these reactions we find the Biginelli and Hantzsch condensations that allow access to nitrogen heterocycles like 3,4-dihydropyrimidinone and 1,4-dihydropyridine types known for their various biological activities.

In this work we have developed a simple and efficient method of Biginelli and Hantzch reactions. Our approach is based on the use of copper tosylate as a non-polluting, and inexpensive catalyst under relatively mild conditions and without special precautions. The products are generally obtained in good yields.

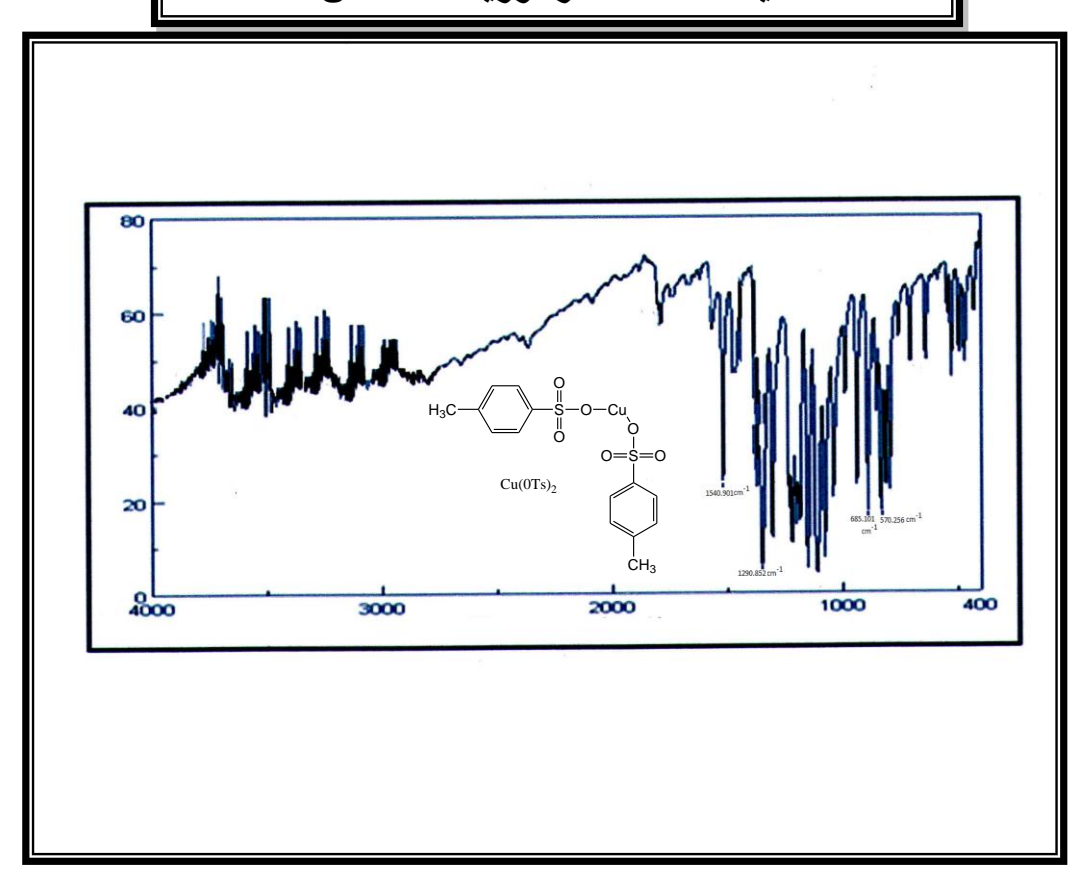
All synthesized heterocycles are identified by the spectroscopic analysis (NMR ¹H, NMR ¹³C and IR).

<u>Keywords</u>: Biginelli reaction; Hantzsch reaction; 3,4-Dihydropyrimidones; 1,4-Dihydropyridine; copper Tosylate.

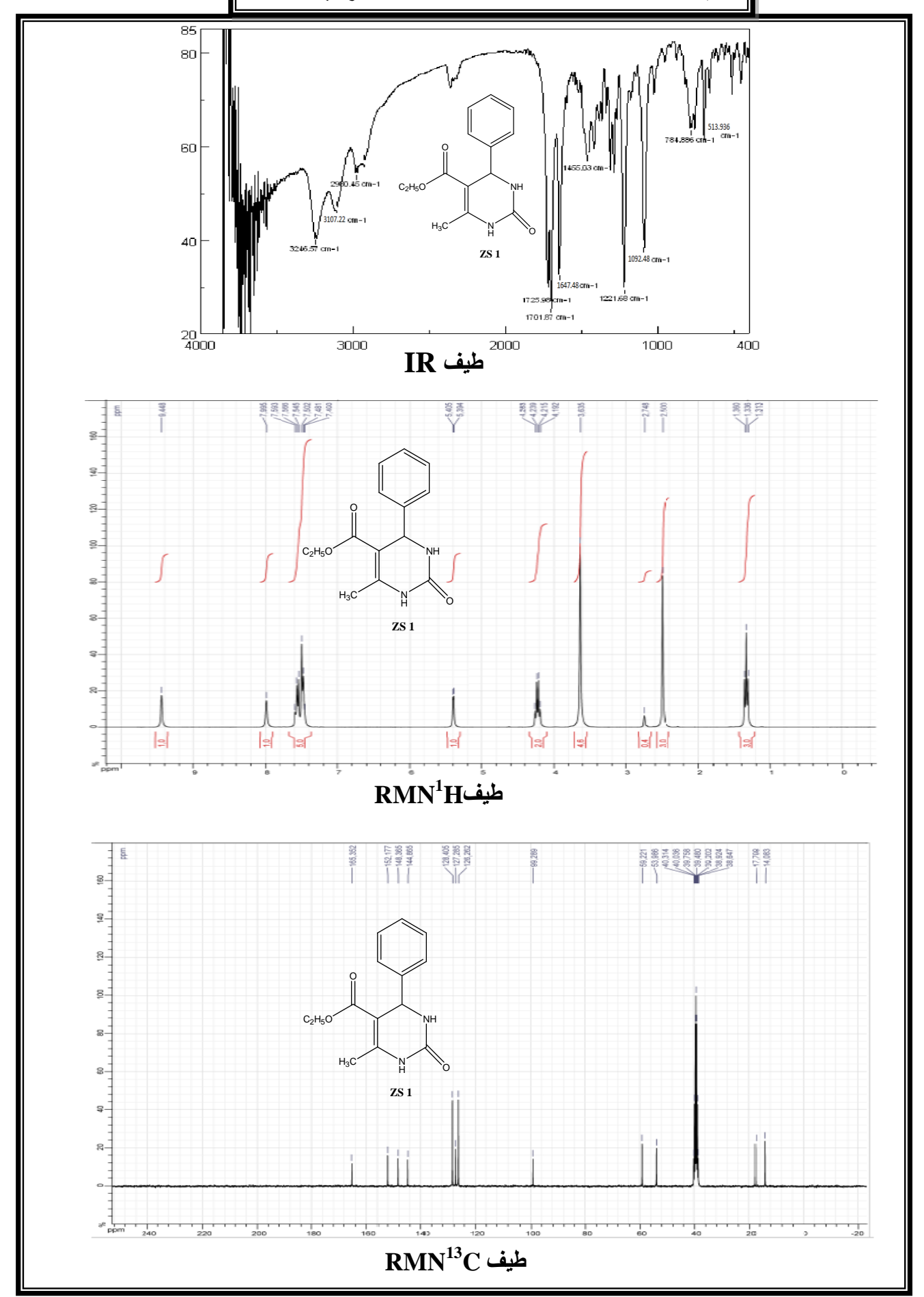


_____ الملحق

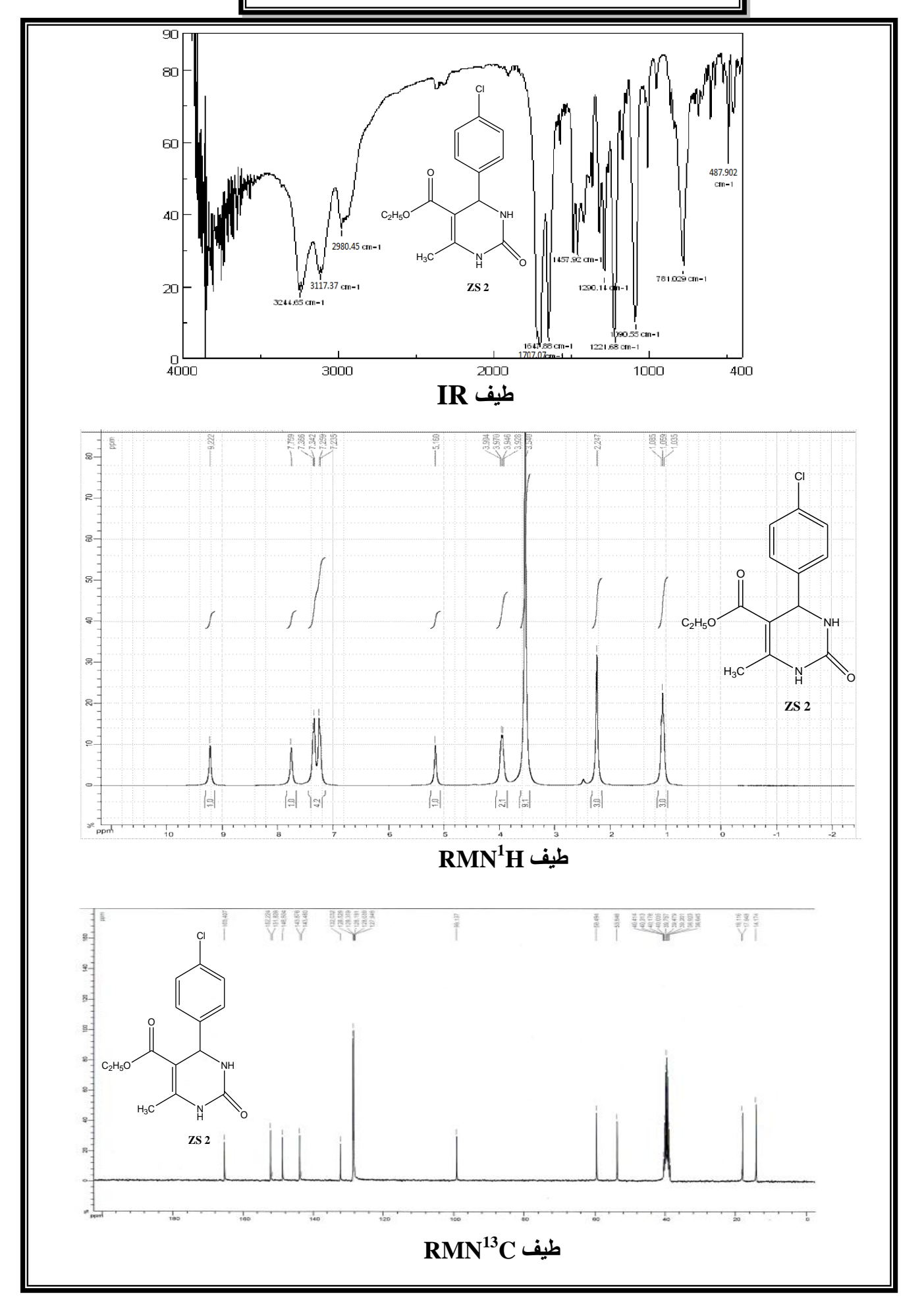
طيف IR للمحفز توزيلات النحاس



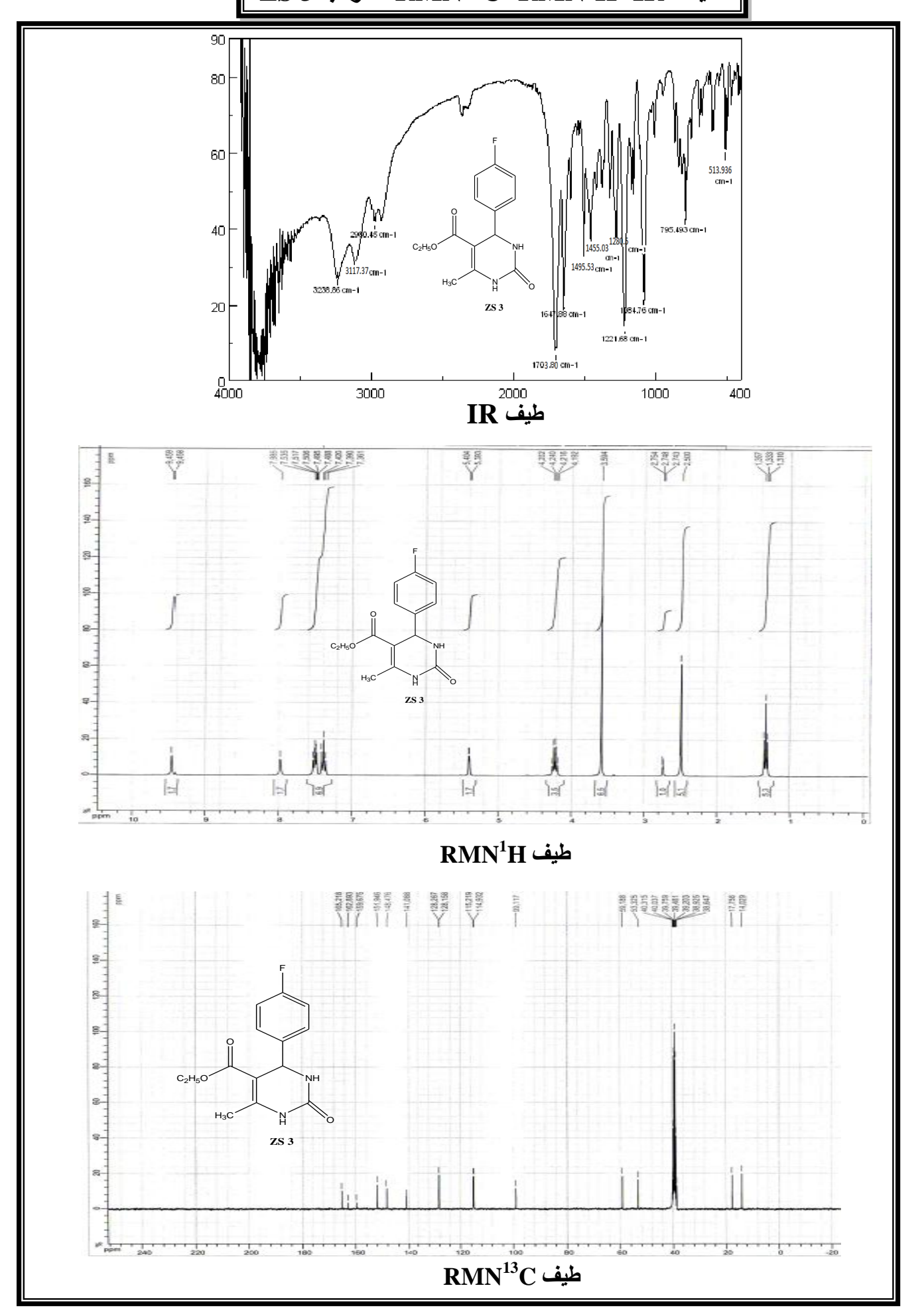
ZS 1 للمركب RMN¹³C ،RMN¹H ،IR المركب

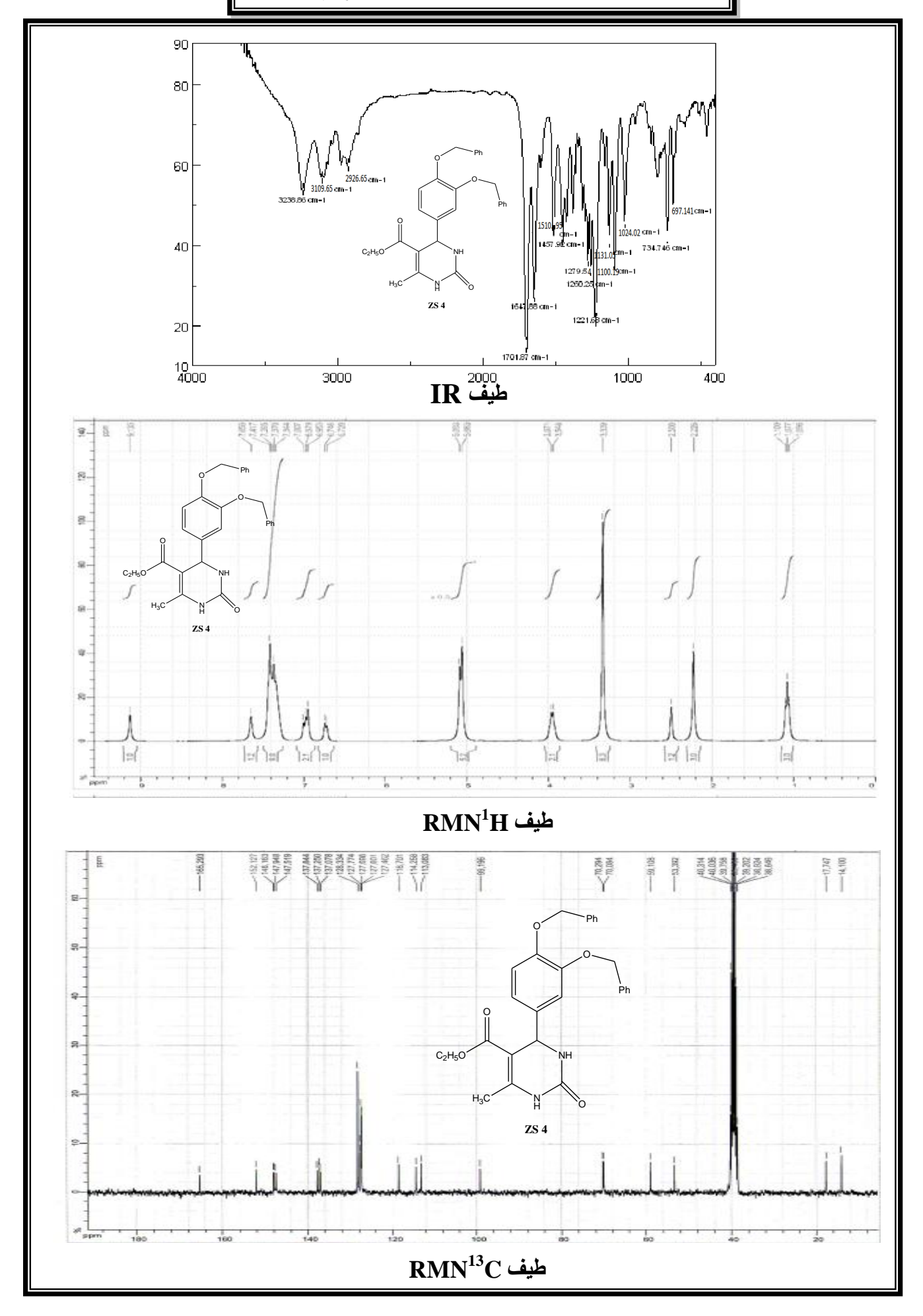


$\overline{ m ZS}$ كا $\overline{ m RMN}^{13}{ m C}$ $^{13}{ m C}$ $^{13}{ m H}$ للمركب

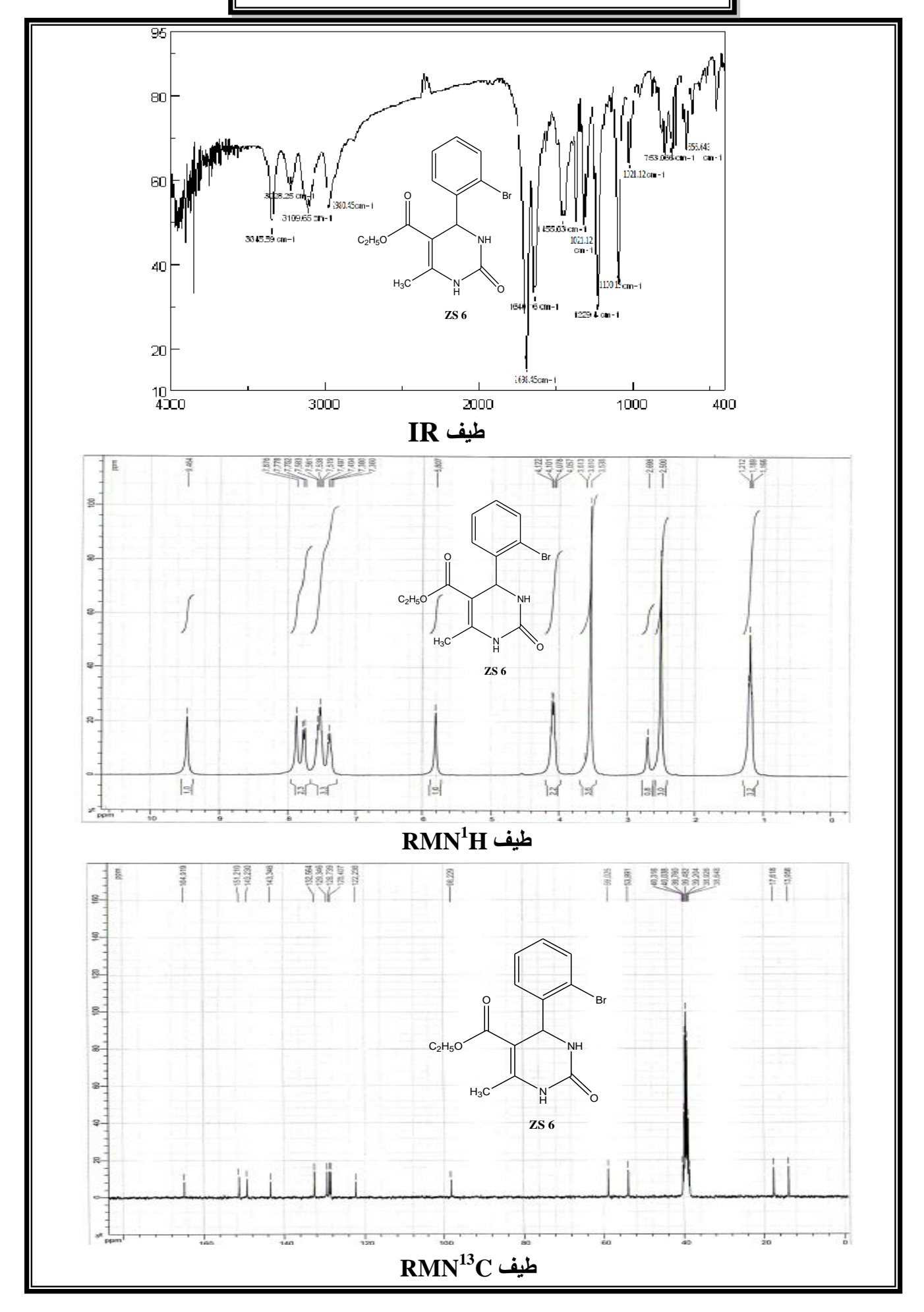


${ m ZS}$ المركب ${ m RMN}^{13}{ m C}$ ، ${ m RMN}^{1}{ m H}$ ، ${ m IR}$ المركب

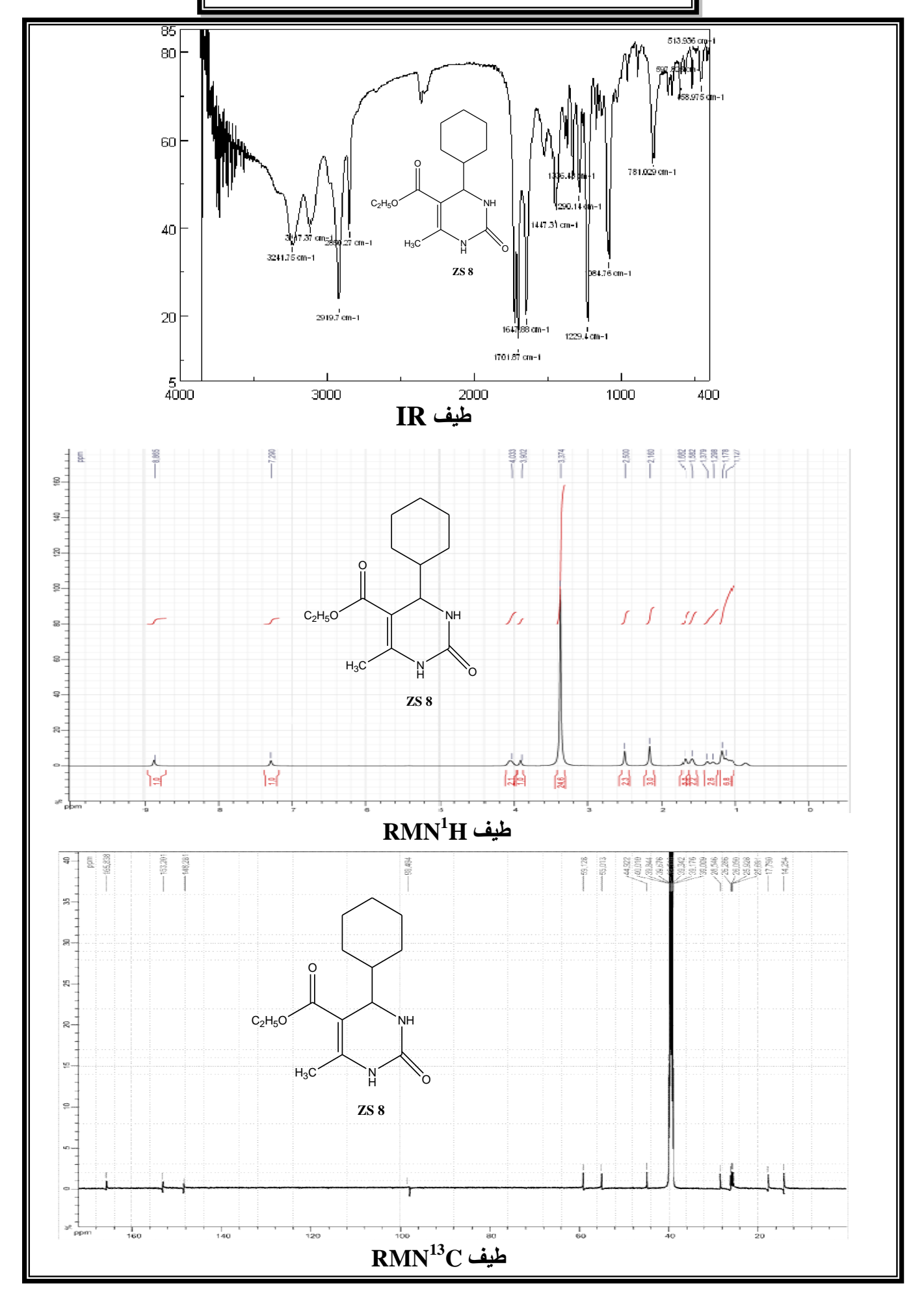


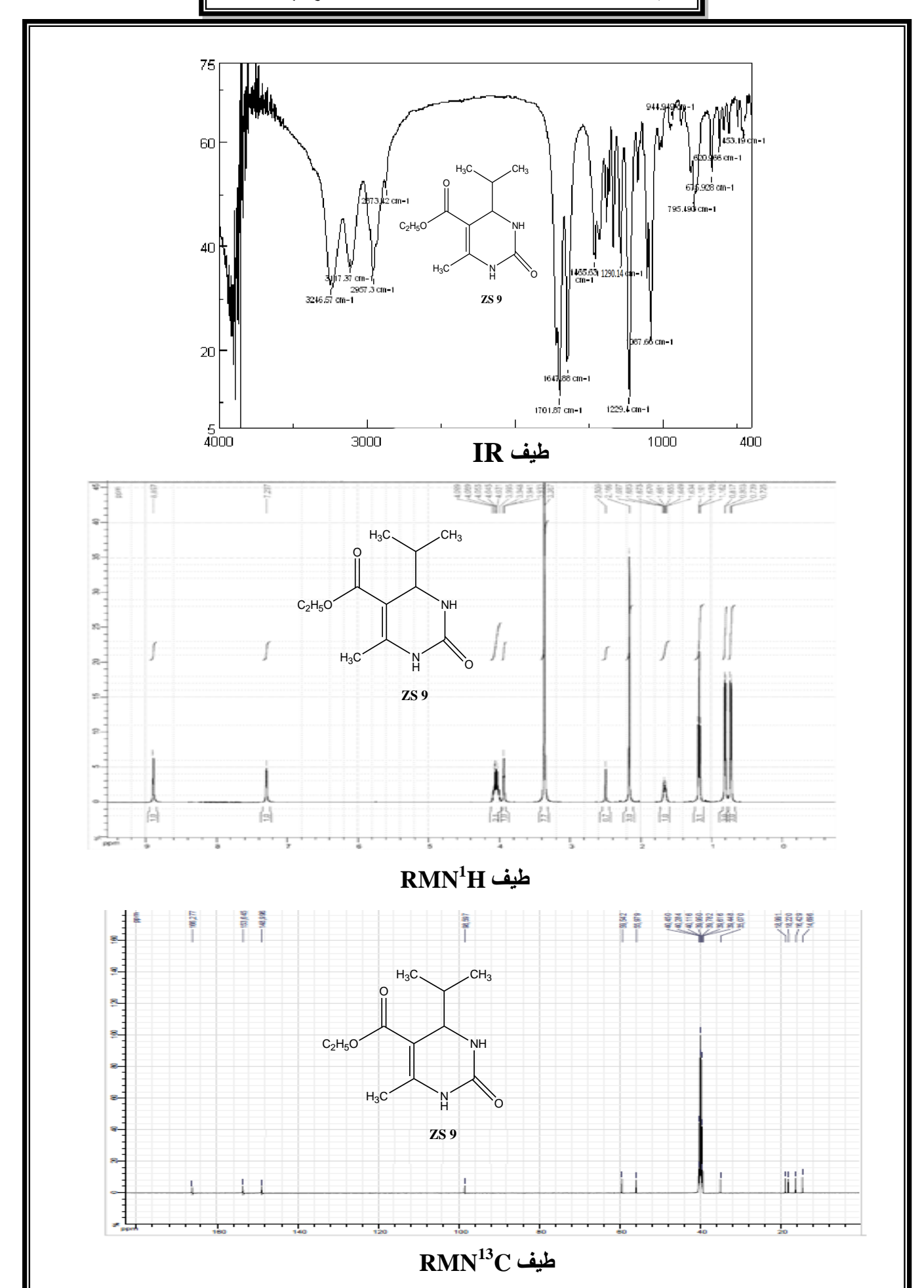


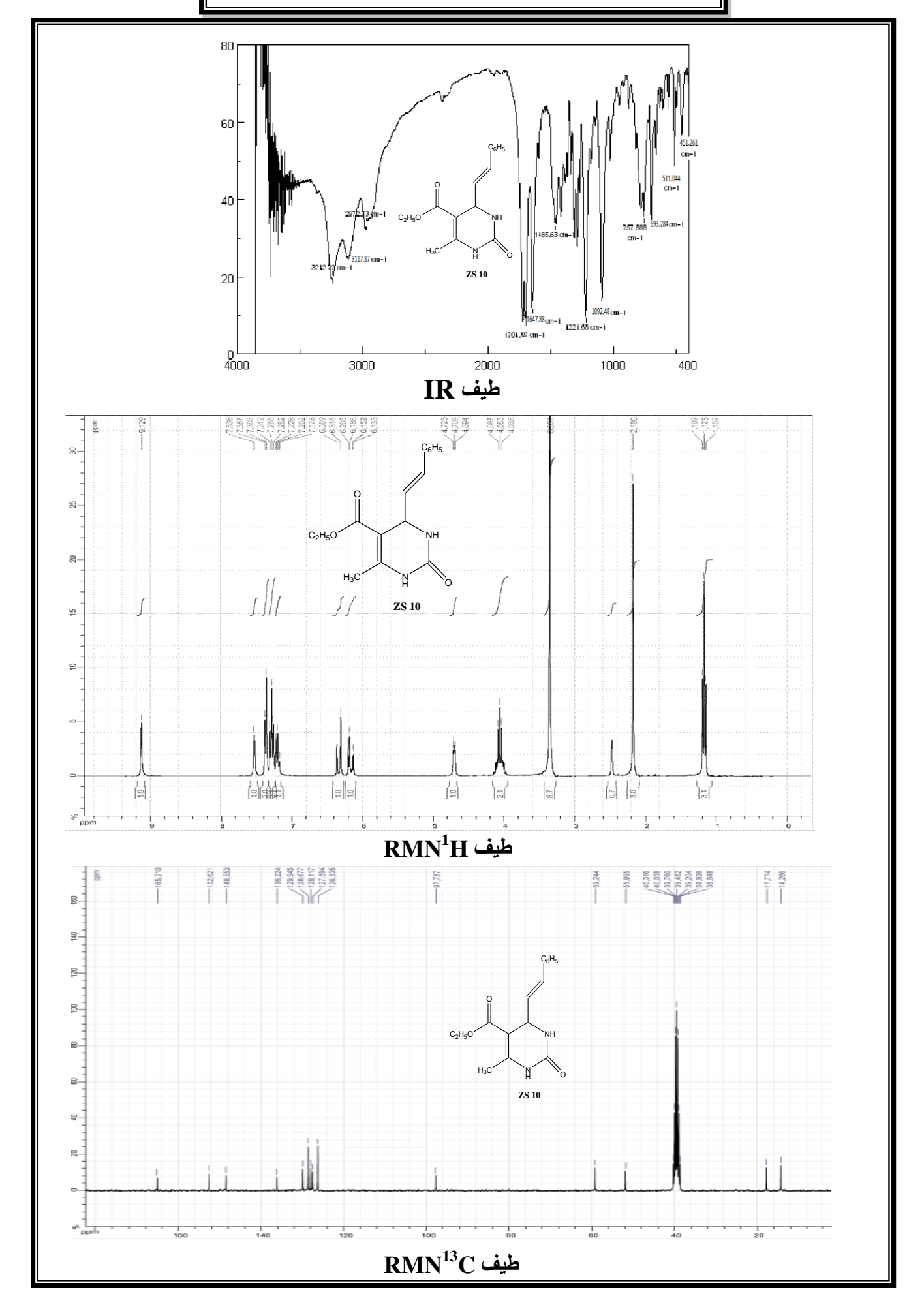
$\overline{ ext{ZS } 6}$ للمركب $\overline{ ext{RMN}^{13} ext{C}}$ الطياف

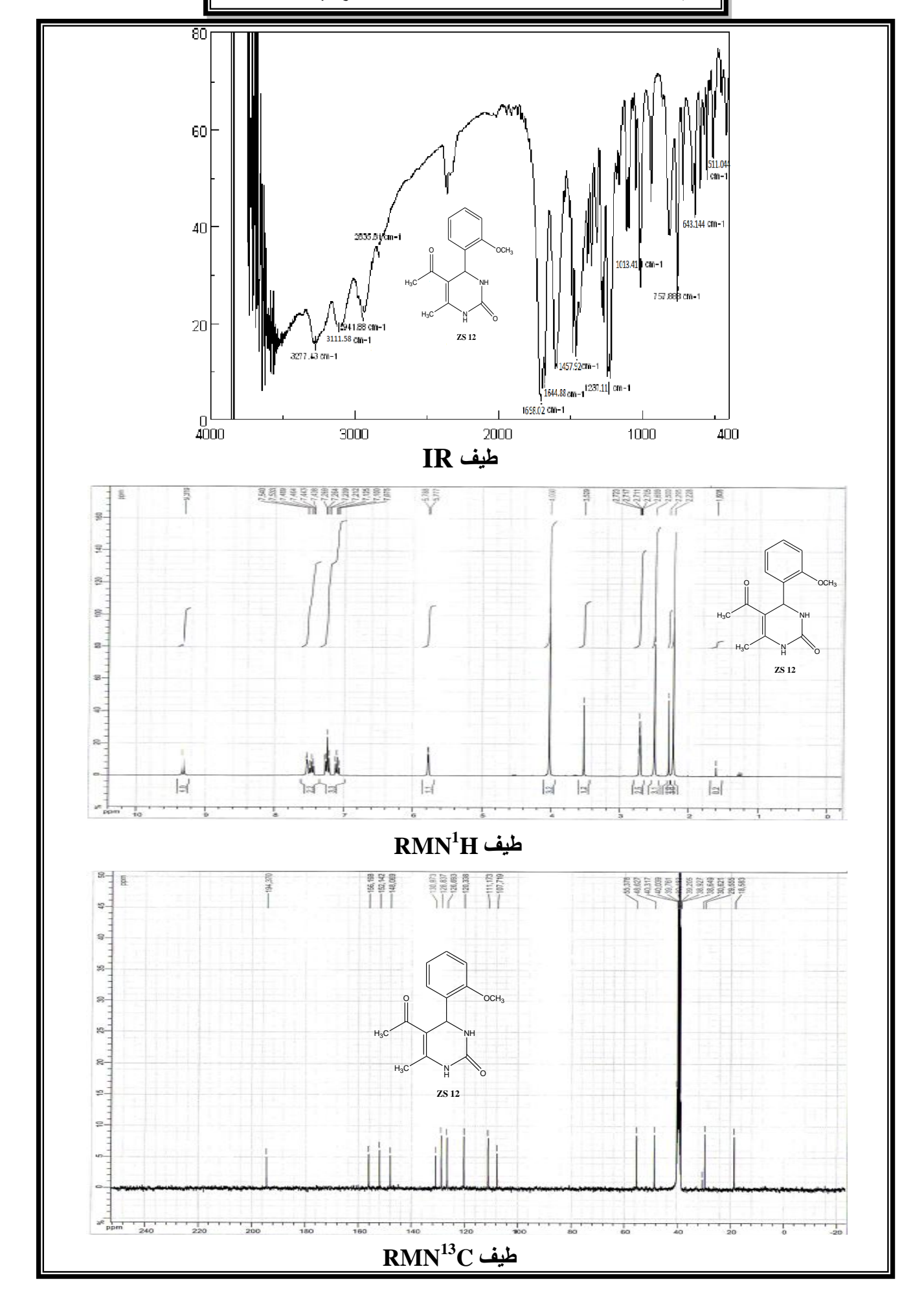


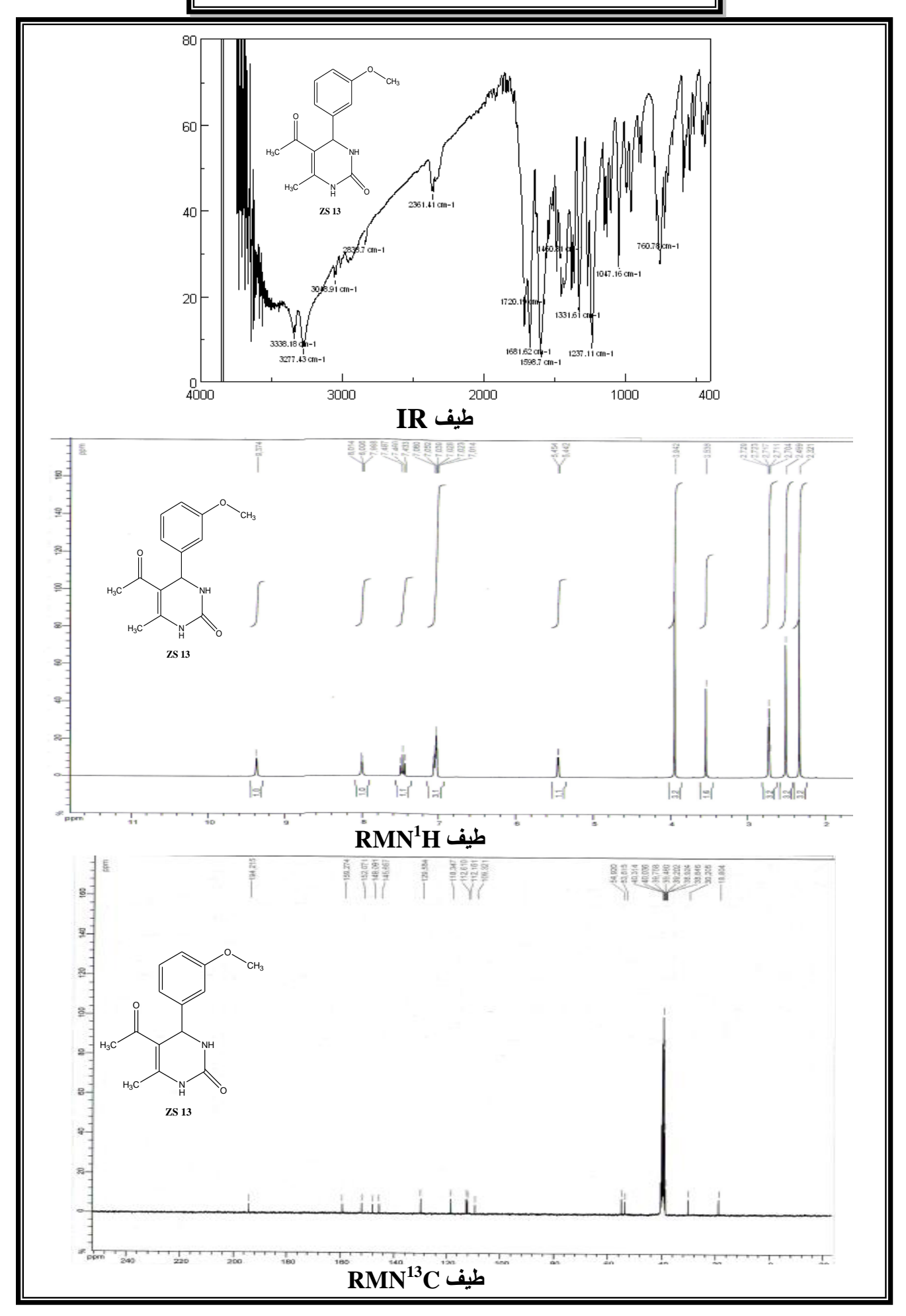
ZS 8 للمركب RMN¹³C ،RMN¹H ،IR المركب

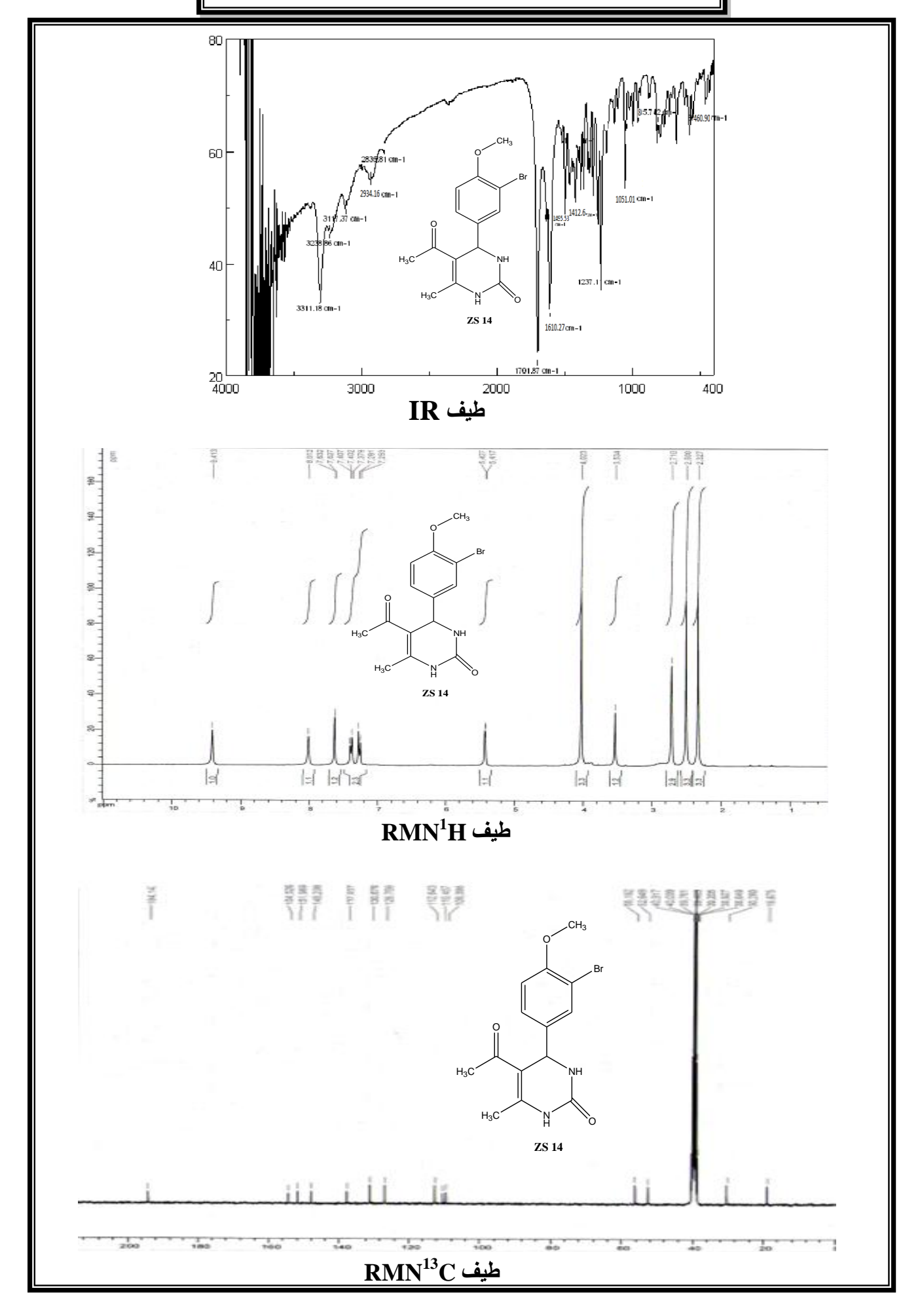


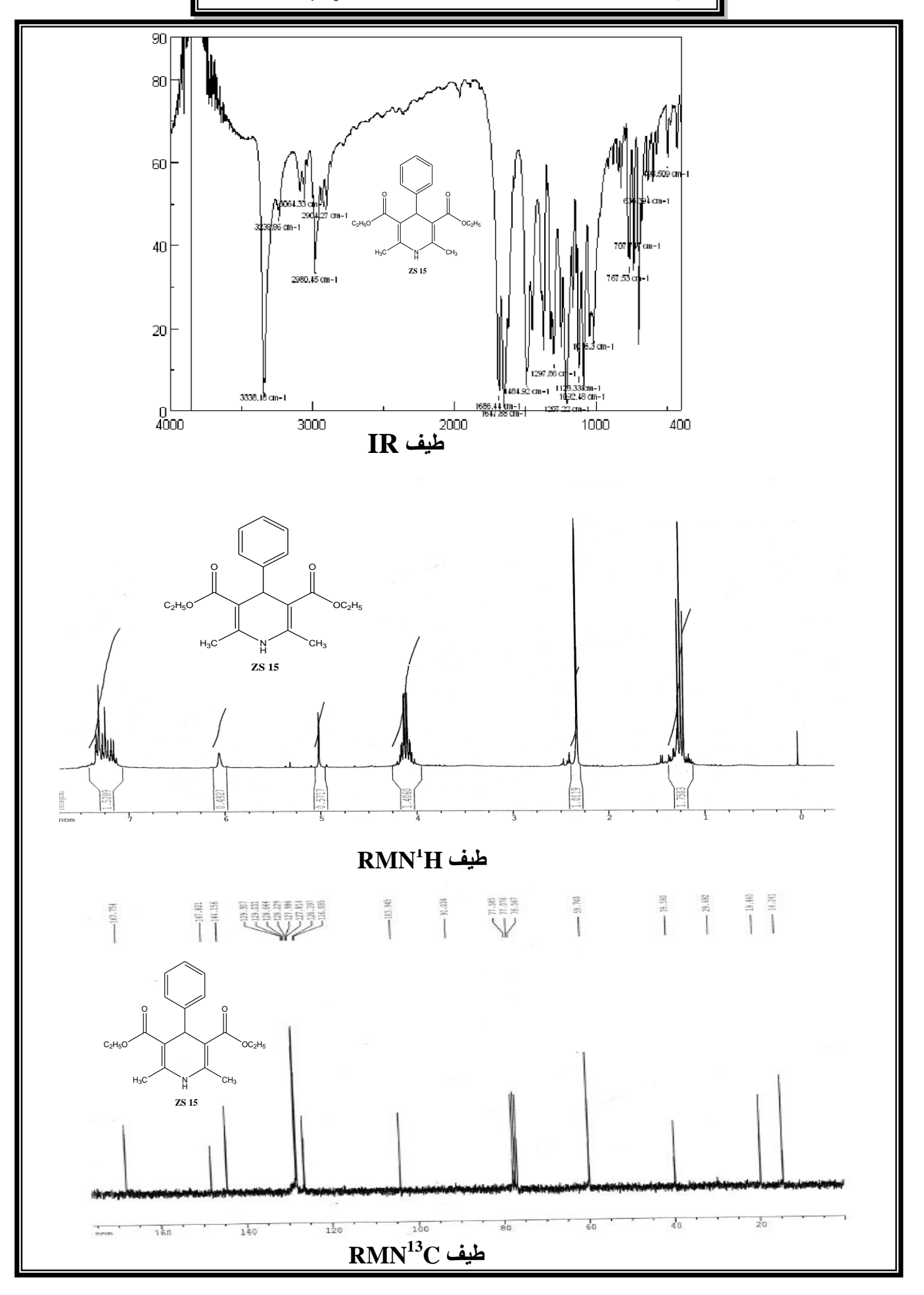




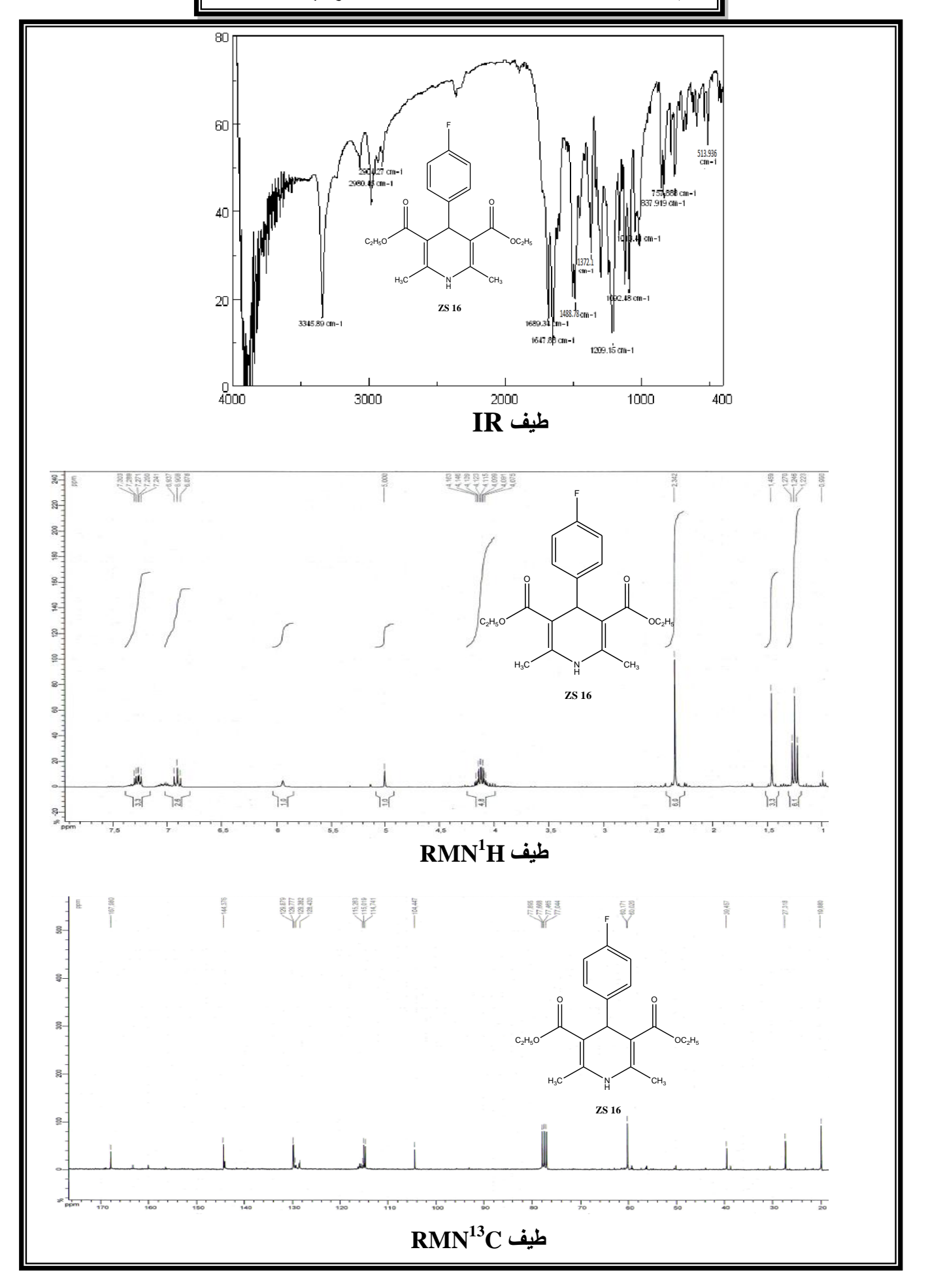




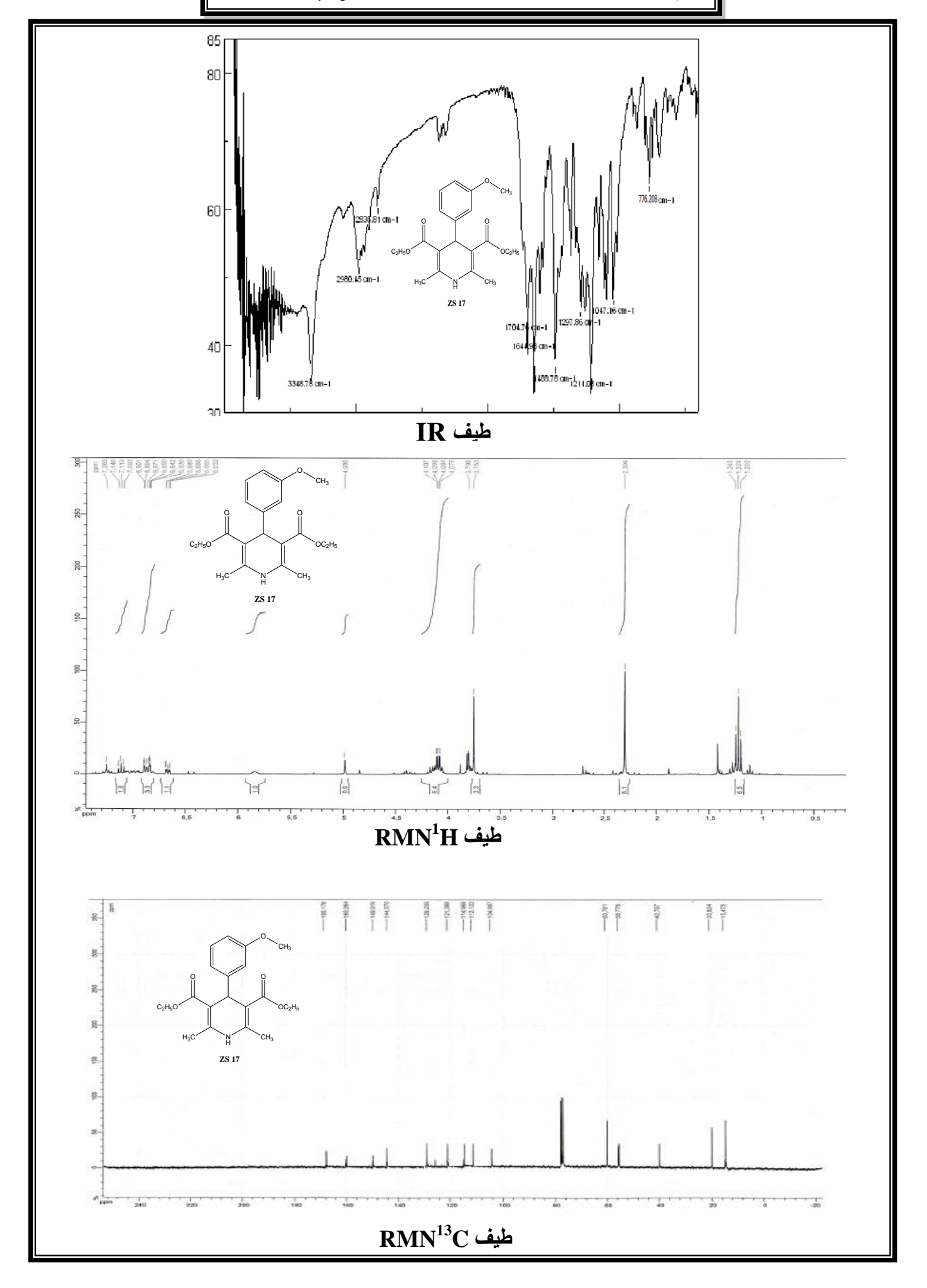


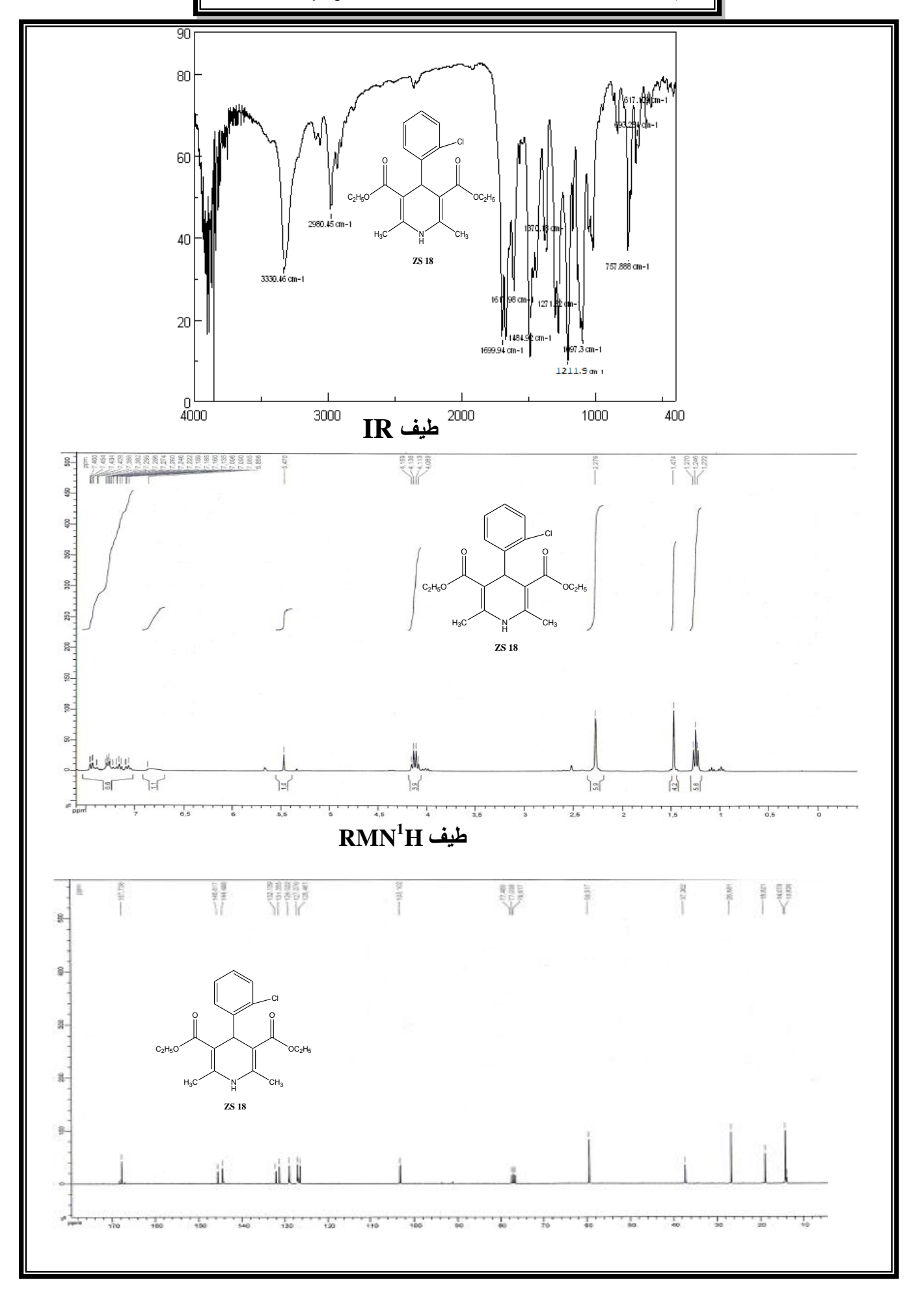


12

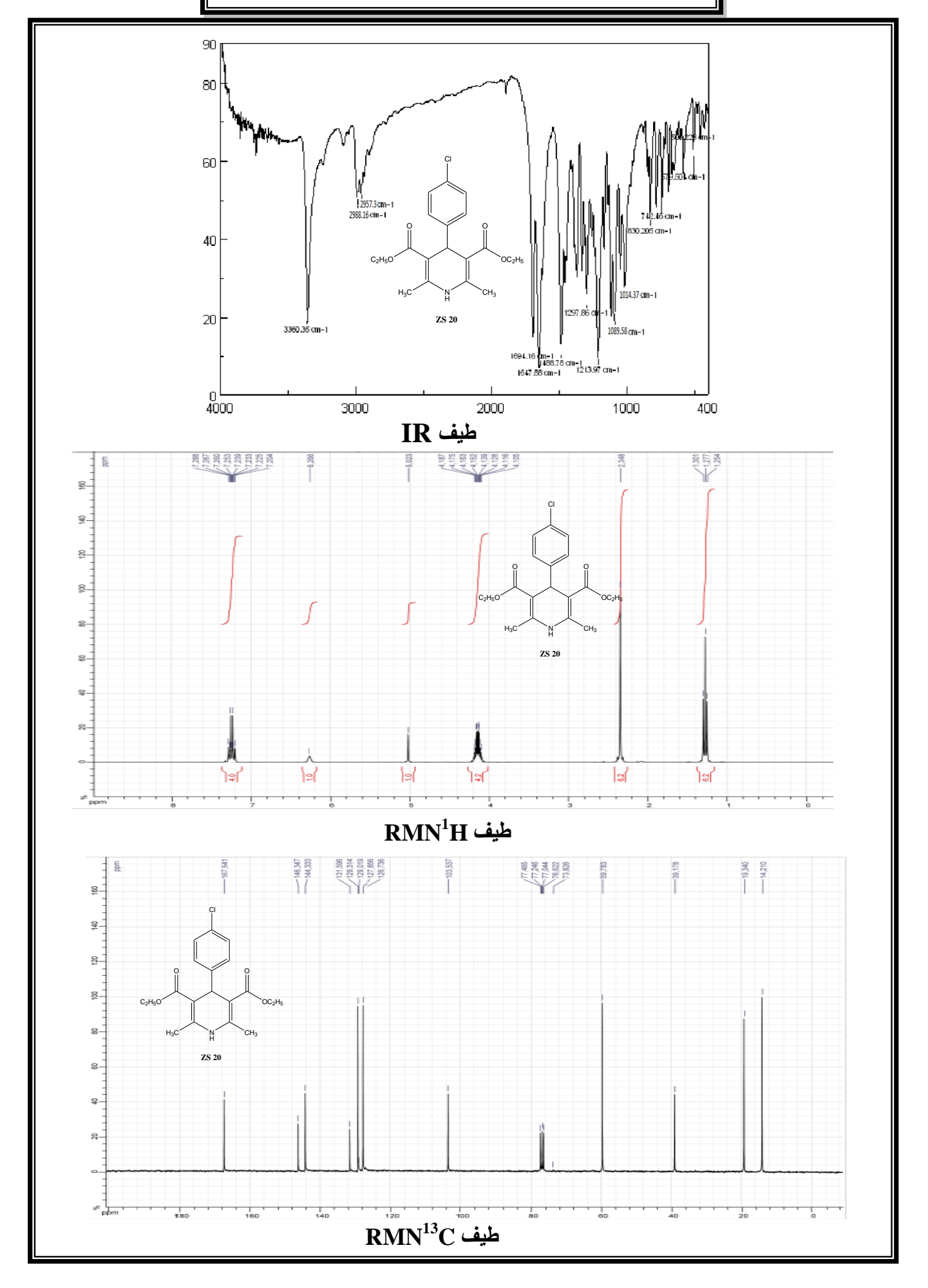


ZS المركب RMN¹³C ،RMN¹H ،IR للمركب 25 المراكب

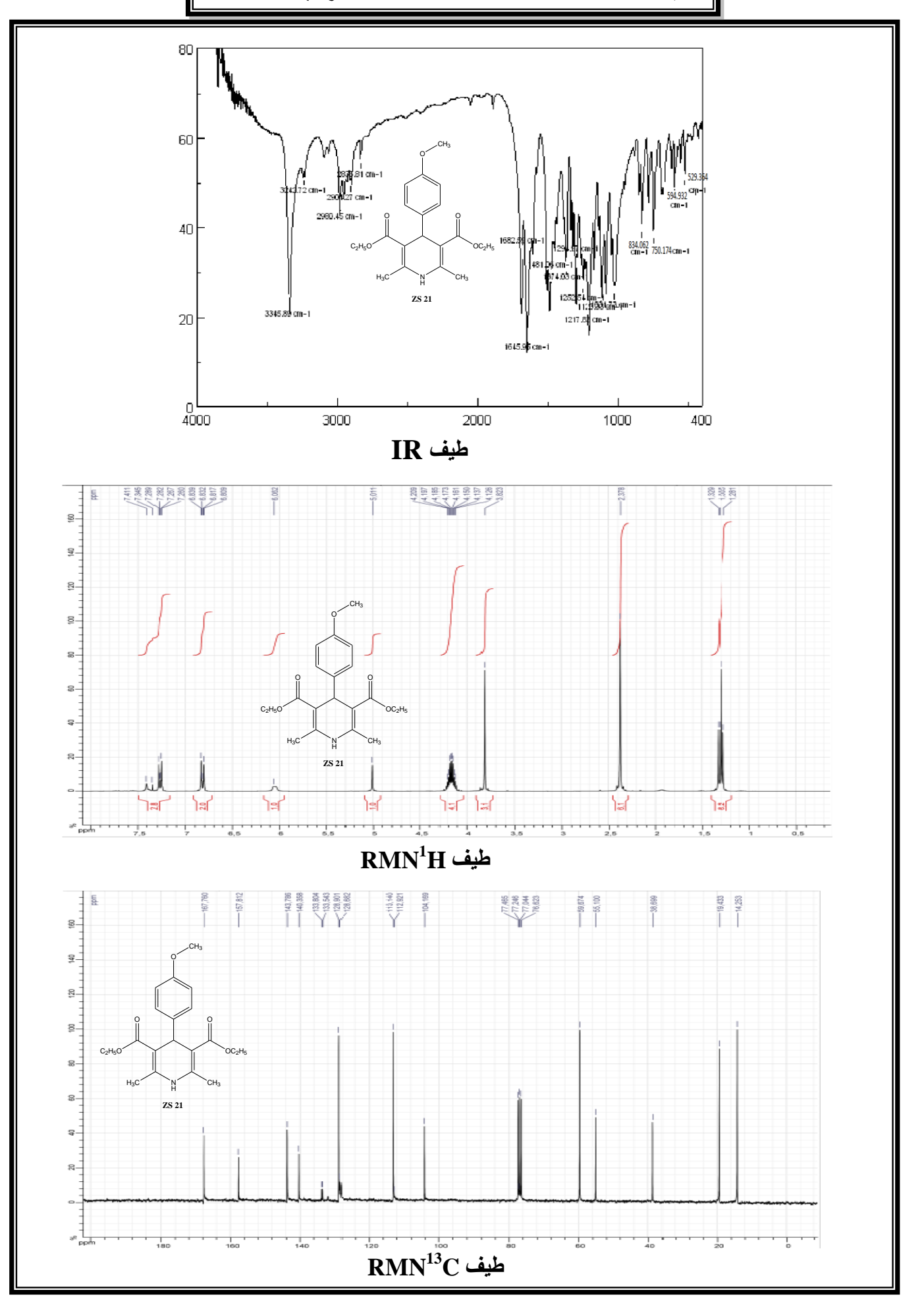




ZS 20 للمركب RMN¹³C ،RMN¹H ،IR المركب



ZS 21 للمركب RMN¹³C ،RMN¹H ،IR للمركب



ZS 22 للمركب RMN¹³C ،RMN¹H ،IR للمركب

